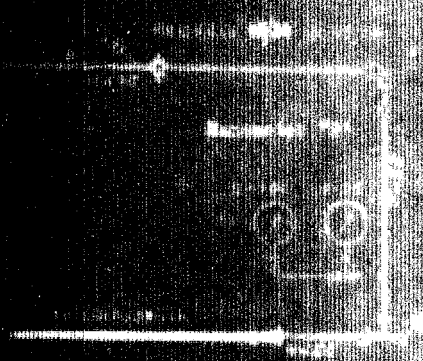
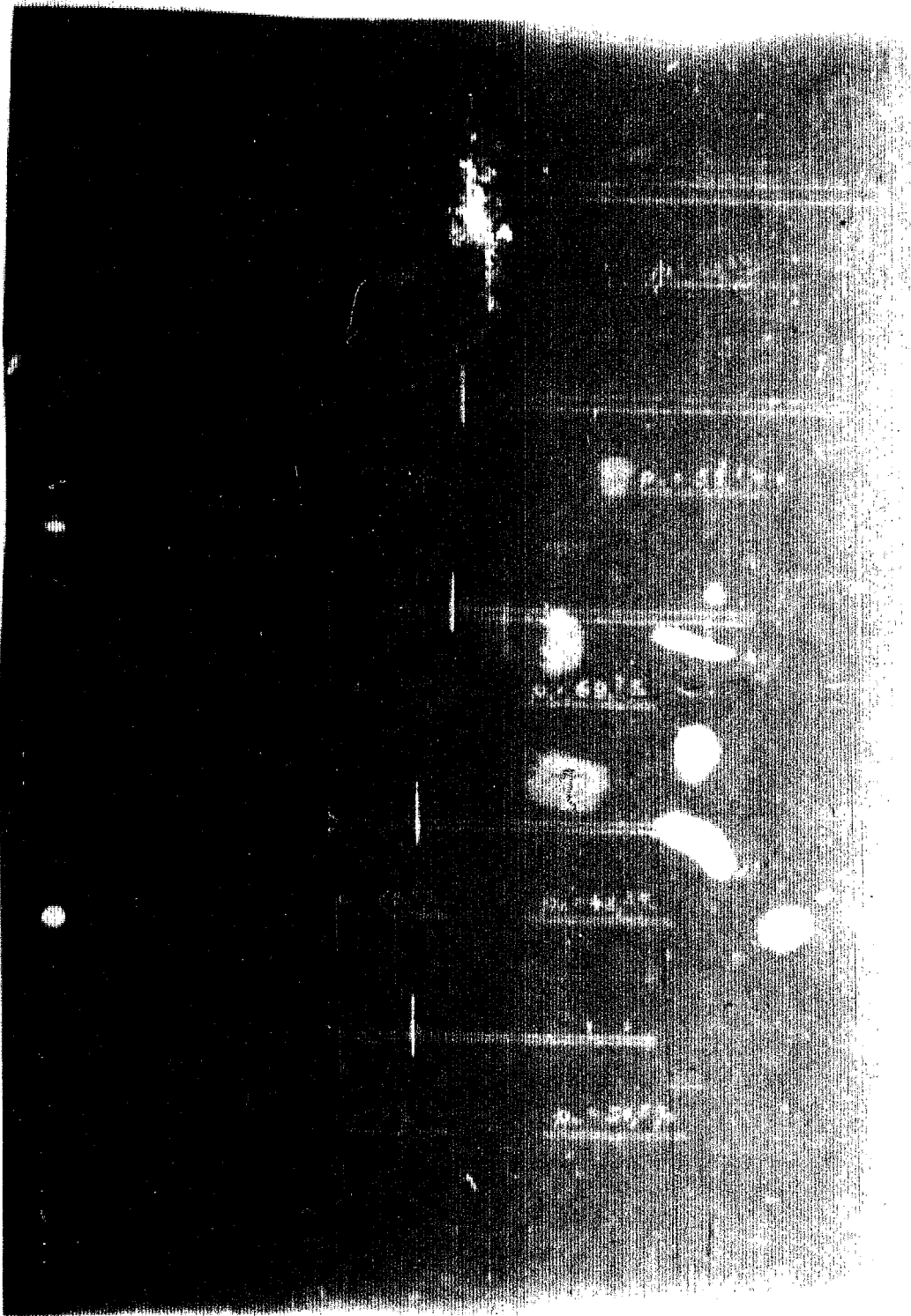
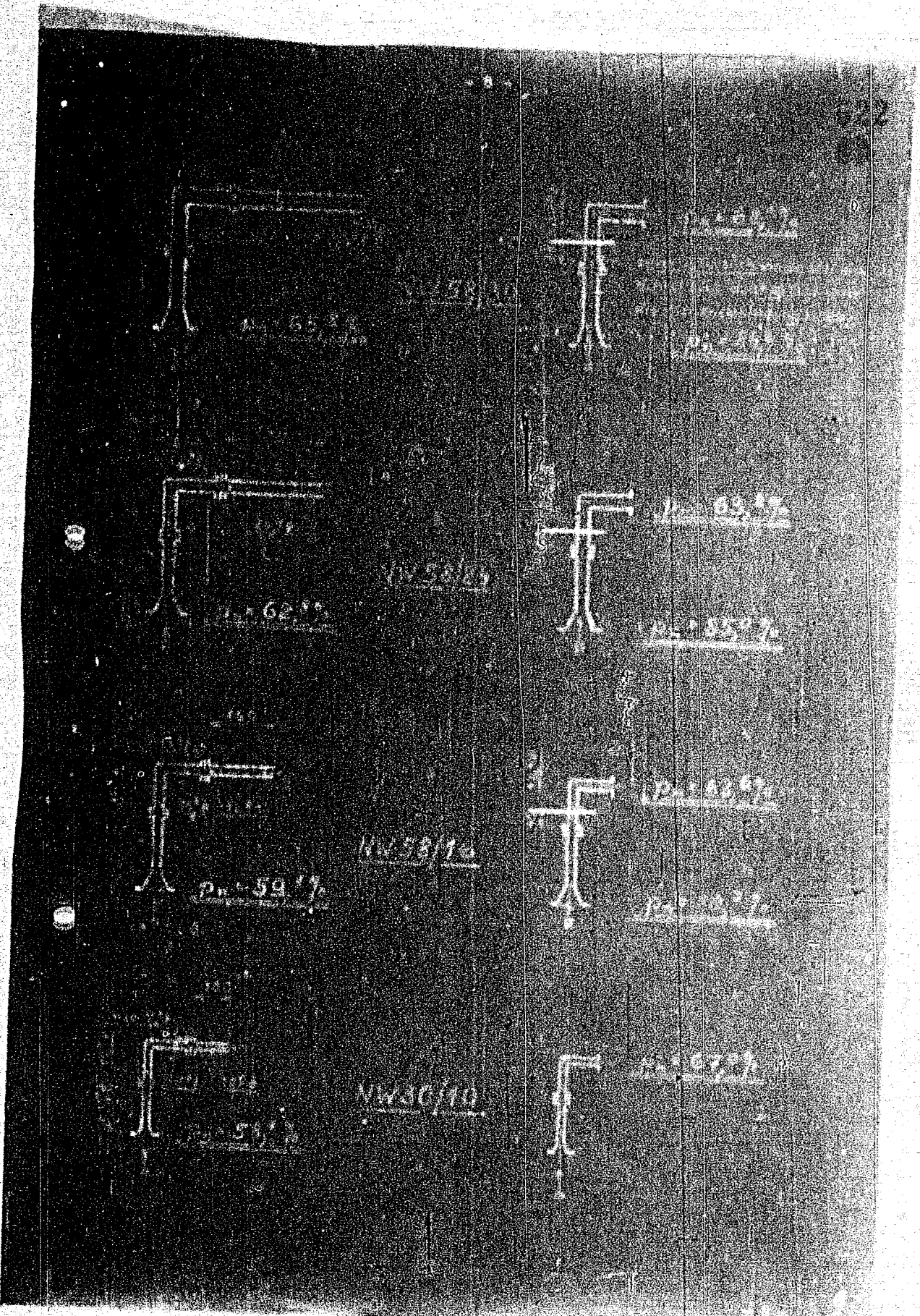


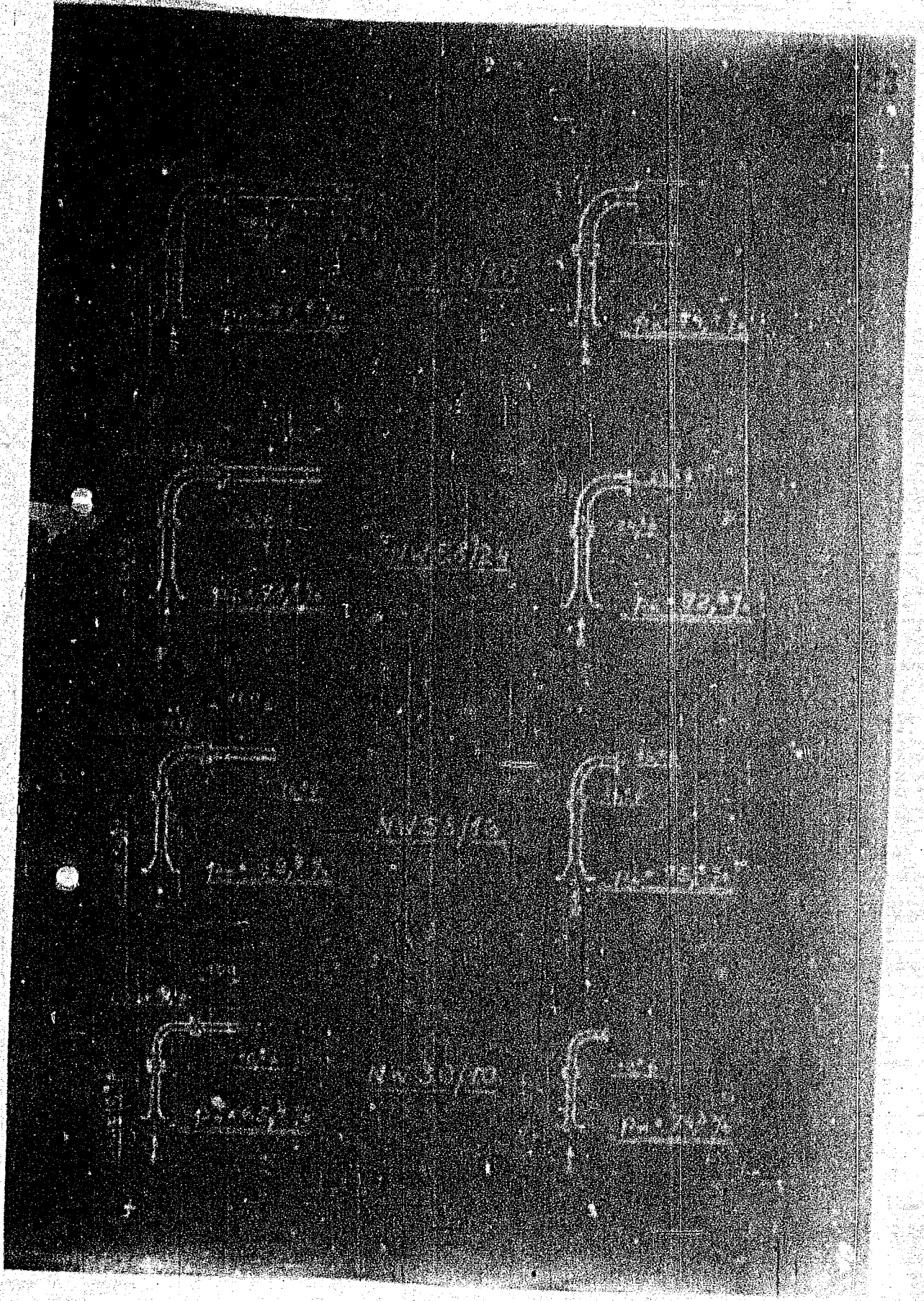
Die in der Tabelle angegebenen Werte sind die Mittelwerte aus mehreren Versuchsreihen. Die Fehlergrenzen sind durch die vertikalen Linien angedeutet. Die Werte sind in Prozent angegeben.



Die in der Tabelle angegebenen Werte sind die Mittelwerte aus mehreren Versuchsreihen. Die Fehlergrenzen sind durch die vertikalen Linien angedeutet. Die Werte sind in Prozent angegeben.







Die Widerstandskoeffizienten werden allgemein nach folgender Formel berechnet:

$$\lambda = \frac{8 \tau}{\rho v^2} = \frac{8 \tau}{\rho v^2} \cdot \frac{4 R}{4 R} = \frac{32 \tau R}{\rho v^2 d}$$

Wobei τ die Schubspannung ist, ρ die Dichte des Fluids, v die mittlere Geschwindigkeit, R der Rohrradius und d der Rohrdurchmesser. Die Widerstandskoeffizienten sind für ein beliebig langes Rohrstück l $\lambda \cdot l$ gilt. Wir haben daher diese Gleichung als Differenzialgleichung

$$\frac{dP}{dx} = - \frac{\lambda \rho v^2}{2d}$$

geschrieben und unter Berücksichtigung der Veränderlichkeit von v und λ über die Rohrlänge integriert. Die Lösungen dieser Differenzialgleichung sind im Anhang beigefügt, eine einfache Kurvenanpassung ist im nächsten Teil bei dem Rechenbeispiel gegeben. Derselbe Schwierigkeit tritt bei der Berechnung und Anwendung der Widerstandskoeffizienten der Formstücke auf. Da jedoch hier im Gegensatz zu den Rohren die Veränderlichkeit von Geschwindigkeit und spez. Gewicht nicht kontinuierlich eintreten kann, muß man jeweils die Mittelwerte v^2 und λ zwischen Eintritt- und Austritt als Rechnungsgrundlage heranziehen.

$$P = \frac{\lambda \rho v^2 l}{2d} = \frac{1}{2} \lambda \rho \frac{v^2 l}{d} \cdot 10^{-4}$$

Die Lösungen dieser Ausdrücke sind ebenfalls im Anhang behandelt. Ihre Anwendung ist auch ohne Studium derselben aus dem nächsten Abschnitt "Rechenbeispiele" klar ersichtlich. Auf eine Besonderheit der Lösung sei noch hingewiesen: Es zeigt sich, daß die Verhältnisse Druckverlust zu Anfangsdruck unabhängig von Druck, Temperatur und spez. Gewicht des Gases ist und nur von den Exponenten der Adiabate abhängt, sobald das Gas aus einem Rohrstück mit Schallgeschwindigkeit austritt. Mit Hilfe obiger Gleichungen wurde ein Teil der Versuche ausgewertet und folgende Ergebnisse erhalten:

Rechenbeispiel	Spez. H ₂ (in 1/10) (Bsp. u. Form)
$\lambda = 0,025$	$\lambda \rho v^2 l / d = 0,0194$
$\lambda = 0,031$	$\lambda \rho v^2 l / d = 0,023$
$\lambda = 0,038$	$\lambda \rho v^2 l / d = 0,029$
$\lambda = 0,046$	$\lambda \rho v^2 l / d = 0,035$
$\lambda = 0,054$	$\lambda \rho v^2 l / d = 0,041$
$\lambda = 0,062$	$\lambda \rho v^2 l / d = 0,047$
$\lambda = 0,070$	$\lambda \rho v^2 l / d = 0,053$
$\lambda = 0,078$	$\lambda \rho v^2 l / d = 0,059$
$\lambda = 0,086$	$\lambda \rho v^2 l / d = 0,065$
$\lambda = 0,094$	$\lambda \rho v^2 l / d = 0,071$
$\lambda = 0,102$	$\lambda \rho v^2 l / d = 0,077$
$\lambda = 0,110$	$\lambda \rho v^2 l / d = 0,083$
$\lambda = 0,118$	$\lambda \rho v^2 l / d = 0,089$
$\lambda = 0,126$	$\lambda \rho v^2 l / d = 0,095$
$\lambda = 0,134$	$\lambda \rho v^2 l / d = 0,101$
$\lambda = 0,142$	$\lambda \rho v^2 l / d = 0,107$
$\lambda = 0,150$	$\lambda \rho v^2 l / d = 0,113$
$\lambda = 0,158$	$\lambda \rho v^2 l / d = 0,119$
$\lambda = 0,166$	$\lambda \rho v^2 l / d = 0,125$
$\lambda = 0,174$	$\lambda \rho v^2 l / d = 0,131$
$\lambda = 0,182$	$\lambda \rho v^2 l / d = 0,137$
$\lambda = 0,190$	$\lambda \rho v^2 l / d = 0,143$
$\lambda = 0,198$	$\lambda \rho v^2 l / d = 0,149$
$\lambda = 0,206$	$\lambda \rho v^2 l / d = 0,155$
$\lambda = 0,214$	$\lambda \rho v^2 l / d = 0,161$
$\lambda = 0,222$	$\lambda \rho v^2 l / d = 0,167$
$\lambda = 0,230$	$\lambda \rho v^2 l / d = 0,173$
$\lambda = 0,238$	$\lambda \rho v^2 l / d = 0,179$
$\lambda = 0,246$	$\lambda \rho v^2 l / d = 0,185$
$\lambda = 0,254$	$\lambda \rho v^2 l / d = 0,191$
$\lambda = 0,262$	$\lambda \rho v^2 l / d = 0,197$
$\lambda = 0,270$	$\lambda \rho v^2 l / d = 0,203$
$\lambda = 0,278$	$\lambda \rho v^2 l / d = 0,209$
$\lambda = 0,286$	$\lambda \rho v^2 l / d = 0,215$
$\lambda = 0,294$	$\lambda \rho v^2 l / d = 0,221$
$\lambda = 0,302$	$\lambda \rho v^2 l / d = 0,227$
$\lambda = 0,310$	$\lambda \rho v^2 l / d = 0,233$
$\lambda = 0,318$	$\lambda \rho v^2 l / d = 0,239$
$\lambda = 0,326$	$\lambda \rho v^2 l / d = 0,245$
$\lambda = 0,334$	$\lambda \rho v^2 l / d = 0,251$
$\lambda = 0,342$	$\lambda \rho v^2 l / d = 0,257$
$\lambda = 0,350$	$\lambda \rho v^2 l / d = 0,263$
$\lambda = 0,358$	$\lambda \rho v^2 l / d = 0,269$
$\lambda = 0,366$	$\lambda \rho v^2 l / d = 0,275$
$\lambda = 0,374$	$\lambda \rho v^2 l / d = 0,281$
$\lambda = 0,382$	$\lambda \rho v^2 l / d = 0,287$
$\lambda = 0,390$	$\lambda \rho v^2 l / d = 0,293$
$\lambda = 0,398$	$\lambda \rho v^2 l / d = 0,299$
$\lambda = 0,406$	$\lambda \rho v^2 l / d = 0,305$
$\lambda = 0,414$	$\lambda \rho v^2 l / d = 0,311$
$\lambda = 0,422$	$\lambda \rho v^2 l / d = 0,317$
$\lambda = 0,430$	$\lambda \rho v^2 l / d = 0,323$
$\lambda = 0,438$	$\lambda \rho v^2 l / d = 0,329$
$\lambda = 0,446$	$\lambda \rho v^2 l / d = 0,335$
$\lambda = 0,454$	$\lambda \rho v^2 l / d = 0,341$
$\lambda = 0,462$	$\lambda \rho v^2 l / d = 0,347$
$\lambda = 0,470$	$\lambda \rho v^2 l / d = 0,353$
$\lambda = 0,478$	$\lambda \rho v^2 l / d = 0,359$
$\lambda = 0,486$	$\lambda \rho v^2 l / d = 0,365$
$\lambda = 0,494$	$\lambda \rho v^2 l / d = 0,371$
$\lambda = 0,502$	$\lambda \rho v^2 l / d = 0,377$
$\lambda = 0,510$	$\lambda \rho v^2 l / d = 0,383$
$\lambda = 0,518$	$\lambda \rho v^2 l / d = 0,389$
$\lambda = 0,526$	$\lambda \rho v^2 l / d = 0,395$
$\lambda = 0,534$	$\lambda \rho v^2 l / d = 0,401$
$\lambda = 0,542$	$\lambda \rho v^2 l / d = 0,407$
$\lambda = 0,550$	$\lambda \rho v^2 l / d = 0,413$
$\lambda = 0,558$	$\lambda \rho v^2 l / d = 0,419$
$\lambda = 0,566$	$\lambda \rho v^2 l / d = 0,425$
$\lambda = 0,574$	$\lambda \rho v^2 l / d = 0,431$
$\lambda = 0,582$	$\lambda \rho v^2 l / d = 0,437$
$\lambda = 0,590$	$\lambda \rho v^2 l / d = 0,443$
$\lambda = 0,598$	$\lambda \rho v^2 l / d = 0,449$
$\lambda = 0,606$	$\lambda \rho v^2 l / d = 0,455$
$\lambda = 0,614$	$\lambda \rho v^2 l / d = 0,461$
$\lambda = 0,622$	$\lambda \rho v^2 l / d = 0,467$
$\lambda = 0,630$	$\lambda \rho v^2 l / d = 0,473$
$\lambda = 0,638$	$\lambda \rho v^2 l / d = 0,479$
$\lambda = 0,646$	$\lambda \rho v^2 l / d = 0,485$
$\lambda = 0,654$	$\lambda \rho v^2 l / d = 0,491$
$\lambda = 0,662$	$\lambda \rho v^2 l / d = 0,497$
$\lambda = 0,670$	$\lambda \rho v^2 l / d = 0,503$
$\lambda = 0,678$	$\lambda \rho v^2 l / d = 0,509$
$\lambda = 0,686$	$\lambda \rho v^2 l / d = 0,515$
$\lambda = 0,694$	$\lambda \rho v^2 l / d = 0,521$
$\lambda = 0,702$	$\lambda \rho v^2 l / d = 0,527$
$\lambda = 0,710$	$\lambda \rho v^2 l / d = 0,533$
$\lambda = 0,718$	$\lambda \rho v^2 l / d = 0,539$
$\lambda = 0,726$	$\lambda \rho v^2 l / d = 0,545$
$\lambda = 0,734$	$\lambda \rho v^2 l / d = 0,551$
$\lambda = 0,742$	$\lambda \rho v^2 l / d = 0,557$
$\lambda = 0,750$	$\lambda \rho v^2 l / d = 0,563$
$\lambda = 0,758$	$\lambda \rho v^2 l / d = 0,569$
$\lambda = 0,766$	$\lambda \rho v^2 l / d = 0,575$
$\lambda = 0,774$	$\lambda \rho v^2 l / d = 0,581$
$\lambda = 0,782$	$\lambda \rho v^2 l / d = 0,587$
$\lambda = 0,790$	$\lambda \rho v^2 l / d = 0,593$
$\lambda = 0,798$	$\lambda \rho v^2 l / d = 0,599$
$\lambda = 0,806$	$\lambda \rho v^2 l / d = 0,605$
$\lambda = 0,814$	$\lambda \rho v^2 l / d = 0,611$
$\lambda = 0,822$	$\lambda \rho v^2 l / d = 0,617$
$\lambda = 0,830$	$\lambda \rho v^2 l / d = 0,623$
$\lambda = 0,838$	$\lambda \rho v^2 l / d = 0,629$
$\lambda = 0,846$	$\lambda \rho v^2 l / d = 0,635$
$\lambda = 0,854$	$\lambda \rho v^2 l / d = 0,641$
$\lambda = 0,862$	$\lambda \rho v^2 l / d = 0,647$
$\lambda = 0,870$	$\lambda \rho v^2 l / d = 0,653$
$\lambda = 0,878$	$\lambda \rho v^2 l / d = 0,659$
$\lambda = 0,886$	$\lambda \rho v^2 l / d = 0,665$
$\lambda = 0,894$	$\lambda \rho v^2 l / d = 0,671$
$\lambda = 0,902$	$\lambda \rho v^2 l / d = 0,677$
$\lambda = 0,910$	$\lambda \rho v^2 l / d = 0,683$
$\lambda = 0,918$	$\lambda \rho v^2 l / d = 0,689$
$\lambda = 0,926$	$\lambda \rho v^2 l / d = 0,695$
$\lambda = 0,934$	$\lambda \rho v^2 l / d = 0,701$
$\lambda = 0,942$	$\lambda \rho v^2 l / d = 0,707$
$\lambda = 0,950$	$\lambda \rho v^2 l / d = 0,713$
$\lambda = 0,958$	$\lambda \rho v^2 l / d = 0,719$
$\lambda = 0,966$	$\lambda \rho v^2 l / d = 0,725$
$\lambda = 0,974$	$\lambda \rho v^2 l / d = 0,731$
$\lambda = 0,982$	$\lambda \rho v^2 l / d = 0,737$
$\lambda = 0,990$	$\lambda \rho v^2 l / d = 0,743$
$\lambda = 0,998$	$\lambda \rho v^2 l / d = 0,749$

Linien 10-20: $\lambda = 0,1$ (konstante oder plausibel zwischen 0 u. 0,4)
 Die Zahlen 10-20 sind als H₂-Werte zu gebrauchen.

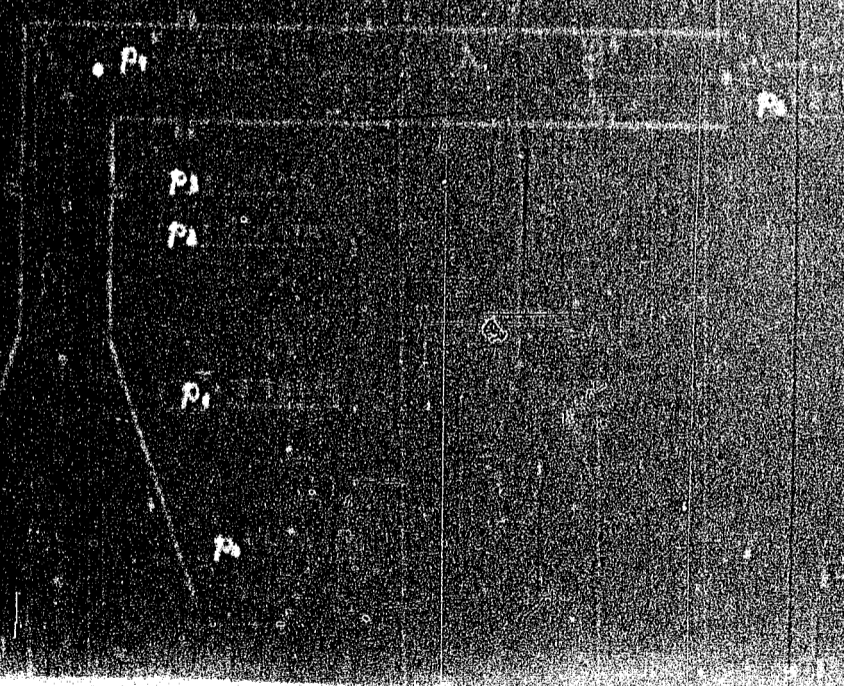
Die Berechnung der Reaktionen schlagen wir vor, die niedrigsten Widerstandskoeffizienten zu verwenden, wie etwa:

Für die Berechnung der Reaktion schlagen wir vor, die niedrigeren Widerstände
 beizubehalten wie etwa:

- Winkelstücke = 10% (ohne die beiden Schenkel, deren Widerstand besonders zu
 rechnen war)
- Reduzierstücke = 10%
- NV 220 = 0'0221 nach Seite 2/475, gilt nach Hoyt u. Ryan
 Rohre NV 115 = 0'0215 = 10% (z/H) 0,324
 NV 160 = 0'0202 = 10% (z/H) 0,324

Ergebnisse

Wir haben hier ein Stück einer Rohrleitung an Hydrauliken untersucht, wie
 etwa bei einem Rohrbruch übrigbleiben könnte. Die eingesetzten Rohre haben
 von einem Enddruck von 670 atü aus, können jedoch bei einem anderen Anfangsdruck
 mittels Rechenschieber proportional umgerechnet werden. Der Druckverlust ist
 vorübergehender Abschnitt und im Anhang besprochen, abhängig von Rohrdurchmesser und
 spez. Gewicht des ausströmenden Gases und hängt nur von der Dimension der Rohre
 ab. Wir haben hier $\sigma_{12} = 1,2$ gerechnet. Der Widerstand der Klappen wurde
 vernachlässigt da bei dem großen Durchmesser der Rohre die Klappen als geringfügig
 angesehen werden können.



... mit kritischer Geschwindigkeit ausströmendes Gas werden
 ... besprochen. Werte genommen, als
 0'021

... der ... der ... der ...

...

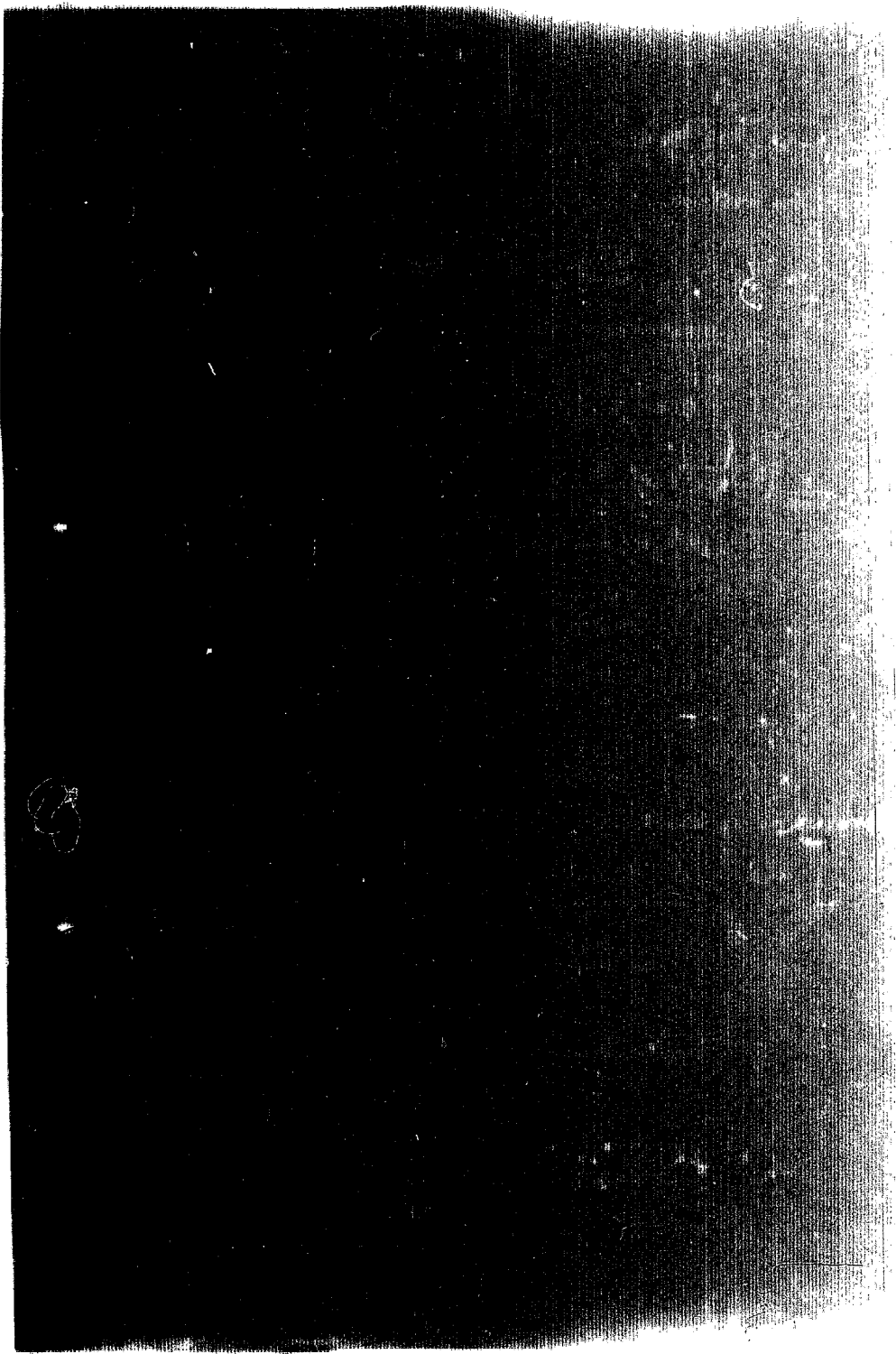
... der ... der ... der ...

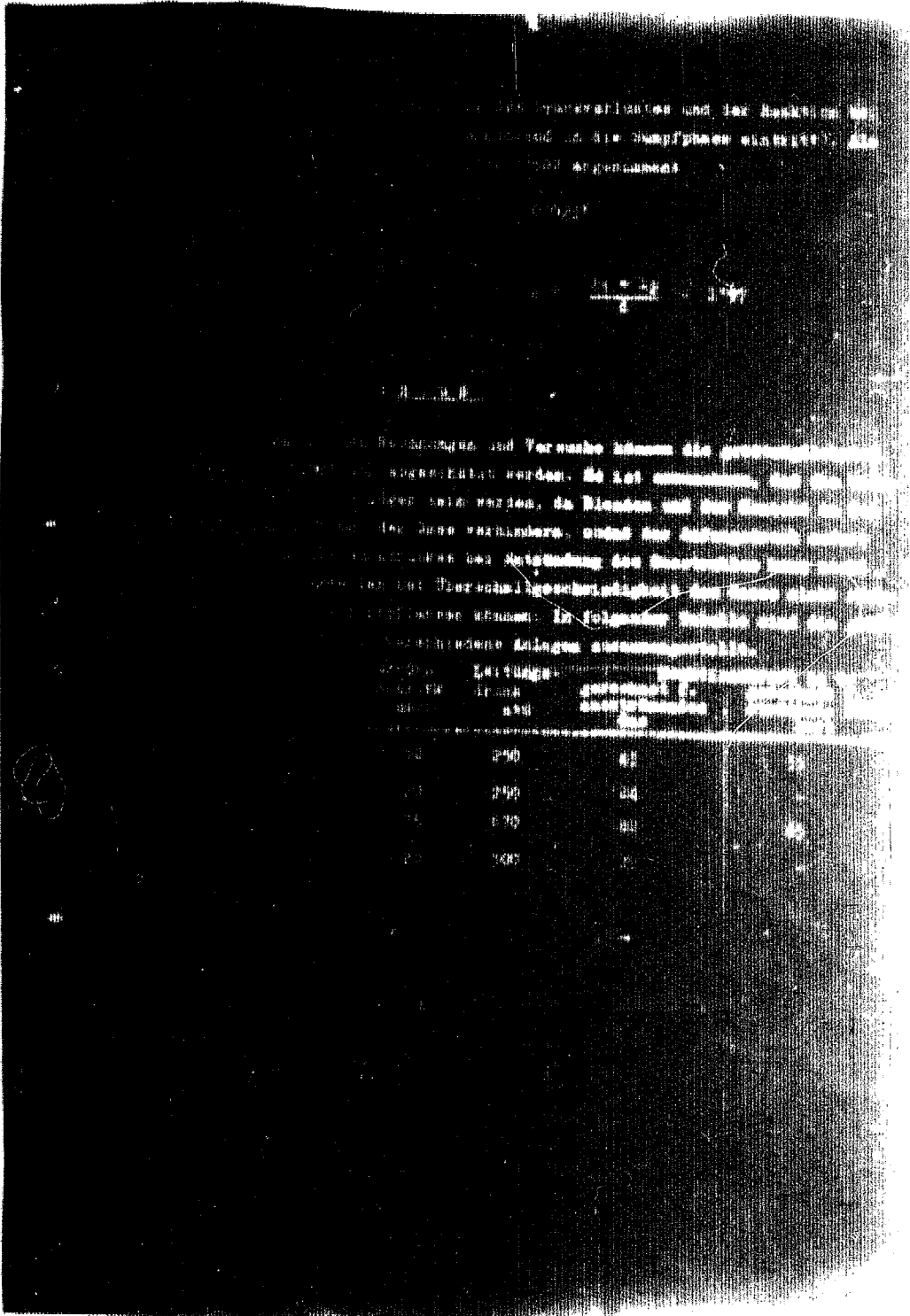
...

... der ... der ... der ...

...

...





Bestimmung und Messung

Die Messung erfolgt an zwei Stellen bei verschiedenen Temperaturen, z.B. bei 10°C und 20°C. Die Messung erfolgt an den Punkten "1" oder "2" usw. an der Austrittsstelle bei verschiedenen Geschwindigkeiten.

Die Messung erfolgt an den Punkten "1" oder "2" usw. bei 10°C, 1 atm. Die Messung erfolgt an den Punkten "1" oder "2" usw. bei 20°C, 1 atm. Die Messung erfolgt an den Punkten "1" oder "2" usw. an der Austrittsstelle bei verschiedenen Geschwindigkeiten.

Die Messung erfolgt an den Punkten "1" oder "2" usw. an der Austrittsstelle bei verschiedenen Geschwindigkeiten.

Die Messung erfolgt an den Punkten "1" oder "2" usw. an der Austrittsstelle bei verschiedenen Geschwindigkeiten.

Die Messung erfolgt an den Punkten "1" oder "2" usw. an der Austrittsstelle bei verschiedenen Geschwindigkeiten.

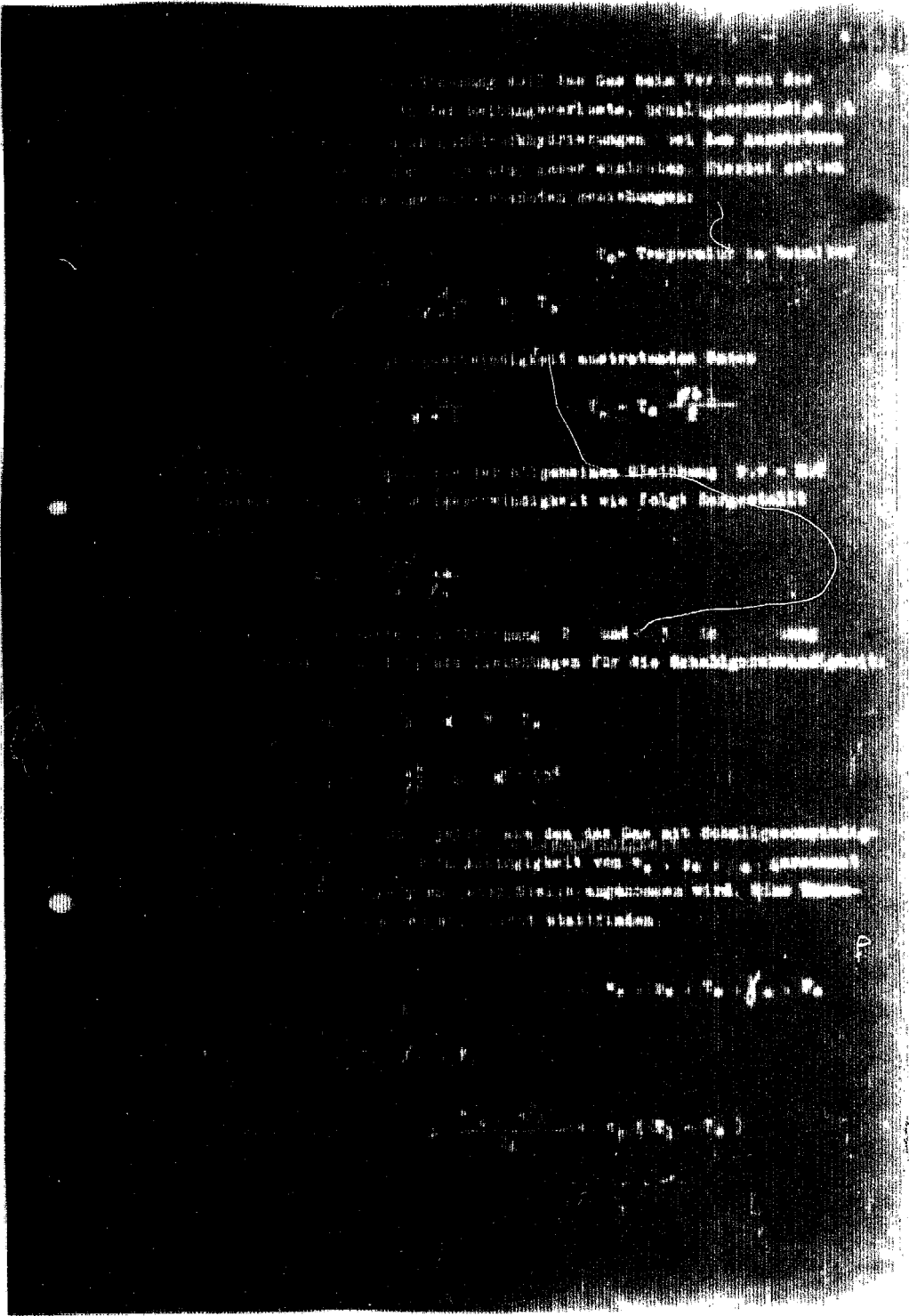
Die Messung erfolgt an den Punkten "1" oder "2" usw. an der Austrittsstelle bei verschiedenen Geschwindigkeiten.

Die Messung erfolgt an den Punkten "1" oder "2" usw. an der Austrittsstelle bei verschiedenen Geschwindigkeiten.

Die Messung erfolgt an den Punkten "1" oder "2" usw. an der Austrittsstelle bei verschiedenen Geschwindigkeiten.

Die Messung erfolgt an den Punkten "1" oder "2" usw. an der Austrittsstelle bei verschiedenen Geschwindigkeiten.





Die Temperatur soll im Gas keine Ver-
änderung erleiden, d.h. die Temperatur ist
überall gleichmäßig. Die Temperaturerhöhung
ist durch die Wärmeabfuhr durch die
Wand des Gefäßes bedingt.

T_p Temperatur im Gefäß

Die Temperaturerhöhung durch die Wärmeabfuhr
ist durch die Wärmeabfuhr durch die
Wand des Gefäßes bedingt.

Die Temperaturerhöhung durch die Wärmeabfuhr
ist durch die Wärmeabfuhr durch die
Wand des Gefäßes bedingt.

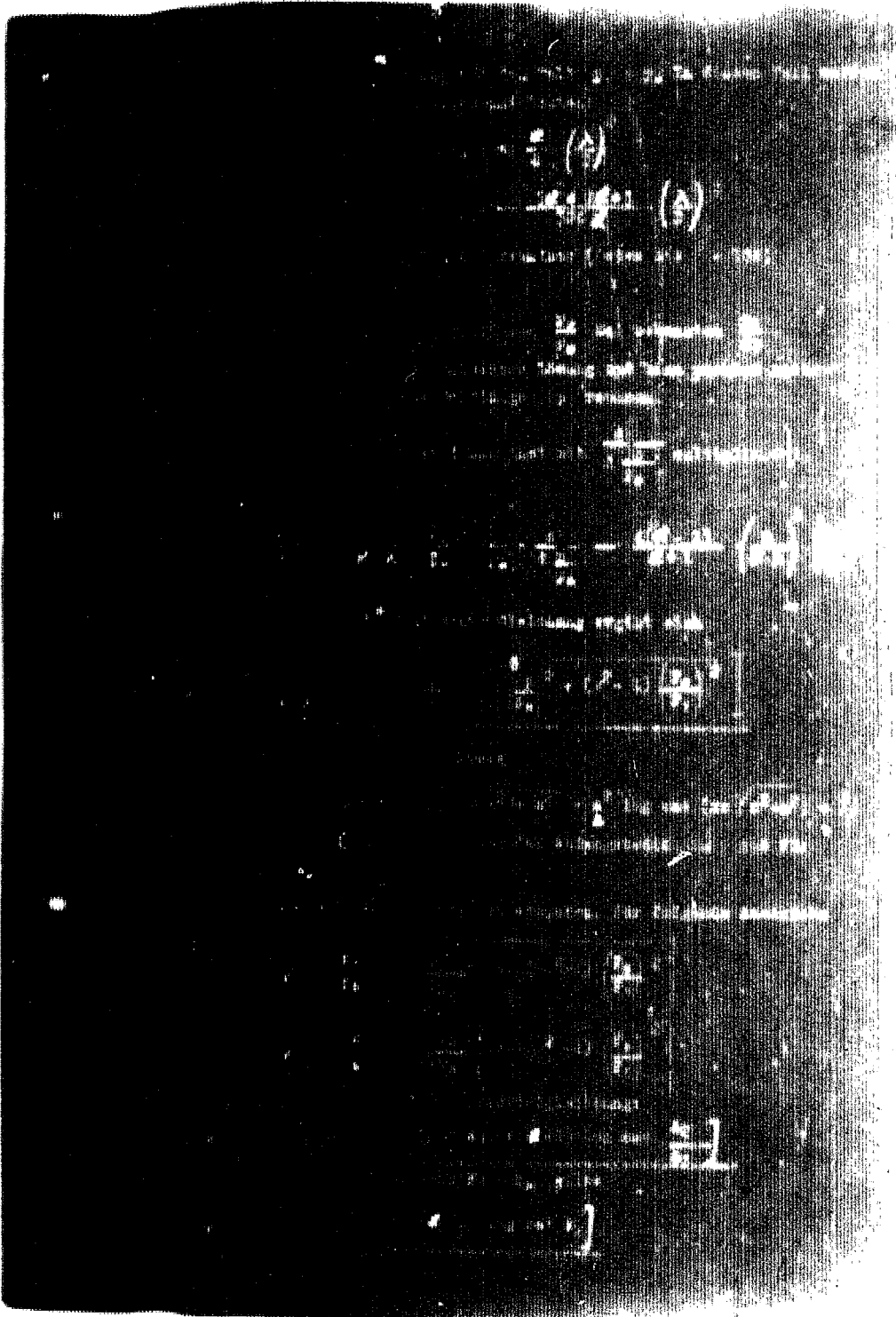
Die Temperaturerhöhung durch die Wärmeabfuhr
ist durch die Wärmeabfuhr durch die
Wand des Gefäßes bedingt.

Die Temperaturerhöhung durch die Wärmeabfuhr
ist durch die Wärmeabfuhr durch die
Wand des Gefäßes bedingt.

$$T_p = T_a + \frac{Q}{k A}$$

$$T_p = T_a + \frac{Q}{k A}$$

... $\frac{1}{n}$... 10^4 ... $\log_{10} 2$...
 ... die Differenzialgleichung ... $\frac{dy}{dx} = \dots$...
 ... $\frac{d^2y}{dx^2} = \dots$...
 ... $\frac{d^3y}{dx^3} = \dots$...
 ... $\frac{d^4y}{dx^4} = \dots$...
 ... $\frac{d^5y}{dx^5} = \dots$...
 ... $\frac{d^6y}{dx^6} = \dots$...
 ... $\frac{d^7y}{dx^7} = \dots$...
 ... $\frac{d^8y}{dx^8} = \dots$...
 ... $\frac{d^9y}{dx^9} = \dots$...
 ... $\frac{d^{10}y}{dx^{10}} = \dots$...
 ... $\frac{d^{11}y}{dx^{11}} = \dots$...
 ... $\frac{d^{12}y}{dx^{12}} = \dots$...
 ... $\frac{d^{13}y}{dx^{13}} = \dots$...
 ... $\frac{d^{14}y}{dx^{14}} = \dots$...
 ... $\frac{d^{15}y}{dx^{15}} = \dots$...
 ... $\frac{d^{16}y}{dx^{16}} = \dots$...
 ... $\frac{d^{17}y}{dx^{17}} = \dots$...
 ... $\frac{d^{18}y}{dx^{18}} = \dots$...
 ... $\frac{d^{19}y}{dx^{19}} = \dots$...
 ... $\frac{d^{20}y}{dx^{20}} = \dots$...



Die Funktion $f: \mathbb{R} \rightarrow \mathbb{R}$ ist durch $f(x) = \frac{1}{x^2}$ gegeben. Die Ableitung $f'(x)$ ist durch $f'(x) = -\frac{2}{x^3}$ gegeben.

Die Ableitung $f'(x)$ ist durch $f'(x) = -\frac{2}{x^3}$ gegeben. Die Ableitung $f''(x)$ ist durch $f''(x) = \frac{6}{x^4}$ gegeben.

Die Ableitung $f''(x)$ ist durch $f''(x) = \frac{6}{x^4}$ gegeben. Die Ableitung $f'''(x)$ ist durch $f'''(x) = -\frac{24}{x^5}$ gegeben.

Die Ableitung $f'''(x)$ ist durch $f'''(x) = -\frac{24}{x^5}$ gegeben. Die Ableitung $f^{(4)}(x)$ ist durch $f^{(4)}(x) = \frac{120}{x^6}$ gegeben.

Die Ableitung $f^{(4)}(x)$ ist durch $f^{(4)}(x) = \frac{120}{x^6}$ gegeben. Die Ableitung $f^{(5)}(x)$ ist durch $f^{(5)}(x) = -\frac{720}{x^7}$ gegeben.

Die Ableitung $f^{(5)}(x)$ ist durch $f^{(5)}(x) = -\frac{720}{x^7}$ gegeben. Die Ableitung $f^{(6)}(x)$ ist durch $f^{(6)}(x) = \frac{5040}{x^8}$ gegeben.

Die Ableitung $f^{(6)}(x)$ ist durch $f^{(6)}(x) = \frac{5040}{x^8}$ gegeben. Die Ableitung $f^{(7)}(x)$ ist durch $f^{(7)}(x) = -\frac{35280}{x^9}$ gegeben.

Die Ableitung $f^{(7)}(x)$ ist durch $f^{(7)}(x) = -\frac{35280}{x^9}$ gegeben. Die Ableitung $f^{(8)}(x)$ ist durch $f^{(8)}(x) = \frac{282240}{x^{10}}$ gegeben.

Die Ableitung $f^{(8)}(x)$ ist durch $f^{(8)}(x) = \frac{282240}{x^{10}}$ gegeben. Die Ableitung $f^{(9)}(x)$ ist durch $f^{(9)}(x) = -\frac{2520000}{x^{11}}$ gegeben.

Die Ableitung $f^{(9)}(x)$ ist durch $f^{(9)}(x) = -\frac{2520000}{x^{11}}$ gegeben. Die Ableitung $f^{(10)}(x)$ ist durch $f^{(10)}(x) = \frac{25200000}{x^{12}}$ gegeben.

Die Ableitung $f^{(10)}(x)$ ist durch $f^{(10)}(x) = \frac{25200000}{x^{12}}$ gegeben. Die Ableitung $f^{(11)}(x)$ ist durch $f^{(11)}(x) = -\frac{277200000}{x^{13}}$ gegeben.

Die Ableitung $f^{(11)}(x)$ ist durch $f^{(11)}(x) = -\frac{277200000}{x^{13}}$ gegeben. Die Ableitung $f^{(12)}(x)$ ist durch $f^{(12)}(x) = \frac{3326400000}{x^{14}}$ gegeben.

Die Ableitung $f^{(12)}(x)$ ist durch $f^{(12)}(x) = \frac{3326400000}{x^{14}}$ gegeben. Die Ableitung $f^{(13)}(x)$ ist durch $f^{(13)}(x) = -\frac{43243200000}{x^{15}}$ gegeben.

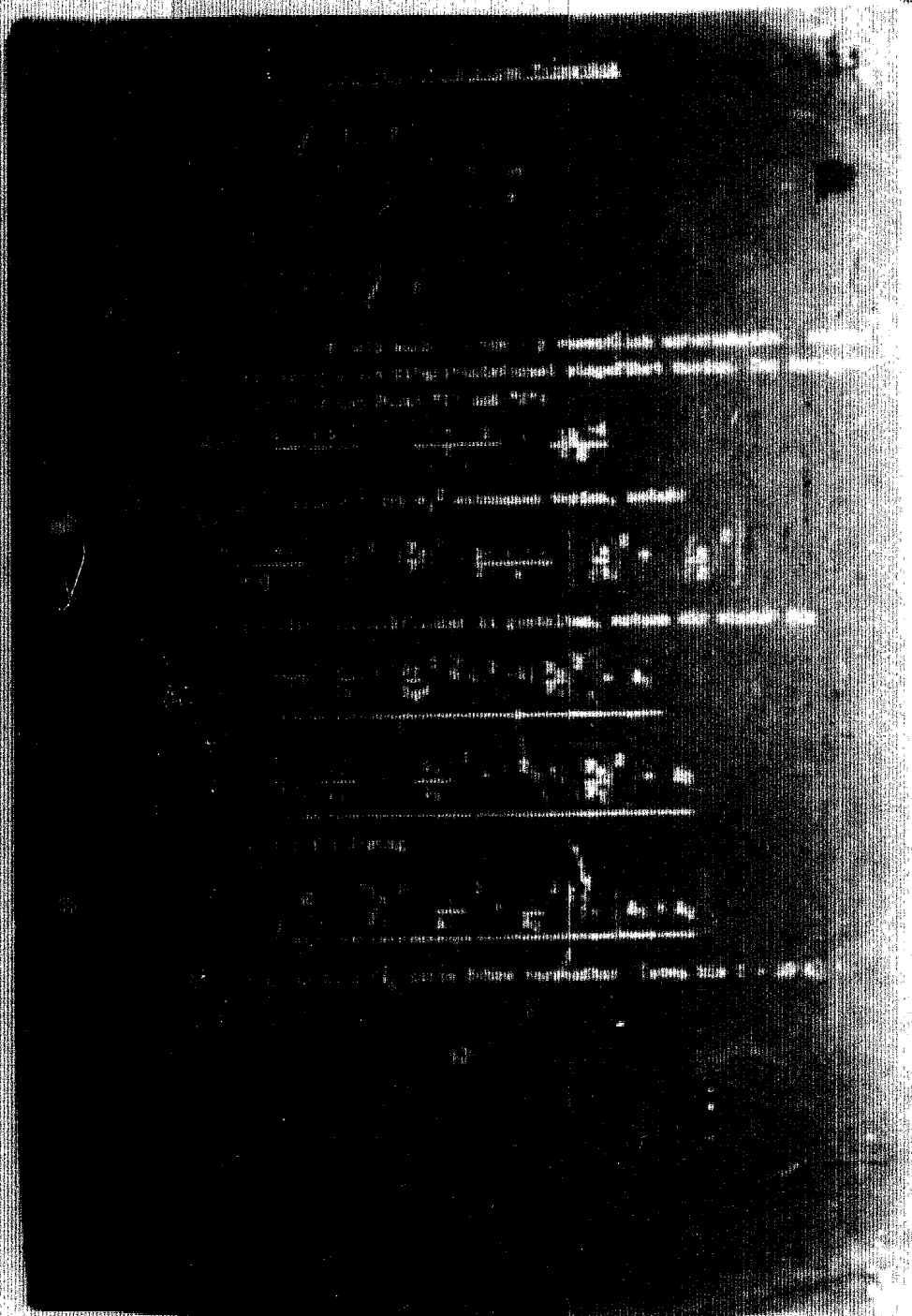
Die Ableitung $f^{(13)}(x)$ ist durch $f^{(13)}(x) = -\frac{43243200000}{x^{15}}$ gegeben. Die Ableitung $f^{(14)}(x)$ ist durch $f^{(14)}(x) = \frac{605404800000}{x^{16}}$ gegeben.

Die Ableitung $f^{(14)}(x)$ ist durch $f^{(14)}(x) = \frac{605404800000}{x^{16}}$ gegeben. Die Ableitung $f^{(15)}(x)$ ist durch $f^{(15)}(x) = -\frac{9081072000000}{x^{17}}$ gegeben.

TITLE PAGE

6. Ammoniak- und Methanol-Gleichgewicht.
Ammonia- and methanol equilibrium.

Frame Nos. 535 - 536



THE UNIVERSITY OF CHICAGO

A. ARONSON - 1911
J. ARONSON - 1911

From Mr. A.

1000000000
1000000000

55 535

1000000000
1000000000

536

57

TITLE PAGE

7. Berücksichtigung der Zustandsgleichung beim
Methanolegleichgewicht.
Consideration of equation of state in the
methanol equilibrium.

Frame Nos. 532 - 536

L

LIVER OFF

537
58

3
In
M
A
B

30

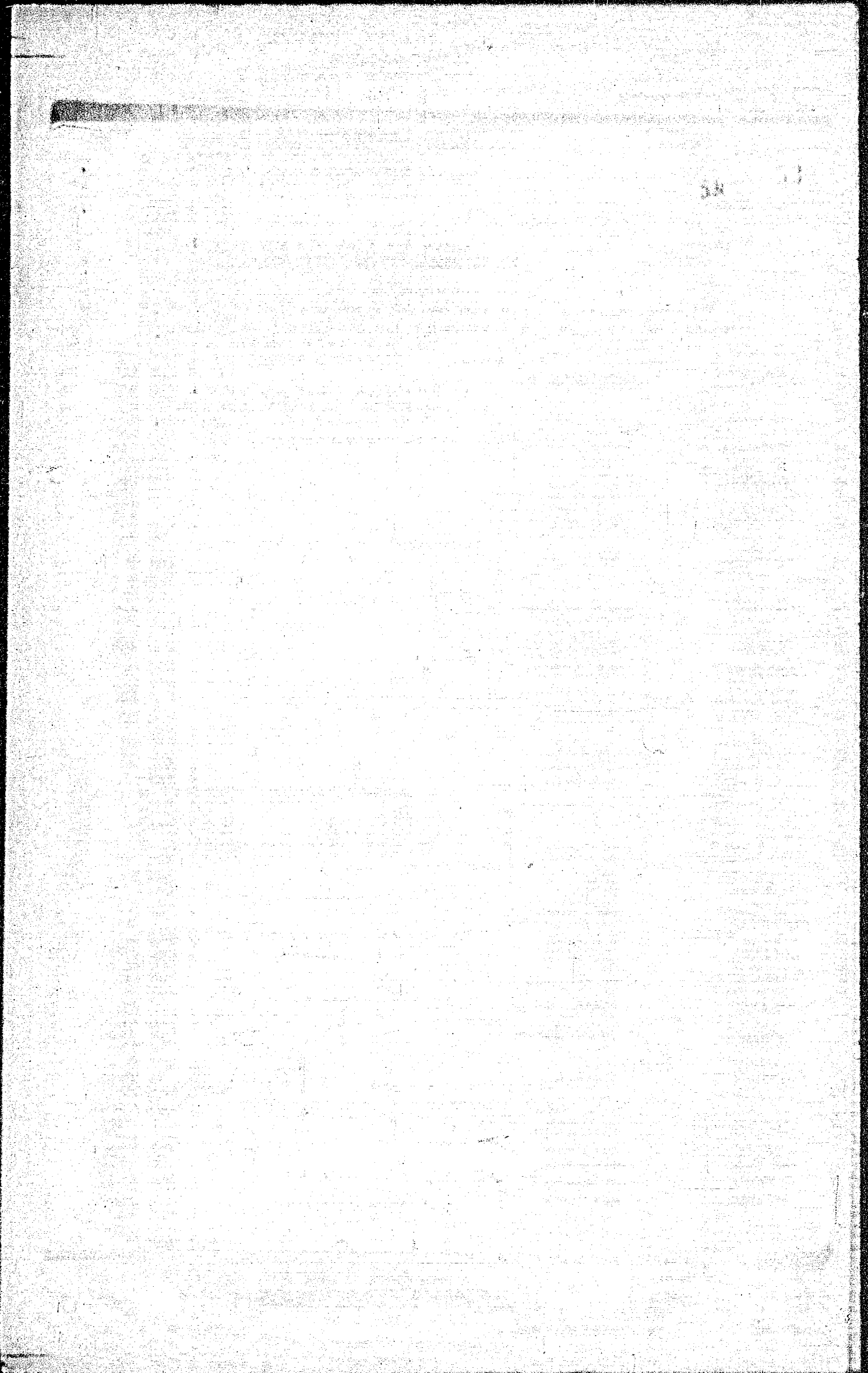
C
2
3

500
500
500
400
100

D
D
Y
S
K
T

R
A
E
D

C
J



III. 2. 1.

8. Verbindungen aus ge Cracktes Erdöl.
Compounds from cracked petroleum

Frage No. 1. 1. 1. 1.

Verbindungen

In den folgenden Versuchsreihen

1. Aromatische Kohlenwasserstoffe

Verbindungen

Benzol

Toluol

Xylole

Phenylacetol

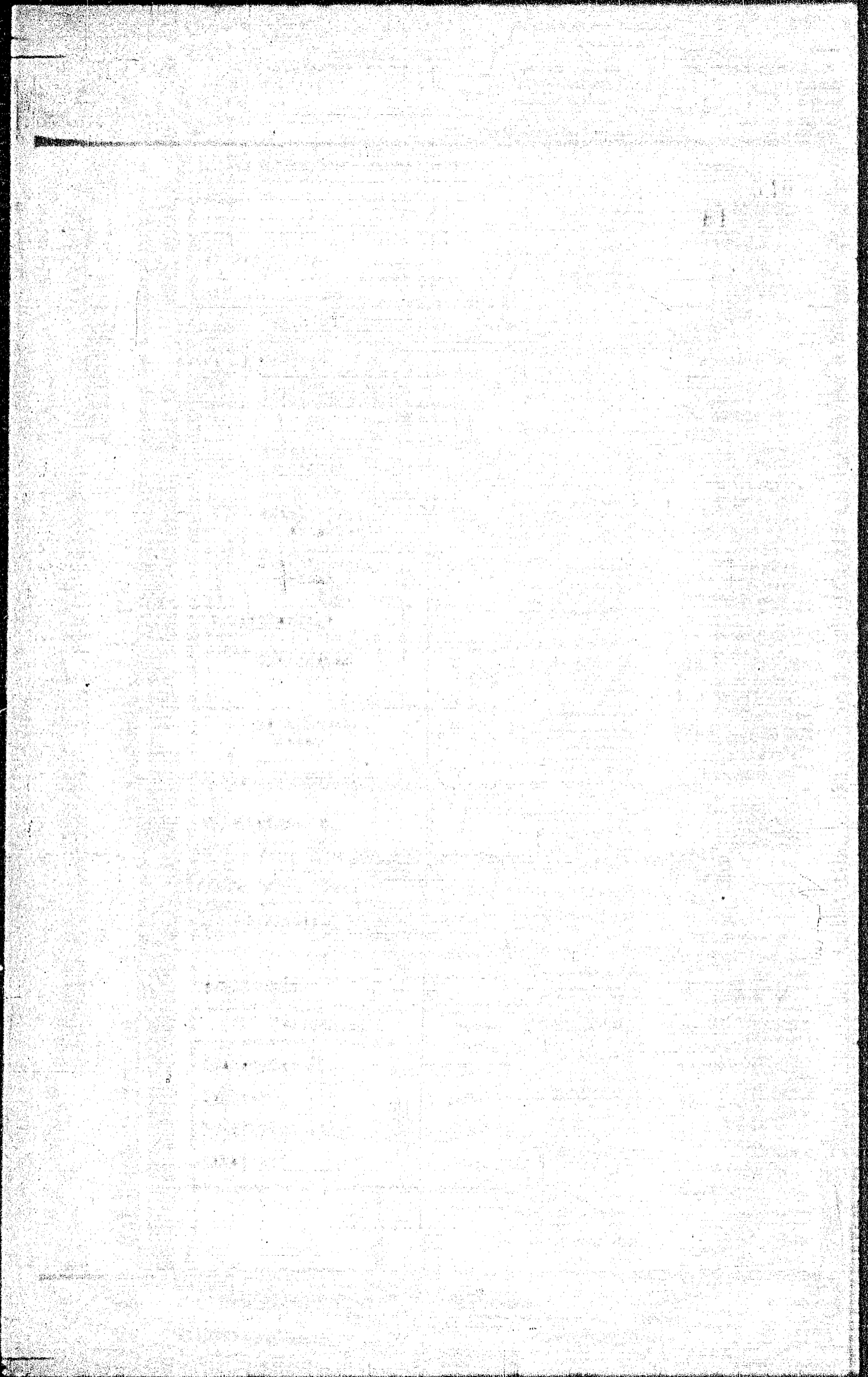
Styrol

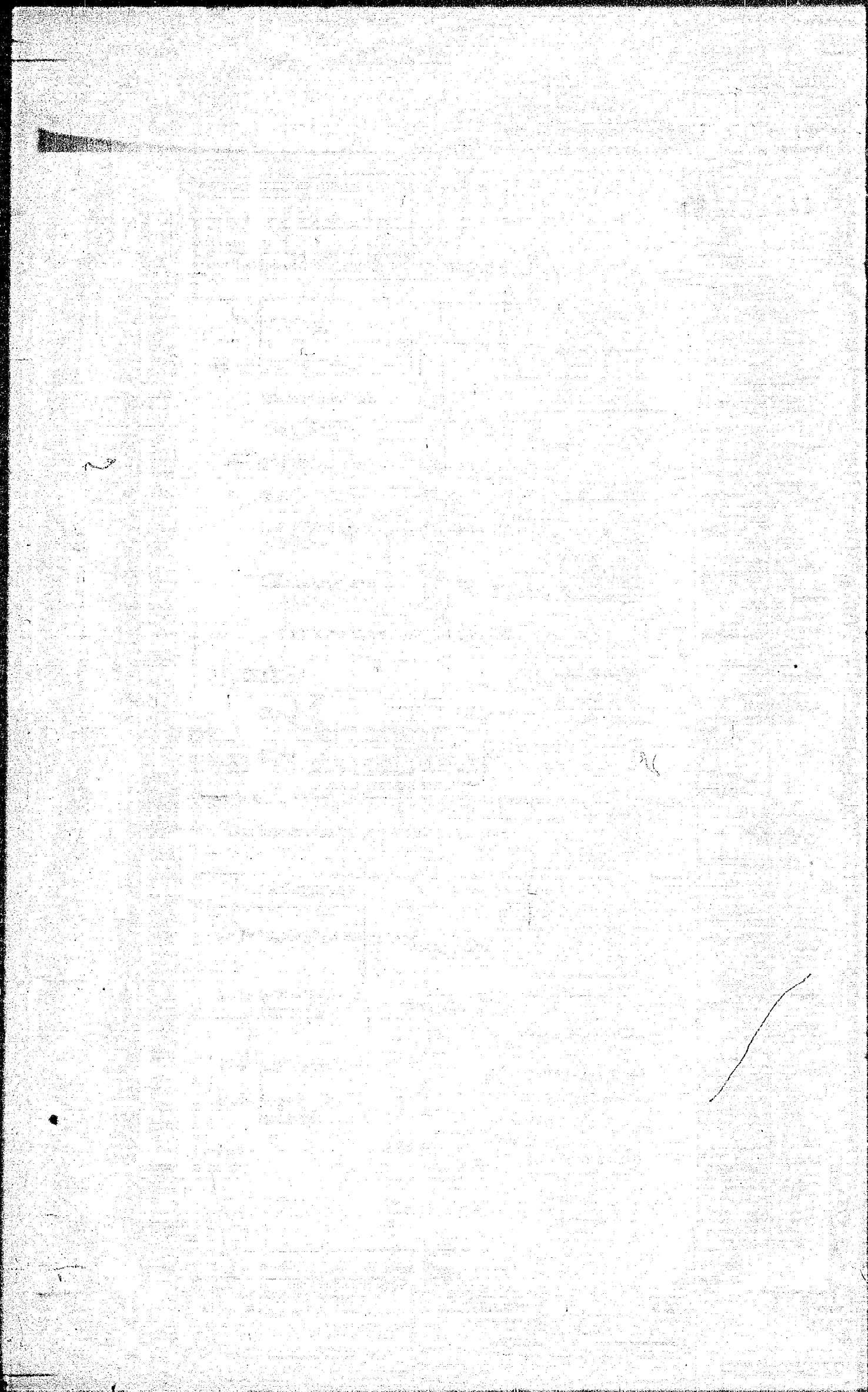
Methylphenol

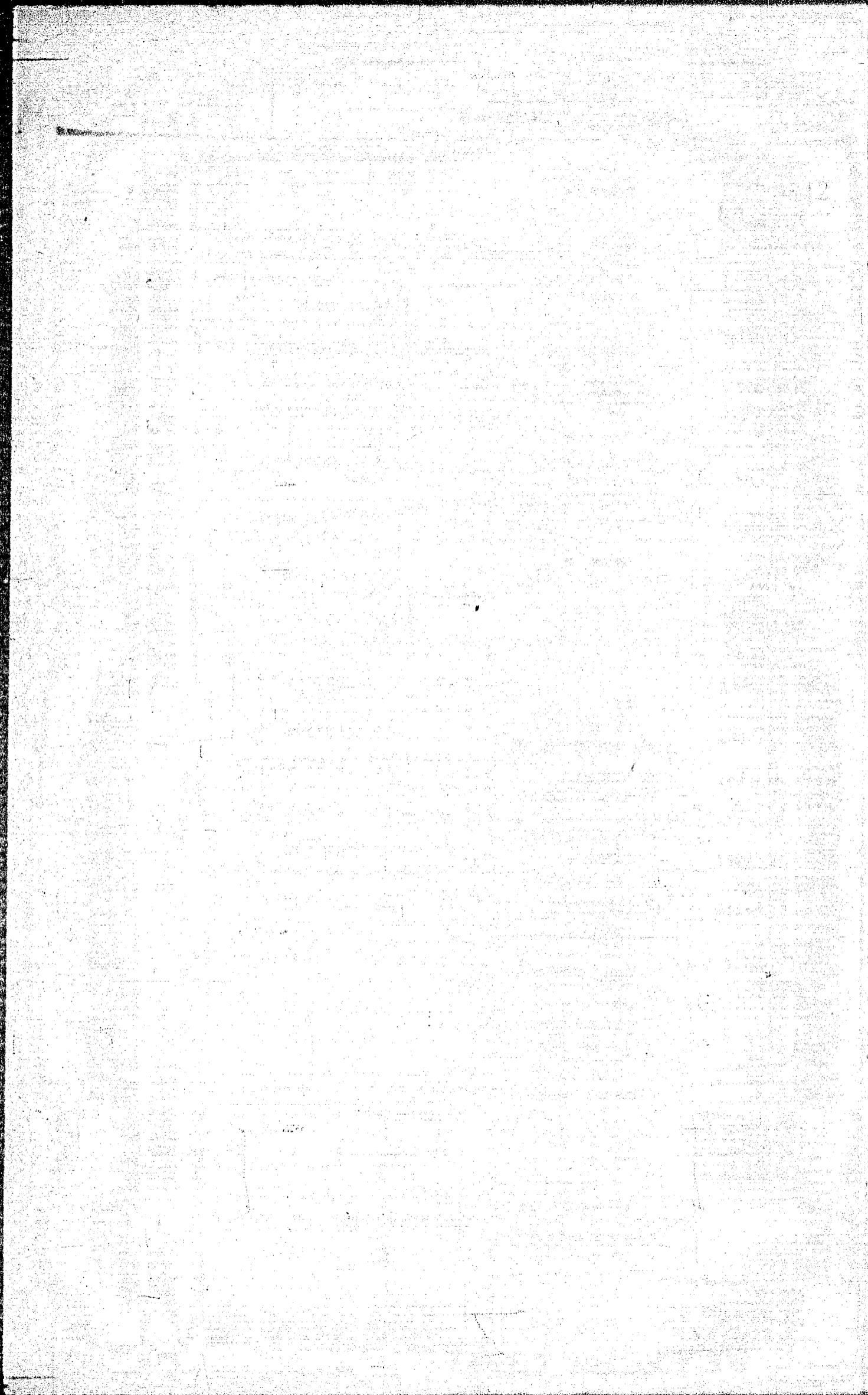
Freudon

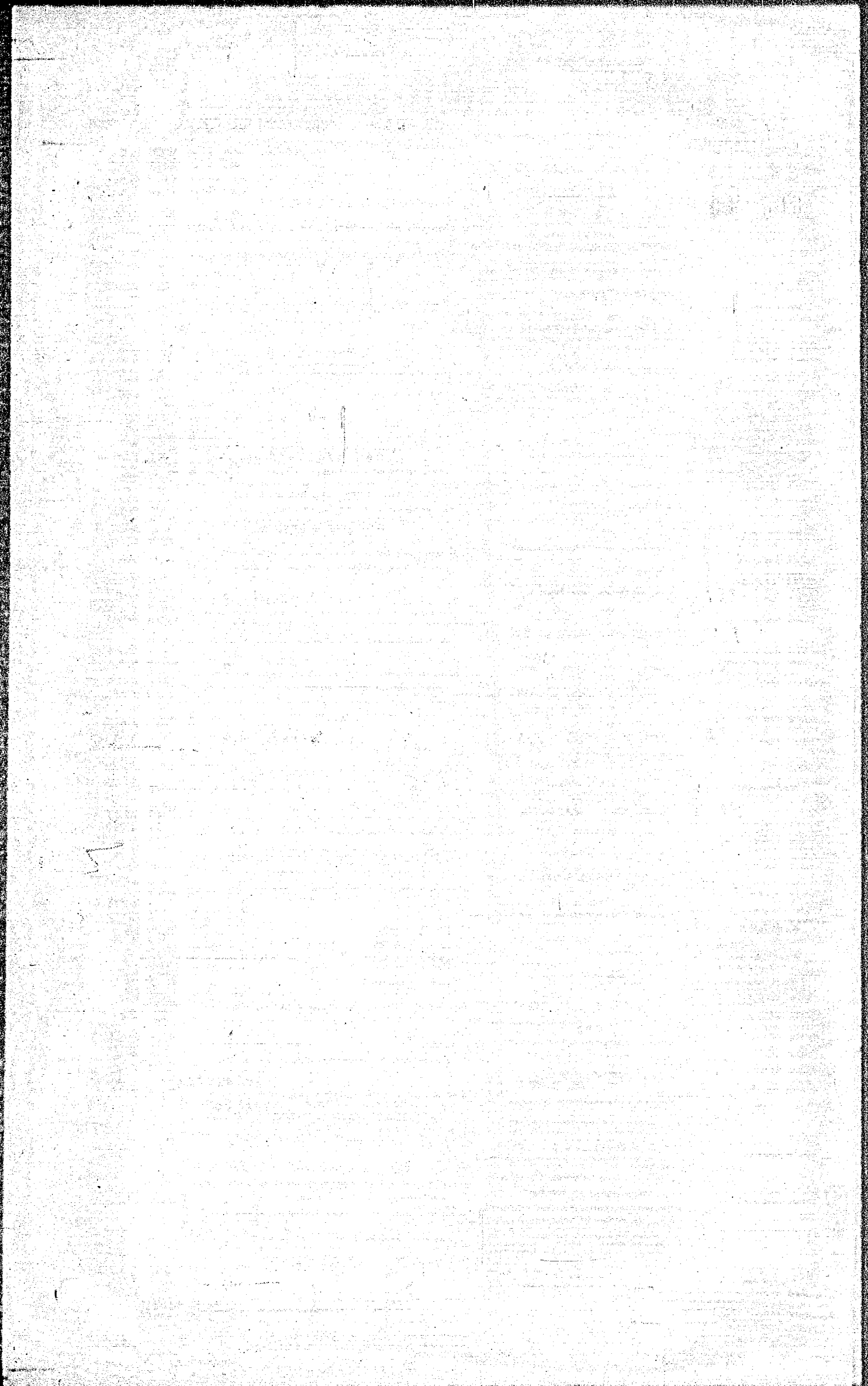
Carbon

Indol









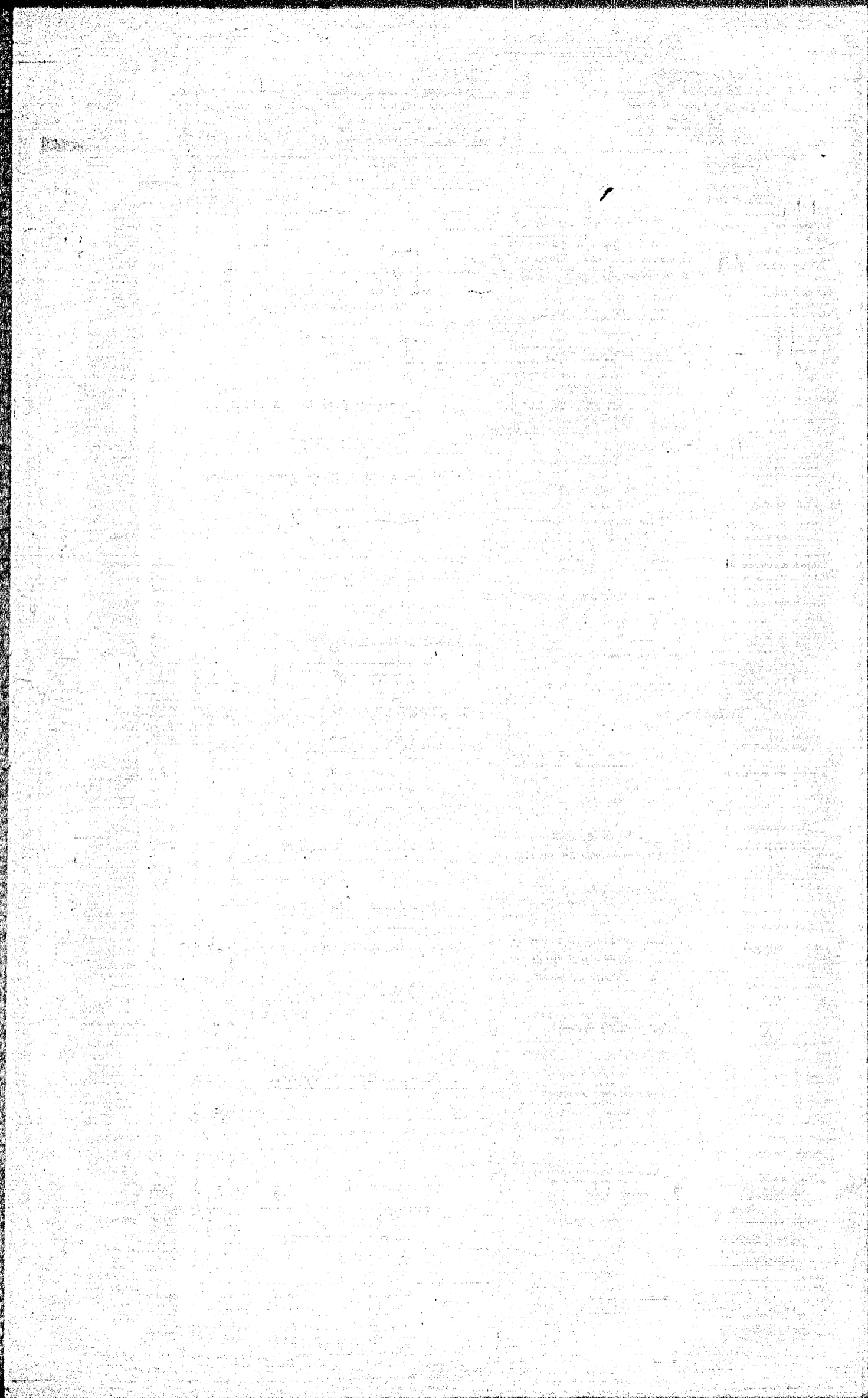
1882

H. Verhinderung in den Jahren 1882-1883

Stenochloa

Gruppe in Licht

Gruppe in Licht



Arbeitsprotokoll
Vorbereitung des Versuches

1. Hauptbestandteile
Benzol
Toluol
Xylol
Triäthylamin
Kaliumpermanganat

Von diesen sind bei der Oxidation
Toluol und Xylol, Toluol




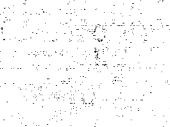



Die Isomeren sind
o-Xylol
m-Xylol
p-Xylol

an leichtesteren Stellen
temperaturter Anlagerung

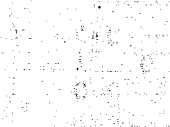


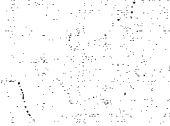
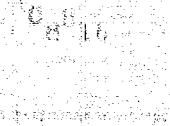

1. Aromatische Kohlenwasserstoffe

Verbindung	Formel
Benzol	
Toluol	






Verbindung	Mol	Mol
Aethylbenzol		
p-Xylol		
m-Xylol		
o-Xylol		
Styrol		
Isopropylbenzol		
n-Propylbenzol		
p-Athyltoluol		
m-Athyltoluol		
o-Athyltoluol		
Mesitylen		
Pseudocumol		

Verbindung	Formel	Struktur
Hexellitol	$C_{12}H_{22}O_{11}$	
Hydranden	$C_{10}H_{16}O$	
Cymol	$C_{10}H_{18}$	
Inden	$C_{9}H_8$	
Durool	$C_{10}H_{16}$	
Isodurool	$C_{10}H_{16}$	
Methylinden	$C_{10}H_{10}$	

2. Naphthene

Verbindung	Formel	Struktur
Cyklopentadien	C_5H_6	
Cyklohexen	C_6H_{10}	
Cyclohexen	C_6H_{10}	
Cyklohexadien	C_6H_8	
Methylcyklohexen	C_7H_{12}	
Dimethylcyklohexen	C_8H_{16}	

3. Diolefin und Diolefin

Verbindung	Formel	Struktur
1,3-Butadien	C_4H_6	
Crotonylen	C_4H_6	
Amlylen	C_5H_8	
Hexylen	C_6H_{10}	
Heptylen	C_7H_{12}	

4. Wasserstoffhaltige Verbindungen

Verbindung	Gruppe
Aceton	III
Propion	III
Butyrol	III
Valerol	III
Capryl	III
Caprylsäure	III
Capryl	III
Capryl	III

5. Stickstoffhaltige Verbindungen

Verbindung	Gruppe
Acetonitril	IV
Propionitril	IV
Butyronitril	IV
Valeronitril	IV
Caprylnitril	IV

Terminology

2,3-Dihydroxybutyrate

4-Hydroxybutyrate

2,3-Dihydroxybutyrate

2,3-Dihydroxybutyrate

2,3-Dihydroxybutyrate

2,3-Dihydroxybutyrate

2,3-Dihydroxybutyrate

2,3-Dihydroxybutyrate

2,3-Dihydroxybutyrate

2,3-Dihydroxybutyrate

2,3-Dihydroxybutyrate

2,4

2,4,6-trinitrophenol

2,4,6

collin

benzocinnol

o-Toluidin

71

550

Schwefelhaltige Verbindungen

Verbindung	Formel
Methylmercaptan	CH_3SH
Ethylmercaptan	$\text{C}_2\text{H}_5\text{SH}$
Dimethylsulfid	$(\text{CH}_3)_2\text{S}$
Schwefelkohlenstoff	CS_2
Thiophen	$\text{C}_4\text{H}_4\text{S}$
Dimethylsulfid	$(\text{CH}_3)_2\text{S}$
1-Methylthiophen	$\text{C}_4\text{H}_3\text{SCH}_3$
1,4-Dimethylthiophen	$\text{C}_4\text{H}_2\text{S}(\text{CH}_3)_2$

Faint, illegible text, possibly bleed-through from the reverse side of the page.

Faint, illegible text, possibly bleed-through from the reverse side of the page.

Particular

Hydrogen

Index

1.4. Hydrogen

Index

1.4. Hydrogen

1.4. Hydrogen

Index

1.4. Hydrogen

1.4. Hydrogen

Index

1.4. Hydrogen

Index

1.4. Hydrogen

1.4. Hydrogen

Index

1.4. Hydrogen

Index

Index

Index

Index

Index

Index

Index

1. *Agrostis*

2. *Setaria*

3. *Pennisetum*

4. *Tripsacum*

5. *Eleusine*

6. *Hordeum*

7. *Triticum*

8. *Cynodon*

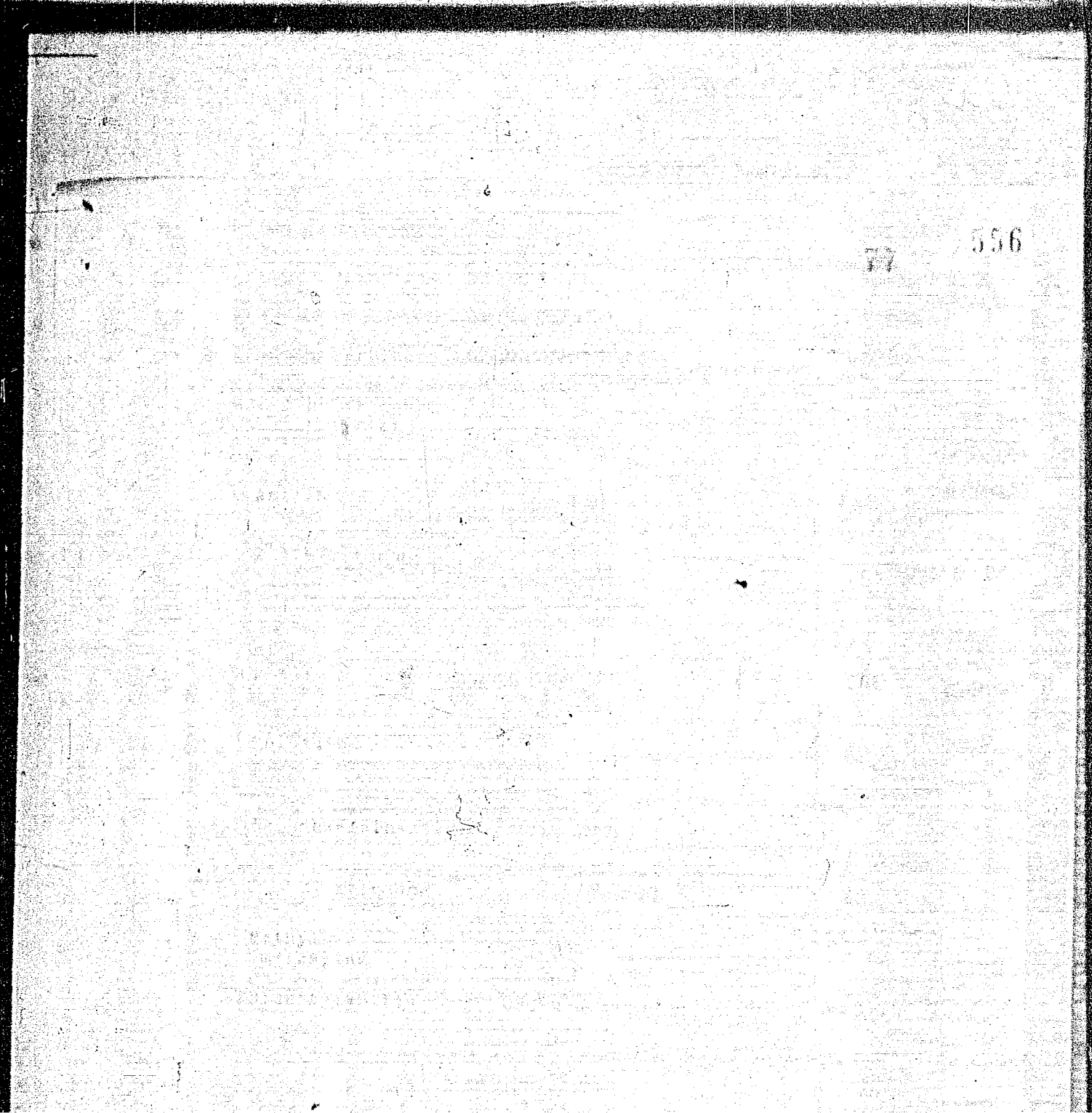
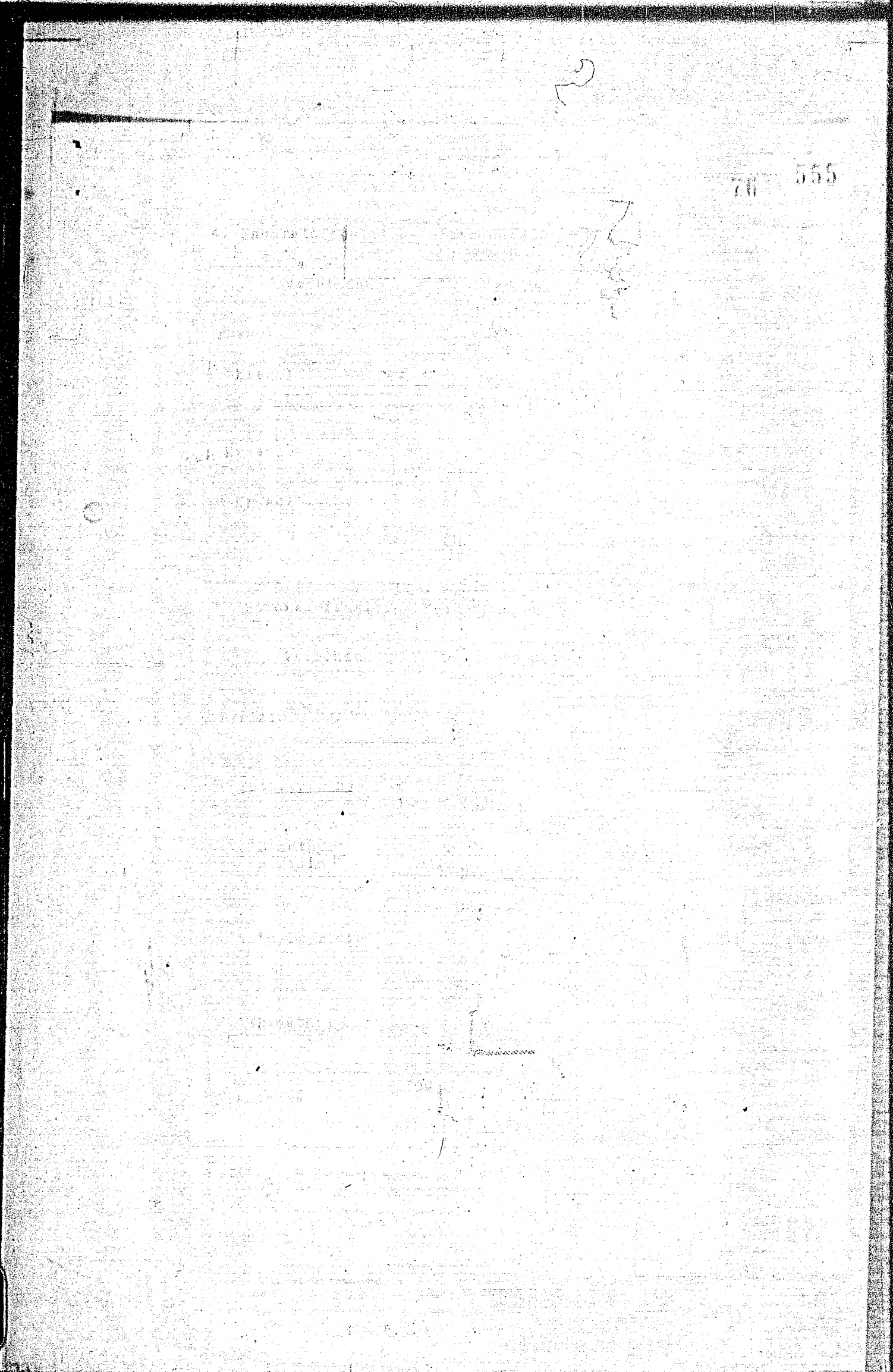
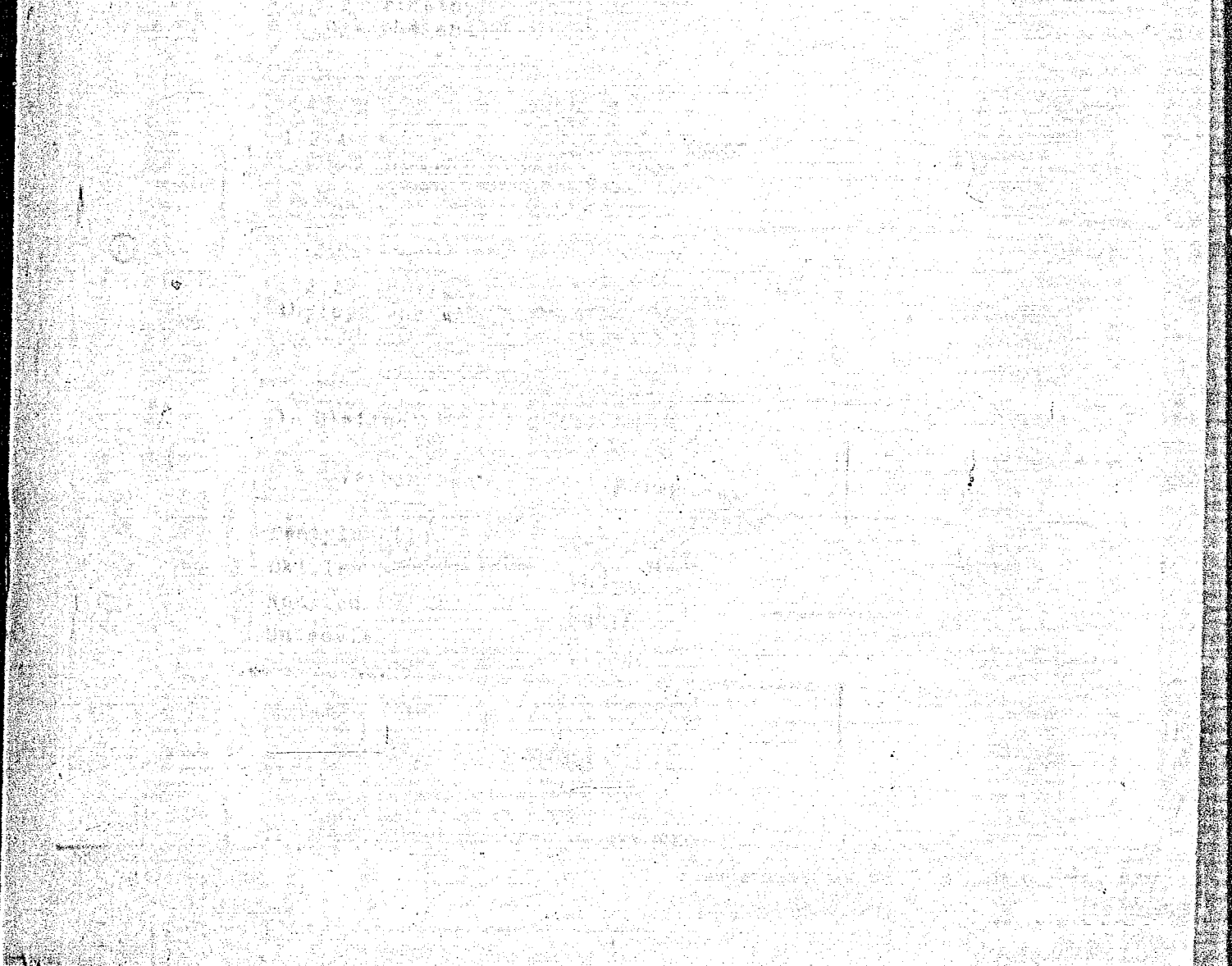
9. *Digitaria*

10. *Andropogon*

11. *Stenotaphrum*

12. *Ischaemum*

13. *Brachiaria*



1. Introduction

2. Methodology

3. Results

4. Discussion

5. Conclusion

6. References

7. Appendix

8. Bibliography

TITLE PAGE

10. Gleichgewichte der Kohledehydrogenierung.
Equilibrium of coal dehydrogenation.

Frame Nos. 862 - 869

Gleichgewichte der Kohlehydratierung.

Folgende Tabelle enthält Elementaranalysen von Rohstoffen und Produkten der Kohlehydratierung und mit geschätzten Molgewichten daraus abgeleitete Bruttoformeln.

	Steinkohle	Abschlaamöl	Organ. Festes aus Abschlaam	Mittelöl	Benzin	Vergasung (C ₁ H ₅) ₂
C	81,97	91,95	88,1	87,15	84,62	79,4
H	5,51	6,13	3,1	9,43	15,73	20,6
O	9,90	0,91	6,7	2,45	1,20	---
N	1,75	0,93	1,0	0,92	0,41	---
S	1,07	0,08	1,1	0,07	0,04	---
Mol Gew. geschätzt	1 000	400	1000	180	10	27,2
Bruttoformel	C _{68,3} H _{53,1} O _{6,2} N _{1,2} S _{0,3}	C _{30,7} H _{24,5} O _{0,2} N _{0,3}	C _{73,5} H _{31,0} O _{4,2} N _{0,7} S _{0,3}	C _{13,1} H _{17,0} O _{0,3} N _{0,1}	C _{7,1} H _{13,7}	C _{1,8} H _{5,6}

Mit Hilfe dieser Bruttoformeln lassen sich u. a. folgende Reaktionsgleichungen ableiten. Die Wärmetönungen wurden aus dem Wasserstoffverbrauch gemäß analogen Reaktionen nach Bericht T₂ v. 4.2.31 abgeschätzt.

- 1) Kohle → 5% Organ. Festes + 65% Mittelöl + 10% Benzin + 20% Ver-

$$C_{68,3} H_{53,1} O_{6,2} N_{1,2} S_{0,3} + 36,6 H_2 \rightarrow 0,046 C_{73,5} H_{31,0} O_{4,2} N_{0,7} S_{0,3} + 3,4 C_{13,1} H_{17,0} O_{0,3} N_{0,1} + 0,95 C_{7,1} H_{13,7} + 7,6 C_{1,8} H_{5,6} + 5,2 H_2O + 0,2 NH_3 + 0,3 H_2S + 470 \text{ WR}$$
- 2) Kohle → Abschlaamöl

$$C_{68,3} H_{53,1} O_{6,2} N_{1,2} S_{0,3} + 7,6 H_2 \rightarrow 2,23 C_{30,7} H_{24,5} O_{0,2} N_{0,3} S_{0,3} + 5,8 H_2O + 0,5 NH_3 + 0,3 H_2S + 107 \text{ WR}$$
- 3) Kohle → Organ. Festes aus Abschlaam

$$C_{68,3} H_{53,1} O_{6,2} N_{1,2} S_{0,3} \rightarrow 0,93 C_{73,5} H_{31,0} O_{4,2} N_{0,7} S_{0,3} + 9,0 H_2 + 2,3 H_2O + 0,5 NH_3 - 115 \text{ WR}$$

20188

- 4) Abschlaamöl → Mittelöl

$$C_{30,7} H_{24,5} O_{0,2} N_{0,3} S_{0,3} + 0,5 H_2O + 7,4 H_2 \rightarrow 2,35 C_{13,1} H_{17,0} O_{0,3} N_{0,1} + 0,1 NH_3 + 95 \text{ WR}$$
- 5) Organ. Festes → Mittelöl

$$C_{73,5} H_{31,0} O_{4,2} N_{0,7} S_{0,3} + 33,2 H_2 \rightarrow 5,61 C_{13,1} H_{17,0} O_{0,3} N_{0,1} + 2,5 H_2O + 0,1 NH_3 + 0,3 H_2S + 450 \text{ WR}$$
- 6) Mittelöl → Benzin

$$C_{13,1} H_{17,0} O_{0,3} N_{0,1} + 4,6 H_2 \rightarrow 1,64 C_{7,1} H_{13,7} + 0,37 H_2O + 0,1 NH_3 + 60 \text{ WR}$$
- 7) Benzin → Vergasung

$$C_{7,1} H_{13,7} + 4,2 H_2 \rightarrow 3,95 C_{1,8} H_{5,6} + 55 \text{ WR}$$

Eine Diskussion dieser Gleichungen kann auf Grund des Prinzips vom kleinsten Zwang erfolgen. Für eine einigermaßen exakte Berechnung des Gleichgewichtes fehlen die Unterlagen. Die Anwendung der Nernst'schen Näherungsformel ist streng genommen wegen der großen Molekuländerung nicht zulässig. (Im Anhang werden die Gleichgewichte für die Gleichungen 1 und 7 berechnet, um zu zeigen, zu welchen Resultaten die Näherungsformel führt.)

Daneben verlaufen die exothermen, unter hohem Wasserstoffverbrauch verlaufenden Reaktionen No. 1, 2, 4, 5, 6, 7 weitgehend von links nach rechts, d. h. die niedriger molekularen, wasserstoffreichen Spaltstücke werden im Gleichgewicht gebildet. Lediglich die Bildung von organischem Festem nach Gleichung 3 müßte eigentlich von rechts nach links verlaufen. Daß trotzdem „organisch Festes“ entsteht, kann auf zwei Ursachen zurückzuführen sein. Entweder entsteht es aus besonders wasserstoffarmen Teilen der Ausgangskohle oder durch Dehydratierung bzw. Polymerisation infolge ungenügenden Wasserstoffzutritts. Da, abgesehen von Reaktion 3, überall Wasserstoff in großer Menge reagiert, ist es evident, daß hoher Wasserstoffdruck für die Reaktion günstig sein muß.

gez. Donath

Anhang.

Im folgenden wird schematisch die Harnet'sche Molekulformel auf die empirischen Reaktionsgleichungen 1 und 2 angewandt. Zu den normalen Ungenauigkeiten der Molekulformel kommt hinzu, dass die sog. konventionellen chemischen Konstanten für Mittelw. Bessin u. dgl. nicht bekannt sind 1) und dass die Zusammensetzungen nur abgelesen werden konnten. Außerdem besteht ein prinzipielles Bedenken bei der Berechnung von Gleichgewichten von Gasen. Es ist durchaus wahr scheinlich, dass z.B. die Bildung von Gasen oder leichten Gasanteilen aus anderen Teilen des Rohstoffes erfolgt als z.B. die Bildung von organisch festen Anteilen, so dass derartige Teilreaktionen mit anderen Wasserstoffverbrauch und Wärmetönung verlaufen. Da derartige Aufteilungen von Reaktion aber auch ohne Willkür nicht möglich sind, wurde zunächst zur Vereinfachung für die Rechnung angenommen, dass die in der ersten Tabelle angegebenen Stoffe einheitliche Körper sind. Es ergeben sich dann folgende Gleichgewichte für 450°C:

1) Kohle \rightarrow 5% organ. Festes + 55 % M'Ol + 10 % Bessin + 20% Vergasung

Da Kohle und organisch festes Bodenkörper sind, lautet die Gleichung

$$\log K_p = \log \frac{p_{H_2}}{p_{M'Ol} p_{Bessin} p_{Gas} p_{H_2O} p_{NH_3} p_{H_2S}}$$

$$= \frac{470000}{4571723} + 18,95 \times 1,75 \log T + 36,6 \times 1,6 - 3,4 \times 3,5 - 0,95 \times 3,5 - 7,6 \times 3,5 - 5,2 \times 3,6 - 0,2 \times 5,3 - 0,3 \times 3,0$$

$$\log K_p = +142 + 95 - 3,6 = -50,6$$

$$K_p = \frac{p_{H_2}}{p_{M'Ol} p_{Bessin} p_{Gas} p_{H_2O} p_{NH_3} p_{H_2S}} = 10^{-51}$$

Hieraus ergibt sich, dass für 2 atm Bessin + Mittelwertdruck ein H₂-Partialdruck von nur 0,1 atm erforderlich ist.

2) Bessin \rightarrow Vergasung

$$\log K_p = \frac{p_{Bessin} p_{H_2}^{4,2}}{p_{Vergasung}}$$

$$= \frac{10 \times 10^{4,2}}{200} = 1,25 \times 10^{4,2}$$

$$= 13,9$$

Bei p H₂ = 200 atm ist

p Bessin	10	10
p Vergasung	200	10

d.h. im Gleichgewicht ist bei 200 atm H₂-Druck das Bessin völlig zu Gas aufgespalten.

I) Sie wurden mit 3,5 eingesetzt

TITLE PAGE

11. Die Zustandsgleichungen realer Gase und deren Anwendung zur Berechnung kalorischer Daten z.B. des Joule-Thomson-Effektes von Wasserstoff.
Equation of state of real gases and their use for calculation of calorific data such as the Joule-Thomson-effects on hydrogen.

Die Zustandsgleichungen realer Gase und deren
Anwendung zur Berechnung kalorischer Daten
z.B. des Joule-Thomson-Effektes von Wasserstoff.

Die Frage, ob der Joule-Thomson-Effekt zur Bestimmung der
Lösung von halbtrennender Wasserstoff geeignet ist, gab den Anlass, die
bekannt gewordenen Zustandsgleichungen realer Gase und deren Anwen-
dung zur Berechnung kalorischer Daten zu diskutieren. Dies soll
gleich eine Vorarbeit sein, um später die Abweichungen realer
Gase vom Marschwerkungsgegesetz zu behandeln. Der Joule-Thomson-
Effekt von Wasserstoff wurde berechnet.

I. Diskussion der Zustandsgleichungen realer Gase 1)

A. Van der Waals'sche Gleichung

Prinzipiell wird das Zustandsverhalten realer Gase beschrieben
durch die Gleichung

1) $(p + a/V^2)(V-b) = RT$ [van der Waals]

Diese Gleichung ist für die exaktere Beschreibung unzureichend,
ihre Bedeutung liegt darin, daß sie in einfacher Weise das prinzipi-
elle Verhalten wiedergibt. Die Gleichung ist insbesondere dann
zureichend, wenn Ableitungen der Zustandsgrößen benötigt werden
z. B. bei kalorischen Rechnungen wie der Fall ist.

B. Gleichung von Berthelot

Die Berthelot'sche Gleichung, die eine wichtige Verbesserung
darstellt, ist aus der van der Waals'schen Gleichung abzuleiten,
indem man die Konstante a durch den Ausdruck a'/T ersetzt. Sie
lautet daher

2) $p + a'/(TV^2) (V-b) = RT$

Berthelot beschränkt zwecks besserer Anpassung die Gültigkeit auf
mäßige Drücke und Dichten und drückt die Konstanten a', b und R in
folgender Weise durch die krit. Daten aus

3) $a' = 16/3 \cdot T_{krit}^2 \cdot p_{krit} \cdot V_{krit}^2$
 $b = 1/4 \cdot V_{krit}$
 $R = 32/9 \cdot p_{krit} \cdot V_{krit} / T_{krit}$

1) Nach H. Justi: Spezifische Wärmee, Enthalpie, Entropie,
Dissociation technischer Gase, Berlin 1938

Durch Einführung des reduzierten Druckes p_r und des reduzierten
Volumens v_r und der reduzierten Temperatur T_r erhält man die Form

4) $(p_r + \frac{16}{3} \frac{1}{v_r^2}) (v_r - \frac{1}{4}) = \frac{32}{9} T_r$ Gleichung nach Berthelot

Es ist ohne weiteres ersichtlich, daß die Gleichung am krit.
Punkt nicht mehr gilt, denn für $v_r = 1$, $p_r = 1$, $T_r = 1$ ergab die
linke Seite 4,747, die rechte aber 3,555.

In Übrigen ist diese Gleichung zur Berechnung kalorischer
Daten wie z.B. die Druckabhängigkeit von C_p und C_p bei hohen Drücken
brauchbar.

C. Gleichung nach Wohl

Auch für höhere Drücke gilt die Gleichung nach Wohl, die aus
der Berthelot'schen abzuleiten ist. Dazu schreibt man die
Berthelot-Gleichung in Form

5) $p = RT / (V-b) - a'/(TV^2)$ Berthelot-Gleichung

und ersetzt den Ausdruck $a'/(TV^2)$ durch $a/[TV(V-b)]$ und führt weiter
dem das Glied $c/(T^{4/3} V^3)$ hinzu, also

6) $p = RT/(V-b) - a/[TV(V-b)] + c/(T^{4/3} V^3)$ Gleichung nach Wohl

Die Konstanten a, b, c und k werden durch die krit. Daten ausgedr.
drückt und zwar

7) $a = 16/3 \cdot T_{krit}^2 \cdot p_{krit} \cdot V_{krit}^2$
 $b = 1/4 \cdot V_{krit}$
 $c = 4 \cdot V_{krit}^3 \cdot p_{krit} \cdot T_{krit}^{4/3}$
 $k = 15/4 \cdot p_{krit} \cdot V_{krit} / T_{krit}$

Die Gleichung nach Wohl enthält ebenso wie die beiden vorher ge-
nannten Gleichungen das Prinzip der übereinstimmenden Zustände und
kann daher nicht für alle Gase gelten. Sie ist auf den häufigsten
Wert des krit. Koeffizienten $p_{krit} \cdot V_{krit} / T_{krit} = 4$ abgestimmt und

gilt für die diese Bedingung erfüllenden sog. Normalstoffe wie
Kohlensäure, Chlorwasserstoff, Ethylchlorid, Äthyläther, Äthan,
Pentan usw., wo die ausgezeichnete Übereinstimmung mit den krit.
werten zeigt. Sie gilt ausdrücklich nicht für Wasserstoff, Helium,
Methan und andere „permanente“ Gase.

gilt für die diese Bedingung erfüllenden sog. Normalstoffe wie Kohlensäure, Chlorwasserstoff, Äthylchlorid, Äthyläther, Äther, Penten u. a., wo eine ausgezeichnete Übereinstimmung mit den Messwerten zeigt. Sie gilt ausdrücklich nicht für Wasserstoff, Helium, Methan und andere „permanente“ Gase.

D. Gleichung nach Beattie und Bridgeman.

Da Wasserstoff sich dem Prinzip der übereinstimmenden Zustände nicht fügt, kann sein Verhalten nur durch eine Gleichung beschrieben werden, die mehr als drei Konstanten enthält. Die Beattie-Bridgeman-Gleichung erreicht zwar gute Übereinstimmung ohne übermäßige Vermehrung der Konstanten. Da sie aus der van der Waals'schen Gleichung herableiten, schreibt man letztere in der Form

8) $pV = RT \frac{V}{(V-b)} - \frac{a}{V}$ van der Waals

und formt den Faktor $V/(V-b)$ in folgender Weise unter Weglassung höherer Glieder um

$\frac{V}{(V-b)} = \frac{1}{1-b/V} = 1 + b/V + \dots + \frac{(b/V)^n}{1 - b/V}$

Weiter setzt man statt der Konstanten a und b die etwas veränderlichen Werte A und B und führt einen Korrekturfaktor $(1-\epsilon)$ ein, so wird die Gleichung lautet

9) $pV = RT \frac{(V+B)}{V} (1-\epsilon) - \frac{A}{V}$ Beattie-Bridgeman Gl.

wobei die langsame Veränderung von A und B gegeben ist durch

10) $A = A_0 (1 - \frac{a}{V})$
 $B = B_0 (1 - \frac{b}{V})$

und die kleine Korrekturgroße durch

11) $\epsilon = \frac{c}{VT^2}$

Die Gleichung enthält daher die fünf Konstanten A_0, a, B_0, b und c . Diese sind für eine Reihe von Stoffen, insbesondere für die permanenten Gase bekannt. Für diese Stoffe ist die Beattie-Bridgeman-Gleichung die genaueste und bequemste Zustandsgleichung. Hinsichtlich der permanenten Gase ergreift sie die Wohl'sche Gleichung in gleicher Weise.

Auch für Gasgemische konnte die Beattie-Bridgeman-Gleichung in Frage von Beattie und Ickert, wurde. Sie besteht aus den Konstanten der Komponenten die Konstanten des Gemisches zu ermitteln, ausprobiert.

1) Justl. Seite 44.

Als Beispiel für die Bildung von Differentialquotienten soll der für die Berechnung des Joule-Thomson-Effekts benutzte Ausdehnungskoeffizient abgeleitet werden. Definitionsgemäß ist

$\alpha = \frac{1}{V} \left(\frac{\partial V}{\partial T} \right)_p$

Nur die Anwendung auf Wasserstoff bei Temperaturen von $40^\circ C$ und darüber vereinfacht sich die Beattie-Bridgeman-Gleichung, da ϵ sehr klein wird. Es ist nämlich $\epsilon = 504$ und bei Drücken bis maximal 10.0 atm V minimal gleich 0.1 , sodass $\epsilon \approx 10^{-5}$ wird. Als durch Weglassen des Faktors $(1-\epsilon)$ vereinfachte Beattie-Bridgeman-Gleichung schreibt man zur Bildung des Differentialquotienten V/OT zweckmäßig in der Form

12) $pV^2 = RT [V + B_0 (1-b/V)] + A_0 (1-a/V) = 0$

Die Regel zur Differentiation einer impliziten Funktion

$F(x, Y) = 0$ besagt

$\frac{\partial Y}{\partial X} = - \frac{\partial F / \partial X}{\partial F / \partial Y}$

Unter Anwendung dieser Regel ergibt sich für

14) $\alpha = \frac{1}{V} \left(\frac{\partial V}{\partial T} \right)_p = - \frac{R (V^2 + B_0 V - B_0 b)}{2 p V^2 RT (V^2 + B_0 b) + A_0 a}$

Der Differentialquotient lässt sich auch ohne Vereinfachung des Faktors $(1-\epsilon)$ bilden, nur wird der Ausdruck etwas komplizierter.

I. Anwendungsbereiche der verschiedenen Zustandsgleichungen.

Die van der Waals'sche Gleichung beschreibt das grundsätzliche Verhalten realer Gase in der einfachsten Weise.

Die Berthelot-Gleichung ist auch quantitativ anwendbar, wenn man sich auf mäßige Drücke (Dichten) und auf Normaltemperatur beschränkt.

Die Gleichung nach Wohl ist für weite Temperatur- und Druckbereiche gültig, aber auf „Normalstoffe“ beschränkt, sie gilt nicht für die permanenten Gase, insbesondere Wasserstoff, Helium, Methan.

Die Gleichung nach Beattie und Bridgeman erreicht mit fünf Konstanten eine sehr gute Anpassung und erfasst auch die permanenten Gase einschließlich Wasserstoff. Sie ist für diejenigen Stoffe, deren Konstanten bekannt sind, die genaueste und bequemste Gleichung. Auch kann sie auf Gasgemische angewandt werden.

Der Differentialquotient läßt sich auch ohne Veranschaulichung des Faktors (1- ϵ) bilden, nur wird der Ausdruck etwas komplizierter.

I. Anwendungsbereiche der verschiedenen Zustandsgleichungen.

Die Van der Waals'sche Gleichung beschreibt das grundsätzliche Verhalten realer Gase in der einfachsten Weise.

Die Berthelot-Gleichung ist auch quantitativ anwendbar, wenn man sich auf mäßige Drücke (Dichten) und auf Normaltemperatur beschränkt.

Die Gleichung nach Wohl ist für weite Temperatur- und Druckbereiche gültig, aber auf "Normalstoffe" beschränkt, sie gilt nicht für die permanenten Gase, insbesondere Wasserstoff, Sauerstoff, Methan.

Die Gleichung nach Beattie und Bridgeman erreicht mit fünf Konstanten eine sehr gute Anpassung und erfäßt schon die permanenten Gase einschließlich Wasserstoff. Sie ist für diejenige Stoffklasse von Konstanten bekannt, die genaueste und bequemste Gleichung. Auch kann sie auf Gasgemische angewandt werden.

II. Thermodynamische Berechnung des Joule-Thomson Koeffizienten.

Entspannt man ein reales Gas durch Drosselung, also ohne Arbeitsleistung und adiabatisch, so ändert sich die Temperatur. Der Effekt wird angegeben durch den Joule-Thomson Koeffizienten μ , der definiert ist als

$$\mu = \left(\frac{\partial T}{\partial p} \right)_H \quad 1)$$

Für die thermodynamische Behandlung, wie auch für die experimentelle Messung ist die isotherm geführte Drosselung wichtig; in diesem Falle muß man die Wärmemenge Q abführen. Der isotherme Drosseloeffekt wird daher angegeben durch den Koeffizienten β , der definiert ist als

$$\beta = \left(\frac{\partial H}{\partial p} \right)_T$$

Das Verhältnis der genannten beiden Koeffizienten ist gleich der spezifischen Wärme c_p .

$$15) \quad \frac{\beta}{\mu} = -c_p$$

Aus dem zweiten Hauptsatz ergibt sich für die thermodynamische Beziehung

$$16) \quad \mu = \gamma - \gamma \left(\frac{\partial \gamma}{\partial T} \right)_p$$

welche zeigt, daß β direkt durch die Ausdehnungskurve (γ) gegeben ist, weshalb man auch mit Hilfe des Ausdehnungskoeffizienten α schreiben kann:

$$17) \quad \beta = \gamma (1 - \alpha T)$$

Da β die Dimension eines Volumens hat, erhält man für eine Druckdifferenz Δp die Energie $\beta \Delta p$ in entsprechenden Einheiten, beispielsweise in Literatmosphären.

In der Beziehung 16) stellt das erste Glied γ die potentielle Energie dar, die beim Entspannen umgesetzt wird, während das zweite Glied die Änderung der inneren Energie angibt. Bei einem Gas, wo $\alpha = 1/T$ ist, wird $\mu = 0$.

1) Der Effekt wird gewöhnlich als positiv gerechnet, wenn sich bei der Entspannung abkühlt.

An der Ausdehnungskurve (Fig. 1) kann mit folgender Hilfskonstruktion der Wert β bei der Temperatur T direkt dargestellt werden:

Man legt eine Tangente an die Ausdehnungskurve in T und bringt sie mit der Ordinate aus Schnitt. Der Abschnitt auf der Ordinate ist β .

Fig. 1 gibt zugleich den allgemeinen Verlauf der Ausdehnungskurve des realen Gases im Vergleich zum idealen Gas wieder, während das ideale Gas durch eine durch den Nullpunkt gehende Gerade dargestellt wird (deren Steigung nach $\frac{V}{T} = \frac{1}{T_0}$ von Druck unabhängig ist).

Die Kurve des realen Gases liegt bei tiefen Temperaturen unterhalb bei höheren Temperaturen oberhalb der Idealgasgeraden. Die realen Kurve bleibt bei weiter steigender Temperatur schließlich von einem konstanten Betrag oberhalb der Idealgasgeraden, wie aus den Gleichungen nach van der Waals und nach Berthelot sofort ersichtlich wird, wenn man sie den Formeln 18 bzw. 19 ansieht.

18) $V = b + \frac{RT}{P + a/V^2}$ [van der Waals]

19) $V = b + \frac{RT}{P + a'/T^2}$ [Berthelot]

Bei großen T und V liegt V um das Kovolumen b über dem Volumen im idealen Zustand. Zu demselben Ergebnis führen auch die Gleichungen von Wohl und von Beattie-Bridgeman.

Für den Koeffizienten β folgt, daß er bei niedrigen Temperatur beträchtlich negative Werte haben kann (Gebiet der Anwendung in der Kältetechnik), aber bei steigender Temperatur Null wird und dann (Fig. 2) einen verhältnismäßig kleinen positiven, praktisch druckunabhängigen Grenzwert (gleich b) annimmt. Dementsprechend gilt für den Joule-Thomsonkoeffizienten μ , der nach Division durch Cp zu erhalten ist.

Berechnung des Joule-Thomsoneffektes von Sauerstoff

A. Nach van der Waals

Berechnet wird der Grenzwert für hohe Temperaturen

$\beta = b = 0,000977 \text{ [cm}^3/\text{Mol]} = 0,022 \text{ [lit/Mol]}$

Mit der spez. Wärme Cp = 7,1 [cal/mol] und dem Umrechnungsfaktor 24,2 von Literatmosphären auf Kalorien ergibt sich

$\mu = \frac{24,2}{7,1} \beta = 3,4 \beta = 0,075 \text{ [Grad/Atm]}$

B. Nach Berthelot.

Aus der Berthelot-Gleichung hat Justi²⁾ einen Ausdruck für den Ausdehnungskoeffizienten β abgeleitet, mit dessen Hilfe durch das krit. Volumen V_{krit} und die reduzierte Temperatur dargestellt werden kann als³⁾

$$20) \beta = (V_{krit}/4) (1 - 18/\sqrt{2})$$

Aus $V_{krit} = 0,031$ [lit/mol]¹⁾ und $T_{krit} = 33,20$ K⁴⁾ ergibt sich $V_{krit} = 0,032$ [lit/mol] = 0,01 [lit/mol] und für $40^\circ C$ $\beta = 20,25$

Daneben ist

$$\beta = 0,064 \cdot 0,964 = 0,061 \text{ [lit/mol]} \text{ und}$$

$$-\mu = 0,05 \text{ [Grad/Atm]}$$

C. Berechnung nach der p-v-Tabelle.

Ohne jede Zustandsgleichung kann man¹⁾ ermitteln, wenn man tabellierte p-v-Werte hat und in Gleichung 16) den Differentialquotienten $\beta = V/T$ durch den Differenzquotienten $(V_1 - V_2)/(T_1 - T_2)$ ersetzt. Der dabei begangene Fehler ist nach der graphischen Darstellung Fig. 1 abzuschätzen, da man die Tangente an V durch eine Sekante ersetzt. Der so gefundene Wert²⁾ ist gleich dem wahren Wert³⁾ bei einer zwischen T_1 und T_2 liegenden Temperatur, und der Fehler ist sehr klein, wenn das fragliche Kurvenstück für V gekrümmt ist. Fig. 3 zeigt die nach der p-v-Tabelle⁴⁾ gesicherte Ausdehnungskurve für Wasserstoff bei $40^\circ C$. Daraus sind die Daten für

$$T_1 = 400^\circ C (= 673^\circ K) \text{ und } T_2 = 300^\circ C \text{ gewählt}$$

$$p \cdot V_1 = 2,765 \text{ [lit atm/K lit]} \quad V_1 = \frac{22,41}{400} = 0,056 \text{ [lit/mol]}$$

$$p \cdot V_2 = 2,398 \text{ [lit atm/K lit]} \quad V_2 = \frac{22,41}{400} = 0,056 \text{ [lit/mol]}$$

so ergibt sich

$$\beta = \frac{V_1 - V_2}{T_1 - T_2} = 0,017 \text{ [lit/mol]} \text{ und}$$

$$-\mu = 0,15 \text{ Grad/Atm}$$

- 1) Taschenbuch für Chemiker und Physiker Seite 838 bezw. 837
- 2) Justi, Seite 18.
- 3) Vgl. Bericht G. Kling, Techn. Prüfamt Op. Nr. 561 v. 3. I. 44
- 4) Taschenbuch für Chemiker und Physiker Seite 829.

D. Berechnung nach der Beattie-Bridgeman-Gleichung.

Die früher aus der Beattie-Bridgeman-Gleichung abgeleitete Gleichung 14) ergibt den Ausdehnungskoeffizienten β , wenn man Gl. 17) zu erhalten ist. Aus Gl. 14) folgt

$$21) \beta = T \cdot \frac{RT(V^2 + B_0V - B_0b) - 2pV^2 - RT(V^2 + B_0b) + A_0a}{2pV^2 - RT(V^2 + B_0b) + A_0a}$$

Es wird also für gegebenes p und T zunächst der Nenner benötigt. Die N.-Br.-Gleichung 1) ergibt für $p = 40$ at und $T = 673^\circ K$

$$V = 0,158 \text{ [lit/mol]}$$

Dann ist $\beta = T = 0,800$ und

$$\beta = V(1 - \beta \cdot T) = 0,019 \text{ [lit/mol]} \text{ und}$$

$$-\mu = 0,065 \text{ [Grad/Atm]}$$

Um die von den beiden vorhergenannten Zustandsgleichungen geforderte Unabhängigkeit des Druck zu prüfen, wurde auch $p = 800$ at und $T = 673^\circ K$ gesetzt. Dabei ergibt sich

$$V = 0,090 \text{ [lit/mol]} \text{ und}$$

$$\beta = T = 0,781$$

$$\beta = 0,017 \text{ [lit/mol]} \text{ und}$$

$$-\mu = 0,067 \text{ [Grad/Atm]}$$

E. Vergleich der Werte

Zustandsgleichung	Druck	β in Grad/Atm
van der Waals	beliebig	0,075 (Grenzwert)
Berthelot	beliebig	0,05
p-v-Tabelle	400 at	0,06
Beattie-Bridgeman	40 at	0,065
	800 at	0,067

- 1) Die Konstanten finden sich in Justi und im Taschenbuch Seite 837. In „Taschenbuch“ ist die N.-Br.-Gleichung falsch notiert, da die eckige Klammer fälschlicherweise erst hinter $\frac{A_0}{V^2} (1 - \frac{a}{T})$ schließt, während sie nur den Nenner $[V + B_0(1 - \frac{a}{T})]$ umfassen darf.

) Die Konstanten finden sich in Justi und in Passenbach Seite 877. In „Faschensch“ ist die Formelgleichung falsch mitteilt, da die eckige Klammer fälschlicherweise erst hinter $\frac{1}{V^2} (1 - \frac{a}{V})$ schließt, während sie nur den Ausdruck $[V + B_0 (1 - \frac{a}{V})]$ umfassen darf

Als zuverlässiger Wert ist ... Wasserstoff von 4000 ... bei 700 ...

Abweichung ...

Die Abweichung ...

$$= 1.4 (1 - 0) \dots$$

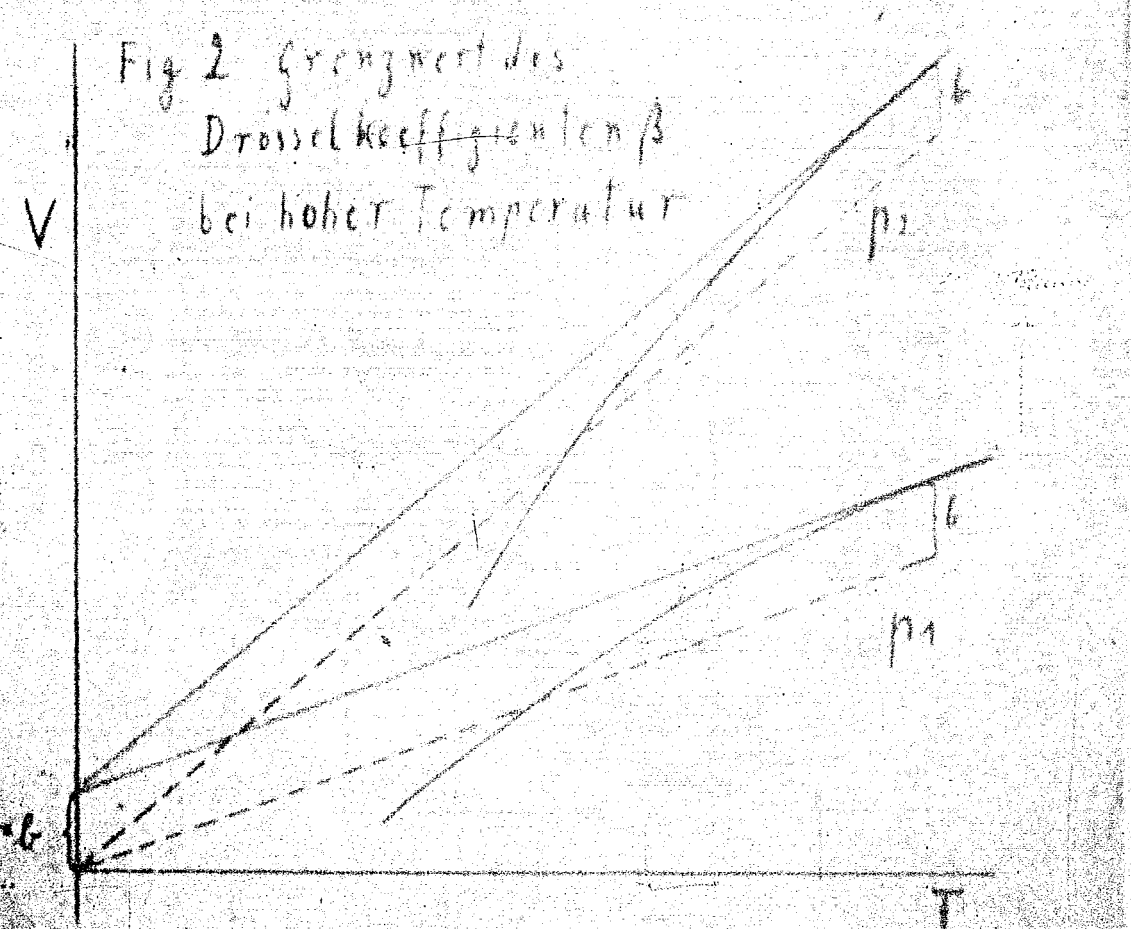
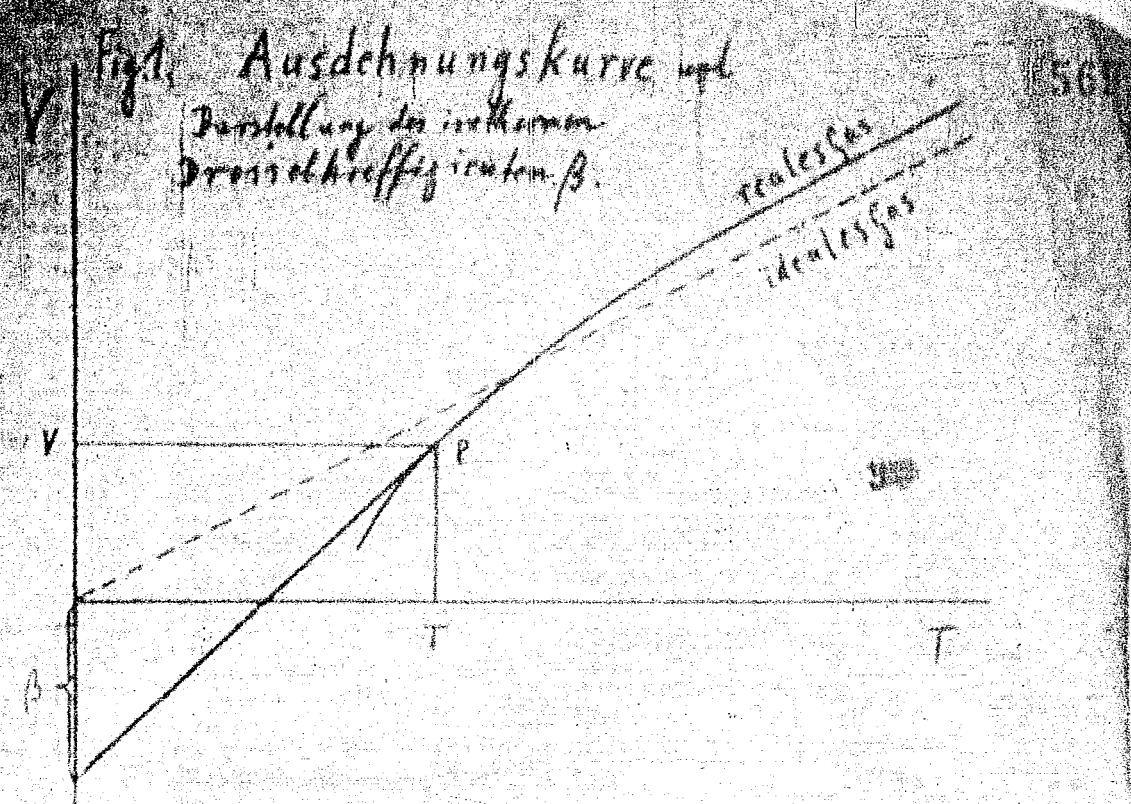
bei einer spez. ...

Abweichung ...

Zusammenfassung

Die Anwendung ...

Abbildung Fig. 1)



~~Drüsenkoeffizienten~~
~~Drüsenkoeffizienten~~

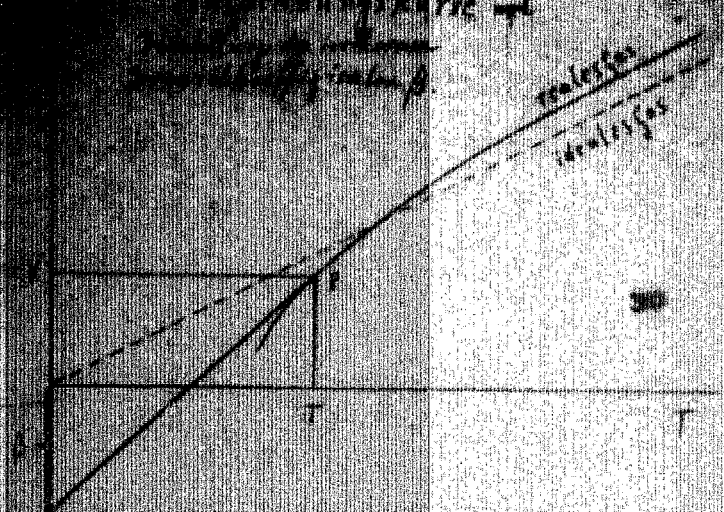
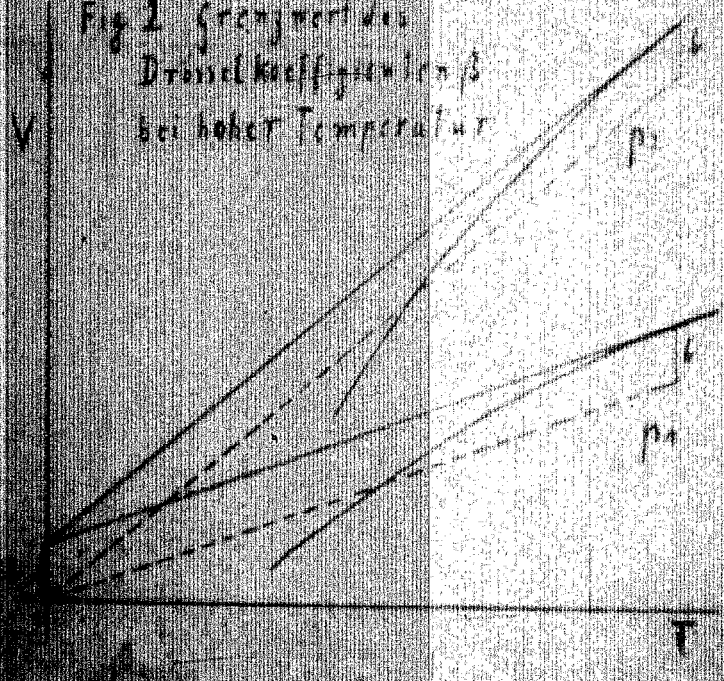
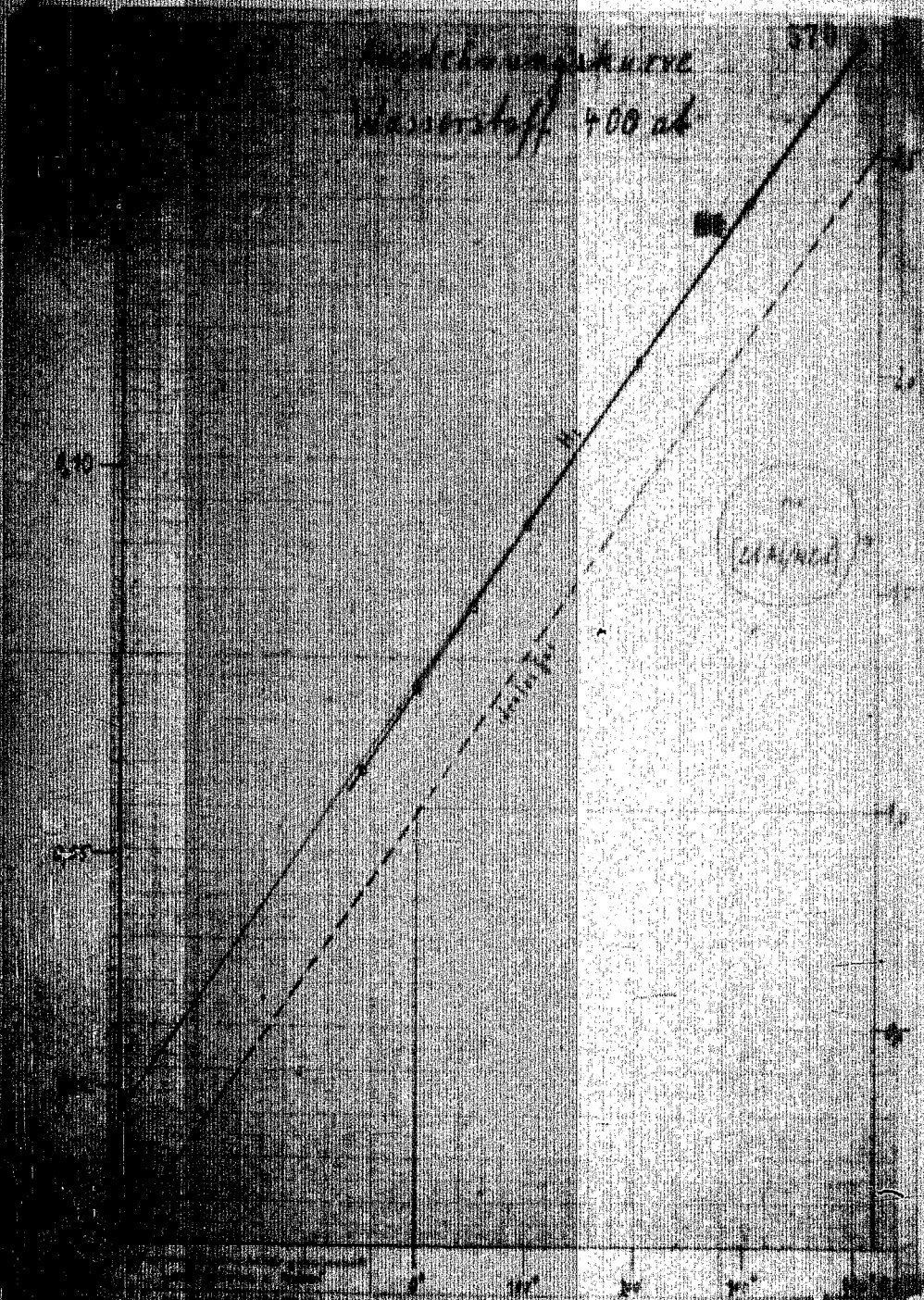


Fig 2 Grenzwert des
 Drüsenkoeffizienten β
 bei hoher Temperatur



Wachstumskurve
Wasserstoff 400 at



TITLE PAGE

12. Dehydratisierende Polymerisation von Alkoholen
bzw. Alkohol und Olefin.
Dehydrating polymerization of alcohols or
alcohol and Olefin.

Frans Nos. 571 - 675

Hochdruckversuchs
la 55C

571-92

24. 10. 1961. Bus/ST
10/16

Dehydratisierende Polymerisation von Alkoholen
bzw. Alkohol und Olefin.

Die Dimerisation von Isobutylen mit Schwefelsäure zum Methyl-
butylen besteht bekanntlich in der Intermediären Bildung von Sulfon-
ate, deren thermische Zersetzung, ohne zum Polymeren führt. Die
gleichen Sulfonate entstehen auch bei der einwirkende von Schwefel-
säure auf die entsprechenden Alkohole. Die Reaktionsfähigkeit der Sulfon-
ate primärer Alkohole ist bekanntlich wesentlich stärker als die
jenige sekundärer und tertiärer, ebenso wie die von tertiären
der tertiären und sekundärer Alkohole mit Wasser. Entsprechend
Mitteln wesentlich leichter verläuft als die der primären Alkohole.
Es war nun Gegenstand dieser Arbeit die Bedingungen der Dimeri-
sierung mittels Schwefelsäure sowohl ausgehend von den Stoffen
als auch von den Alkoholen bzw. Säure-äquivalenten gewonnen von
Alkohol und Olefin zu studieren und die Möglichkeit der Herstellung
neuer verzweigter klopffester Kohlenwasserstoffe aus diesen heraus
zu untersuchen. Da die Dimerisation der Alkohole und Alkohole-olefin
Gemische naturgemäß einen großen Schwefelsäure-Verbrauch erfordert
(die Alkohol-Olefin-Dimerisation erfordert nur ein halbes Schwefel-
säure-Verbrauch gegenüber der Dimerisation von Alkoholen) wurde
auch die Möglichkeit der gleichzeitigen Wasser-entziehung durch
merisation an Phosphorsäure-Kontakten in der Intermediären Bildung
wegen. Schließlich wurden noch andere Säuren wie Phosphorsäure und
Phosphorsäure-Schwefelsäure-Gemische auf ihre Brauchbarkeit für die
dehydratisierende Polymerisation geprüft.

Apparatur: Als die für die obige Reaktion in Frage kommende
Konzentration der Schwefelsäure hat sich eine 70%ige als am besten
an zweckmäßigsten, als Temperatureoptimum der thermischen Dimeri-
sierung der Stoffe von 55° - 75° C erwiesen. Die Apparatur
setzte sich aus folgenden Teilen zusammen: ein Reaktor von 1 Liter
Schwefelsäure und einer berechneten Menge des einen Alkohols wird
langsam in ein mit Überlauf und Rührer versehenes Gefäß mit wasser-
beheiztes Reaktionsgefäß einlaufen gelassen, während die
einem anderen Vorratsgefäß, die Moleküle des anderen Alkohols
Alkohols in entsprechendem Verhältnis einströmt sind. Das

7938

Konzentration der Schwefelsäure hat sich eine 70%ige Lösung
nen am zweckmäßigsten, als Temperaturoptimum der Polymerisation
nat-Zersetzung der Esteren von 60-70°C erweisen. Die Zersetzung
setzte sich aus folgenden Teilen zusammen: ein Teil von 100g
Schwefelsäure und einer berechneten Menge des einen Alkohols wird,
langsam in ein mit Überlauf und Rührer versehenes Gefäß mit kaltem
wasser behaftetes Reaktionsgefäß einlaufen gelassen, während aus
einem anderen Vorratgefäß, die Equimolare Menge des anderen
Alkohols in entsprechendem Verhältnis eingetroffen wird.

7938

entstehende Olefin, welches sich als wasserfreie Schicht an der
Oberfläche des Säure-Alkohol-Gemisches im Reaktionsgefäß abhebt,
wird zur Vermeidung von Nebenreaktionen (Polymerisation) des Olefins
Überlauf abgezogen und in ein auf 30°C gehaltenes mit verdünnter
Lösung beschicktes Gefäß mit Rührer eingeführt und destilliert,
während die Schwefelsäure zum Teil in das Reaktionsgefäß zurückge-
führt, zum Teil in ein gleichfalls mit Rührer und Überlauf versehenes
und mit Dampf auf 90-100°C gehaltenes Gefäß zur Entfernung der von der
Säure festgehaltenen Reste Olefin geleitet wird.

Bei den Arbeiten mit Alkohol-Olefin-Gemischen wurde ein mit dem
beschriebenen Reaktionsgefäß ein zylindrisches Gefäß verwendet,
welches am Gefäßboden eine Filterplatte zum Ablassen des Olefins
enthält und durch ein Wasserbad gehalten wird.

1. Dehydratisierende Dissoziation von Alkoholen mit Säuren

Ergebnisse: Da die Schwefelsäureverbindung des tertiären Butylalkohols
nicht beständig ist, dieses Gemisch in Gegenwart von Schwefelsäure
schon bei 0° Wasser spaltet und sich in tertiären Butylalkohol und
wird dieser in die Lösung der Sulfonate von tertiärem Butyl-
Butanol bzw. Isopropylalkohol in überschüssiger Menge (ca. 10%)
würde Schwefelsäure eingetroffen, damit sich der tertiäre Butyl-
Butanol freier werdende Butylalkohol in starkem Maße mit der
thermische Zersetzung des Sulfonates entweichendes Olefin und
Dimeren umsetzt. Die besten Ansätze an Olefin (Buten) werden bei
der Einwirkung von tertiärem Butylalkohol auf das Sulfonat des
sekundären Butanols erhalten. Das entstehende Olefin-Gemisch besteht
aus 50% des 2,3-Dimethylpenten-2 von $d_{15} = 0,712$ und 50% des
ringer war die Olefin-Ausbeute bei der Umsetzung von tertiärem Butyl-
alkohol mit dem Sulfonat des Isopropylalkohols. Im Hauptteil des
Olefin-Gemisches wurde das 2,2-Dimethylpenten-3 von $d_{15} = 0,680$
ermittelt, welches bei der Hydrierung in Gegenwart von Pt-
bei 13 MP die gleiche V.Z. (59 Motor) ergibt wurde. Das Olefin-Gemisch
Alkylierungsprodukt von Isobuten und Propylen in Gegenwart von
Schwefelsäure. Bei der Verweidung eines primären Alkohols als der
einen Komponente geht die Ausbeute an Olefin erheblich zurück. So
wurde bei der Einwirkung von tertiärem Butylalkohol auf die Schwe-
felsäureverbindung des Isobutylalkohols nur 4% Olefin gewonnen,
das als Alken im wesentlichen das 2,4,4-Trimethylpenten-2 von d_{15}
 $d_{15} = 0,721$ aufweist. Fast quantitativ verläuft die bei Dehydratisierung

von tertiärem Butylalkohol in Schwefelsäure werten bei Raumtemperatur. Reaktionsprodukt ist fast ausschließlich das 2,4,4-Trimethylpentan-2. Schließlich wurde noch aus einem in einem Laboratordruck niedrigen Ketongemisch durch Hydrieren an einem Co-Pt-Katalysat als vorwiegend sec. Alkohole enthaltendes Produkt (Hydroxykatalysat, Carbonylzahl 85) hergestellt und dieses als Alkohol-pulverat in Gegenwart von Schwefelsäure mit tertiärem Butylalkohol zur Reaktion gebracht. Aus dem resultierenden Olefin-Gemisch wurden wieder durch Reduktion an Pt. 6718 die gesättigten Kohlenwasserstoffe gewonnen. Jedoch waren bislang wieder die Ausbeuten an die $C_{10}H_{20}$ siedenden Olefinen noch die Oktan-Zahlen des Paraffin-Gemisches beträchtlich.

2. Dehydratisierende Polymerisation von Olefinen in Gegenwart von Schwefelsäure.

Die Arbeitsweise, die hierbei verfolgt wurde, stimmt mit der oben beschriebenen überein. Das Olefin wird aus der Stahlflasche durch eine Glasplatte in das oben erwähnte Rührgefäß so dirigiert, daß pro Liter Volumen eingeleitetes Olefins die ein Molvol. H_2SO_4 enthaltende Lösung Alkohol-Schwefelsäure eingetroffen wird. Das überlaufende Olefin-Schwefelsäure und Dimeres Olefin enthaltende Gemisch wird durch ein nachgeschaltetes Rührgefäß wieder zur Austrittsöffnung geleitet und an Dimeren auf 70° erhitzt und das an der Oberfläche abgehende Olefin tritt dann in das Nachgefäß über, während die abgetrennte Schwefelsäure wieder in das Reaktionsgefäß zurückgeführt wurde. Das eingegaste Olefin wurde meist quantitativ analysiert. Die Ausbeute an dimerem Olefin war im allgemeinen besser, als bei der Verwendung von Alkoholen. Die zur Aufkonzentrierung der verdünnten Schwefelsäure erforderliche Menge Olefin war hierbei nur halb so groß wie bei der erstgenannten Arbeitsweise.

Die Verwendung höher konzentrierter Schwefelsäure als 75% hat sich nur bei der Dimerisation von Isobutyl- und Isopropyl- und Inobutylsulfonat als vorteilhaft erwiesen. Nur bei Benutzung einer 92%igen Säure konnte Isobutyl- mit den ger. Alkoholen im bemerkenswerten Umfang in C_8 bzw. C_9 -Olefine dimerisiert werden. Die Dimerisierung von Propylen für sich oder gemeinsam mit Isopropylsulfonat bzw. tertiärem Butanol wurde bei den verschiedensten Säure-Konzentrationen und Reaktionstemperaturen bislang ohne Erfolg versucht. Während 80%ige und niedriger konzentrierte Schwefelsäure Propylen

nicht verändert, verwandelt höherprozentige Säure das Produkt in ein stabiles Sulfonat, welches auch bei erhöhter Temperatur keine Zersetzung zur Dimerisation zeigt.

Versuche, Alkohole für sich oder zusammen mit Olefinen durch Überleiten über Phosphorsäure, die in verschiedenen Konzentrationen auf Kieselgel oder A-Kohle bzw. Bismut aufgetragen war, zu dehydratisieren und am gleichen Kontakt zu polymerisieren, führten durchweg nur zur Dehydratisierung der Alkohole, während die Olefine nicht verändert wurden, offenbar aus dem Grund, weil die Oberfläche katalysierte Polymerisation auf Olefinen durch die Wasserabspaltung jedoch nur bei Atmosphärendruck möglich ist.

Es ist bekannt, daß flüssige Phosphorsäure im äquimolekularen Verhältnis bezogen auf Alken die Polymerisation von Olefinen bei erhöhten Temperaturen und Drücken katalysiert. Die verschiedenen Versuche gezeigt haben, gilt diese Beziehung auch für die Polymerisation von Alkoholen an Stelle der Olefine. Die funktionellen Gruppen und Dodecylen als Polymerisationsprodukt der Reaktion von 100%iger Phosphorsäure auf Isopropylalkohol, n-Propyl- und Isobutyl- (Propylen und Isopropylalkohol) waren jedoch durch Erhitzen mit Gemische von Schwefelsäure und Phosphorsäure katalysiert. Die Polymerisation von Alkoholen bzw. Alkohol-Olefinen bei Atmosphärendruck und entsprechend ihrem Gehalt an Schwefelsäure und Phosphorsäure katalysiert, solange dieser unterhalb 75% liegt.

Dehydratisierende Polymerisation von Alkoholen und darauffolgende Hydrierung zu Kohlenwasserstoffen mit Kt. 6718 in der B-Bombe.

NR.	Anwendete Schmelze	Reaktions-temperatur	angewandte Alkoholmenge	angewandte Kohlenwasserstoffmenge	Isoprene-gehalt	Isoprene-gehalt an der Olefine	Siedeverhalten des Gemisches	Siedeverhalten d. Paraffinogen. d. Olefine	Zerlegung der Olefine	Zerlegung des Paraff. d. Olefine	Gekennzeichnete Zahl
1011	2.60.8	65°C	600 g	740 g	890 g	70%	$d_{15} = 0,772$ 100-100 Vol.-% -100-13% -140-20% -160-36% -180-56% -200-81% R. = 90% V. = 2,04	$d_{15} = 0,772$ 29-40 = 6,5% -60 = 18,0% -100 = 38,0% -120 = 44,5% -140 = 62% -180 = 79,5% -200 = 86,0%	- 200°C 8% 200°C 11%	- 200°C 8% 200°C 11%	89 104
1011a	2.60.8	85°C	600 g	740 g	890 g	78%	$d_{15} = 0,760$ 100-100 Vol.-% -100-15% -120-45% -140-67% -160-80% -180-85% -200-90% R. = 91% V. = 1,46	$d_{15} = 0,694$ 31-40 = 2,0% -60 = 4,5% -80 = 8,0% -100 = 10,0% -120 = 11,0% -140 = 11,0% -150 = 12,5% -160 = 13,0% -180 = 14,0%	- 200°C 3% 200°C 4%	- 200°C 3% 200°C 4%	89 104
1011b	2.60.8	65°C	600 g	740 g	890 g	81%	$d_{15} = 0,760$ 100-100 Vol.-% -100-15% -120-45% -140-67% -160-80% -180-85% -200-90% R. = 91% V. = 1,46	$d_{15} = 0,760$ 29-40 = 6,5% -60 = 18,0% -100 = 38,0% -120 = 44,5% -140 = 62% -180 = 79,5% -200 = 86,0%	- 200°C 8% 200°C 11%	- 200°C 8% 200°C 11%	89 104

TITLE PAGE

13. Athylenoxyd.
Ethylene oxide.

Frame Nos. 576 - 579

Athylenoxyd.

576

Athylenoxyd ist eine brennbare Flüssigkeit vom Molekulargewicht 44 und einen Siedepunkt von 13,5°C. Es wird wegen seiner starken Giftigkeit für Insekten bei verhältnismäßig geringer Wirkung auf Menschen zur Schädlingsbekämpfung angewendet. (Föhnwinddurchgang) Aus diesem Grunde ist die Frage nach der mit der Brennbarkeit verbundenen Explosionsgefahr von großer Bedeutung. In der folgenden Tabelle sind die Verbrennungswärme, der Sauerstoffbedarf bei vollständiger Verbrennung, ferner die untere und obere Zündgrenze in Luft für Athylenoxyd und zum Vergleich auch für Wasserstoff und Kohlenoxyd angegeben.¹⁾

Tabelle 1

Brennstoff	Verbrennungswärme b. konstantem Druck		O ₂ -Bedarf b. vollst. Verbrennung		Zündgrenze in Luft				O ₂ -Gehalt in Vol.-% an der Zündgrenze	
	/Mol.	/kg	gr. O ₂ 100 gr. Brennstoff	gr. O ₂ 100 gr. Brennstoff	untere Vol.-%	obere Vol.-%	untere gr. O ₂ 100 gr. Brennstoff	obere gr. O ₂ 100 gr. Brennstoff	untere	obere
Athylenoxyd	312	7100	71,5	91	3,0	54,5	80,0	1450	87	4,9
Wasserstoff	68,4	34700	33,3	400	5,0	4,1	72,0	59,5	79,6	7,5
Kohlenoxyd	68	2430	33,3	28,6	12,5	144,5	74,2	857	59	6,7

Bemerkenswert ist der große Bereich, innerhalb des Athylen-Luft-Gemische gezündet werden können. Die untere bzw. obere Zündgrenze liegt unter gleichen Bedingungen noch unter bzw. über dementsprechenden Zündgrenzen für H₂-Luft- und CO-Luft-Gemische.

- 1) nach F. Jost "Explosions- u. Verbrennungsvorgänge in Gasen"
 2) Landolt-Börnstein-Tabellen
 3) bezogen auf Mischung Luft-Brennstoff
 4) bezogen auf Mischung O₂-Brennstoff
 4) bei Atmosphärendruck und 70°C

794P11

577

Unter der Voraussetzung, daß CO₂ lediglich als Verdünnungsmittel wirkt¹⁾, sind in Tabelle 2 die Mengen CO₂ berechnet, die den in Tabelle 1 angegebenen Brennstoffen zugesetzt werden müssen, damit bei beliebiger Mischung mit Luft keine Zündung mehr erfolgen kann. Dabei wurde angenommen, daß ein CO₂-Brennstoff-Gemisch dann nicht mehr in Luft gezündet werden kann, wenn sich bei Umsetzung mit der theoretischen Menge Luft eine Verbrennungsendtemperatur ergibt, die kleiner ist als die Verbrennungsendtemperatur an der unteren Zündgrenze ohne CO₂-Zusatz. Aus der Tabelle geht hervor, daß bei Athylenoxyd zur Beseitigung der Explosionsgefahr eine größere Menge eines inertes hinzugefügt werden muß als bei Wasserstoff.

Tabelle 2

Brennstoff	Vol. Teile CO ₂ auf einen Vol. Teil Brennstoff
Athylenoxyd	11,4
Wasserstoff	9,6
Kohlenoxyd	2,1

Es ist nun bekannt, daß Kohlensäure bei einer Brennstoff-Luftgemischen kettenabbruchend wirkt, mithin die Explosionsgefahr schon bei geringeren Zusätzen als den thermodynamisch berechneten beseitigt wird.

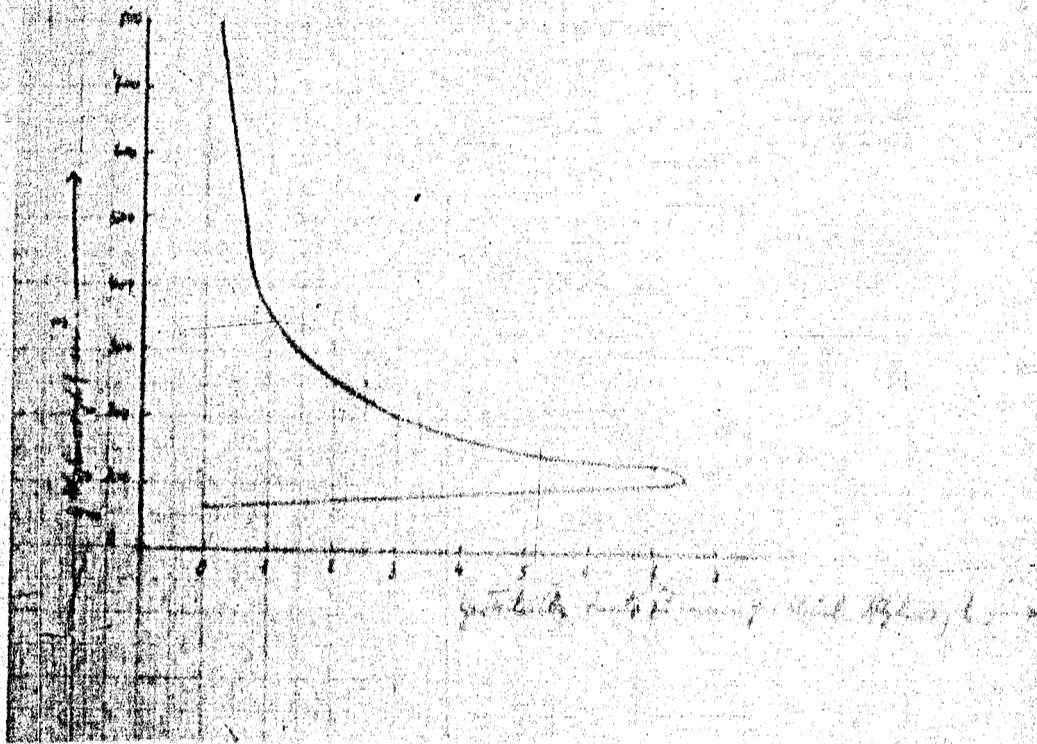
Von amerikanischen Forschern²⁾ wurde gefunden, daß ein Zusatz von 7 1/2 Teilen auf 1 Teil Athylenoxyd zu einer vollkommenen Beseitigung der Explosionsgefahr führt.

Auf dem folgenden Kurvenblatt ist das Entzündungsgebiet von Athylenoxyd-CO₂-Luftgemischen nach Versuchen der Deutschen

1) R.M. chemisch in keiner Weise in den Verbrennungsvorgang eingreift.
 2) R.M. Jones Ind. Eng. Chem. 25 5.394 (1933)

Gesellschaft für Schädlingsbekämpfung wiedergegeben¹⁾.

*(Luftkonzentrationsverlauf von Äthylendioxyd bei Zündung
bei Äthylendioxyd)*



Aufgrund dieser Tatsachen bestehen daher für die gefahrlose Anwendung von Äthylenoxyd zur Schädlingsbekämpfung zwei Möglichkeiten: Entweder man bleibt unter der Konzentration der unteren Grenze, was aber bei Wohnungsdurchgasungen infolge unvermeidlicher Konzentrationschwankungen schwer durchführbar sein dürfte, oder aber man verwendet ein Gemisch von Äthylenoxyd-Kohlensäure im Verhältnis²⁾ 1 : 7,5. (Dortm.)

Erwähnt sei noch, daß nach einer Feststellung von Staudinger³⁾ das Arbeiten mit Äthylenoxyd in komprimierten Stahlflaschen mit Gefahr

1) Vergl. Z. angew. Chem. 1930 51 S. 29
 2) Vol.- oder Gewichtsverhältnis da Äthylenoxyd und Kohlensäure die gleichen Molekulargewichte besitzen.
 3) Ber. der Deutschen Chem. Gesellschaft 62 (1929) S. 2397

verbunden ist, da durch eine Verunreinigung eine autokatalytische Polymerisation explosionsartig einsetzen könnte. Die Polymerisationswärme beträgt schätzungsweise 20-30 kcal/mol und wird so rasch frei, daß das unpolymerisierte Produkt plötzlich verdampft, wobei hohe Drücke in den Bomben entstehen können. Die Verdampfungswärme des Äthylenoxyds beträgt 6,1 kcal/mol.

geb. Hermannsches

TITLE PAGE

XI. Coal petrography and hydrogenation.

TITLE PAGE

1. Erforschung hydrierfähiger Kohlen (Dr. Erich Stach).
Suitability of coal for hydrogenation.

Frans Nos. 580 - 583

Dozent Hauptmann Dr. Erich Stach
Feldpost- Nr. : L 17523
Luftgaupostamt Paris.

580

Erforschung Hydrierfähiger Kohlen.

Die Erdölwirtschaft wird sich nicht nur mit der Erforschung des Erdöls selbst, sondern auch mit dem wichtigen Ausgangsstoff für synthetische Treibstoffe, mit der Kohle, befassen müssen. Für Forschungen über Schwelung und Hydrierung der Kohlen ist erstens ein kohlenchemisches Laboratorium erforderlich, das für Elementaranalysen, Schwelungsanalysen, Koksuntersuchungen usw. eingerichtet ist; zweitens aber muss die Kohle auch physikalisch (optisch) untersucht werden.

Die Steinkohle z.B. ist aus Glanz- und Mattkohlenlagen aufgebaut, und diese verhalten sich technisch verschieden. Durch die chemische Analyse ist aber nicht festzustellen, wieviel Glanz- oder Mattkohle eine bestimmte Probe enthält, da durch die Elementaranalyse nur C, H, O usw. bestimmt werden. Man kann die Zusammensetzung aus den verschiedenen Streifenarten nicht etwa z.B. aus dem Gasgehalt errechnen, da dieser vom Inkohlungsgrad, dem geologischen Reifegrad der Kohle abhängt. Umgekehrt kann man aber auch den Inkohlungsgrad der Gesamtprobe chemisch nicht einwandfrei bestimmen, da zwei Kohlen gleichen Inkohlungsgrades verschiedenen Mattkohlengehalten und mithin verschiedene Mengen flüchtiger Bestandteile haben können. Außerdem ist die Mattkohle in sich noch wieder in unregelmäßiger Weise aus verschiedenen Gemengteilen zusammengesetzt, von denen die einen die Verkokung fördern, die anderen in grosser Menge dagegen nachteilig sind. Will man also eine Steinkohle einwandfrei beurteilen, so muss man zwei physikalische Untersuchungen zur chemischen Untersuchung hinzufügen:

1. die Bestimmung des Inkohlungsgrades mit Hilfe der Refraktionsmessung und
2. die petrographische (mikroskopische) Analyse zur Bestimmung der Streifenarten und der Verteilung des Aschengehaltes.

Errechnung Dürerfähigkeit Kohles...

Die Kohlewirtschaft wird sich nicht nur mit der Berechnung des Profls besetzt, sondern auch mit der wichtigsten Ausgangsstoff für synthetische Kraftstoffe, mit der Kohle, befaßt sein. Für Forschungen über Schmelzung und Hydratierung der Kohlen ist erstens ein kohlenchemisches Laboratorium erforderlich, das für Elementaranalysen, Schmelzanalysen, Kalk-Untersuchungen usw. eingerichtet ist. Zweitens aber muss die Kohle auch physikalisch optisch untersucht werden.

Die Steinkohle u.B. ist aus Block- und Metallkohlen gebildet, und diese verhalten sich technisch verschieden. Erst die chemische Analyse ist aber nicht festzustellen, wieviel dieser oder Metallkohle eine bestimmte Probe enthält, da hierzu die Elementaranalyse nur C, H, O usw. bestimmt werden kann. Nach der Zusammensetzung und den verschiedenen Streifenarten nicht kann u.B. auch dem Gangheit errechnen, da dieser vom Inneblungsgrad, dem physikalischen Reifezustand der Kohle abhängt. Umwandelung kann man aber auch den Inneblungsgrad der Kohleprobe physikalisch optisch feststellen, da zwei Kohlen gleichen Inneblungsgrades verschiedene Metallkohlengehalte und mithin verschiedene Mengen flüchtiger Bestandteile haben können. Außerdem ist die Metallkohle im allgemeinen wieder in unregelmäßiger Weise aus verschiedenen Kohlenarten zusammengesetzt, von denen die einen die verschiedenen Varietäten, die anderen in großer Menge dagegen vorwiegend einer Varietät eine Steinkohle einwandfrei bearteten, es ist deshalb auch physikalische Untersuchungen zur chemischen Untersuchung dieser Kohlen

1. die Bestimmung des Inneblungsgrades mit Hilfe der optischen Messung und
2. die petrographische (mikroskopische) Analyse zur Bestimmung der Streifenarten und der Verteilung im Kohlengebilde.

...eine bestimmte Probe enthält, da durch die Elementaranalyse nur C, H, O usw. bestimmt werden. Man kann die Zusammensetzung aus den verschiedenen Streifenarten nicht etwa z.B. aus dem Gasgehalt errechnen, da dieser vom Inkohlungsgrad, dem geologischen Reifezustand der Kohle abhängt. Umgekehrt kann man aber auch den Inkohlungsgrad der Gesamtkohle chemisch nicht einwandfrei bestimmen, da zwei Kohlen gleichen Inkohlungsgrades verschiedenen Mattkohlengehaltes und mithin verschiedene Mengen flüchtiger Bestandteile haben können. Außerdem ist die Mattkohle in sich noch wieder in unregelmäßiger Weise aus verschiedenen Gemengteilen zusammengesetzt, von denen die einen die Verkokung fördern, die anderen in grosser Menge dagegen schädlich sind. Will man also eine Steinkohle einwandfrei beurteilen, so muss man zwei physikalische Untersuchungen zur chemischen Untersuchung hinzufügen:

1. die Bestimmung des Inkohlungsgrades mit Hilfe der Reflektivitätsmessung und
2. die petrographische (mikroskopische) Analyse zur Bestimmung der Streifenarten und der Verteilung des Aschengehaltes.

Ebenso müssen Hochtemperatur- und Schwelkoks mikroskopisch untersucht werden.

Erwähnt sei auch, dass durch die mikroskopische Untersuchung im Gegensatz zur chemischen Analyse Verfälschungen von Kohlen, also z.B. die Zumischung von Braunkohlenstaub zu Steinkohlenstaub oder die Zumischung von Magerkohle zu Gasflammkohle usw. klar erkannt werden können.

Auch die Hydrierfähigkeit von Steinkohlen hängt mit Inkohlungsgrad und petrographischen Aufbau zusammen. Es liegen erst wenige petrographische Untersuchungen über hydrierfähige Steinkohle vor und zwar nur aus dem Ruhrgebiet. Es müssten diese Arbeiten fortgeführt, ferner auch auch die anderen Steinkohlenlager-Gros-Deutschlands planmässig im Hinblick auf Hydrierung und Schwelung untersucht werden; es brauchen da nicht wirklich alle Flöze untersucht werden, sondern es kommen, wie man schon weiss, nur bestimmte Flözgruppen in Frage. Dennoch handelt es sich um sehr umfangreiche Arbeiten, die von Kohlenpetrographen Hand in Hand mit dem Kohlenchemiker durchgeführt werden müssten. Es wird sich ergeben, dass Flöze bestimmter petrographischer Zusammensetzung und bestimmten Inkohlungsgraden für die Hydrierung die bestmöglichen sind. Diese könnten dann vorzugsweise für Hydrierzwecke vorbehalten und abgebaut werden. Allerdings müsste die geförderte Hydrierkohle laufend überprüft werden, da sich entsprechend der Änderung der geologischen Verhältnisse die technische Eignung ändern kann. Verbesserungen der Hydrierverfahren könnten ferner später dazu führen, dass der Kreis der hydrierfähigen Flöze erweitert werden kann, so dass die diesbezüglichen Forschungsarbeiten immer weiter fortgesetzt werden müssten.

An Personal für eine solche Kohlenforschungsanstalt wird ausser einem Leiter etwa drei Dipl. Ing. oder Dr. phil. erforderlich, ferner ein Kohlenchemiker und drei bis vier Laboranten.

Es wäre die Einrichtung eines kohlenchemischen Laboratoriums und eines kohlenpetrographischen Laboratoriums mit Räumen für die Probenzerkleinerung, Schleifrichtungen, Mikroskopierzimmer und Dunkelkammer erforderlich, ähnlich wie es beim Bergbauverein im Saase für das Ruhrgebiet bereits eingerichtet ist.

Im Felde, Januar 1941

gez. Stach.

den 10. Juni 1951 Ia/Pr.

Abchrift.

Leiter der Anstalt über Subkohlen.

Charakteristiken und ihre wichtigsten Daten:

Charakteristiken	Werte	Einheit	Abweichung	Standardabweichung
Aschegehalt	100	g/kg	± 10	± 10
...
...
...

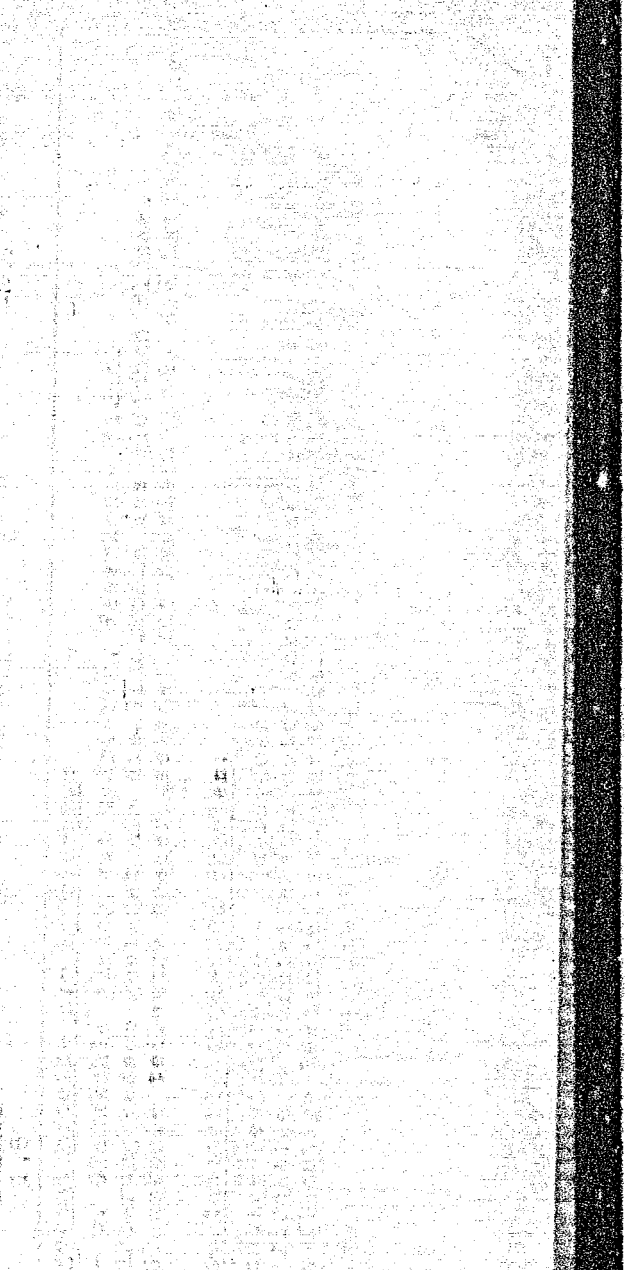


Abb. bei 1,5 kg
 Proben bei 100°C
 K. 241 bis 100°C
 86.87

7. März 1938 Ob.

Über Gefüge - Bestandteile.
(für Vortrag am 11.3. in Essen)

spez. Gewicht	Härte	Verhalten beim Verkoken	Aschegehalt Durchschnittszusammensetzung der Asche	Hauptzahl. Zusammensetzung der Asche	Hydrifizierbarkeit	durchschnittl. Abbau
1,28 - 1,30	hart grüne	sehr viel flüchtig festes Loab	1 - 2%	CaO, Fe ₂ O ₃	aus tieferen Flözen besser als Matzkohle	99%
1,30 - 1,41	weich einschl. flüchtig	wenig flüchtig brüchiger Korb	2 - 10%	Al ₂ O ₃ , SiO ₂	aus tieferen Flözen besser als Matzkohle	94%
1,45 - 1,75	brüchig flüchtig einschl. flüchtig	wenig flüchtig brüchiger Korb	15 - 10%	CaO, MgO, SiO ₂ , Fe ₂ O ₃	schwerflüchtig, flüchtig	89%

TITLE PAGE

2. Stellungnahme zum Schriftsatz Doz. Dr. E. Stech.
Remarks to the paper of Doz. Dr. E. Stech.

Zusammenstellungen über Ruhrkohlen.

Selbst sind die wichtigsten und leichtesten Daten:

Bezeichnung	% Asche	% H ₂ O	flüchtig. Bestandteile	flüchtig. Bestandteile	flüchtig. Bestandteile	flüchtig. Bestandteile
1 241	3,8	1,61	11,6	13	13	82
2 240	3,3	1,48	11,4	13	13	80
3 247	3,5	1,5	11,5	13	13	81
4 248	3,5	1,5	11,5	13	13	81
5 249	3,5	1,5	11,5	13	13	81
6 250	3,5	1,5	11,5	13	13	81
7 251	3,5	1,5	11,5	13	13	81
8 252	3,5	1,5	11,5	13	13	81
9 253	3,5	1,5	11,5	13	13	81
10 254	3,5	1,5	11,5	13	13	81
11 255	3,5	1,5	11,5	13	13	81
12 256	3,5	1,5	11,5	13	13	81
13 257	3,5	1,5	11,5	13	13	81
14 258	3,5	1,5	11,5	13	13	81
15 259	3,5	1,5	11,5	13	13	81
16 260	3,5	1,5	11,5	13	13	81
17 261	3,5	1,5	11,5	13	13	81
18 262	3,5	1,5	11,5	13	13	81
19 263	3,5	1,5	11,5	13	13	81
20 264	3,5	1,5	11,5	13	13	81
21 265	3,5	1,5	11,5	13	13	81
22 266	3,5	1,5	11,5	13	13	81
23 267	3,5	1,5	11,5	13	13	81
24 268	3,5	1,5	11,5	13	13	81
25 269	3,5	1,5	11,5	13	13	81
26 270	3,5	1,5	11,5	13	13	81
27 271	3,5	1,5	11,5	13	13	81
28 272	3,5	1,5	11,5	13	13	81
29 273	3,5	1,5	11,5	13	13	81
30 274	3,5	1,5	11,5	13	13	81
31 275	3,5	1,5	11,5	13	13	81
32 276	3,5	1,5	11,5	13	13	81
33 277	3,5	1,5	11,5	13	13	81
34 278	3,5	1,5	11,5	13	13	81
35 279	3,5	1,5	11,5	13	13	81
36 280	3,5	1,5	11,5	13	13	81
37 281	3,5	1,5	11,5	13	13	81
38 282	3,5	1,5	11,5	13	13	81
39 283	3,5	1,5	11,5	13	13	81
40 284	3,5	1,5	11,5	13	13	81
41 285	3,5	1,5	11,5	13	13	81
42 286	3,5	1,5	11,5	13	13	81
43 287	3,5	1,5	11,5	13	13	81
44 288	3,5	1,5	11,5	13	13	81
45 289	3,5	1,5	11,5	13	13	81
46 290	3,5	1,5	11,5	13	13	81
47 291	3,5	1,5	11,5	13	13	81
48 292	3,5	1,5	11,5	13	13	81
49 293	3,5	1,5	11,5	13	13	81
50 294	3,5	1,5	11,5	13	13	81
51 295	3,5	1,5	11,5	13	13	81
52 296	3,5	1,5	11,5	13	13	81
53 297	3,5	1,5	11,5	13	13	81
54 298	3,5	1,5	11,5	13	13	81
55 299	3,5	1,5	11,5	13	13	81
56 300	3,5	1,5	11,5	13	13	81
57 301	3,5	1,5	11,5	13	13	81
58 302	3,5	1,5	11,5	13	13	81
59 303	3,5	1,5	11,5	13	13	81
60 304	3,5	1,5	11,5	13	13	81
61 305	3,5	1,5	11,5	13	13	81
62 306	3,5	1,5	11,5	13	13	81
63 307	3,5	1,5	11,5	13	13	81
64 308	3,5	1,5	11,5	13	13	81
65 309	3,5	1,5	11,5	13	13	81
66 310	3,5	1,5	11,5	13	13	81
67 311	3,5	1,5	11,5	13	13	81
68 312	3,5	1,5	11,5	13	13	81
69 313	3,5	1,5	11,5	13	13	81
70 314	3,5	1,5	11,5	13	13	81
71 315	3,5	1,5	11,5	13	13	81
72 316	3,5	1,5	11,5	13	13	81
73 317	3,5	1,5	11,5	13	13	81
74 318	3,5	1,5	11,5	13	13	81
75 319	3,5	1,5	11,5	13	13	81
76 320	3,5	1,5	11,5	13	13	81
77 321	3,5	1,5	11,5	13	13	81
78 322	3,5	1,5	11,5	13	13	81
79 323	3,5	1,5	11,5	13	13	81
80 324	3,5	1,5	11,5	13	13	81
81 325	3,5	1,5	11,5	13	13	81
82 326	3,5	1,5	11,5	13	13	81
83 327	3,5	1,5	11,5	13	13	81
84 328	3,5	1,5	11,5	13	13	81
85 329	3,5	1,5	11,5	13	13	81
86 330	3,5	1,5	11,5	13	13	81
87 331	3,5	1,5	11,5	13	13	81
88 332	3,5	1,5	11,5	13	13	81
89 333	3,5	1,5	11,5	13	13	81
90 334	3,5	1,5	11,5	13	13	81
91 335	3,5	1,5	11,5	13	13	81
92 336	3,5	1,5	11,5	13	13	81
93 337	3,5	1,5	11,5	13	13	81
94 338	3,5	1,5	11,5	13	13	81
95 339	3,5	1,5	11,5	13	13	81
96 340	3,5	1,5	11,5	13	13	81
97 341	3,5	1,5	11,5	13	13	81
98 342	3,5	1,5	11,5	13	13	81
99 343	3,5	1,5	11,5	13	13	81
100 344	3,5	1,5	11,5	13	13	81

TITLE PAGE

2. Stellungnahme zum Schriftsatz Des. Dr. E. Stach.
Remarks to the paper of Des. Dr. E. Stach.

Frame Nos. 584 - 585

Hohdruckversuche
Lu 558

12.3.1943 13/T

584

585

Stellungnahme zum Schriftsatz Des. Dr. E. Stach.

1.) Kohlenpetrographische Untersuchungen werden in der Entwicklungsarbeit als ein Mittel der Hydroverkerker Industrie schon seit Jahren ausgeführt, wobei sowohl die Kohlen als in dieser Beziehung schon in großem Umfang untersucht.

2.) Diese Untersuchungen können in diesem Umfang vollenden den Erfordernissen, umsoviel als bekannt ist, dass allein der statische oder dynamische chemische Versuch eine eindeutige Beurteilung einer Kohle hinsichtlich ihrer Hydroverkerkerfähigkeit erlaubt.

3.) Trotz der umfangreichen langjährigen petrographischen Forschung im In- und Ausland, die in zunehmendem Maße quantitativ zum Ausdruck kommt, ist der praktische Nutzen der Forschung bisher nicht gering geblieben. Auf keine Weise sollten auf Grund dieser Forschungsrichtungen auch für die Hydroverkerker Industrie Erfolge zu erwarten sein.

4.) Auch für die Beurteilung von Kohlen auf Grund der petrographischen Versuchs- und Untersuchungsmethoden sind die Ergebnisse im Großen und Ganzen zu erwarten.

5.) Obwohl bei der petrographischen Untersuchung von Kohlen und Verschwelung, einschließlich der petrographischen Untersuchung wissenschaftliche Methoden zur Verfügung stehen, die die petrographischen Vorgänge und Naturvorgänge auf gewisse Vorgänge, die aber petrographisch nicht über das hinausgehen, was die petrographischen Untersuchungsmethoden ergeben.

6.) Außer verschiedenen industriellen Laboratorien für petrographische Untersuchungen in Deutschland, ist in Deutschland eine sehr modern eingerichtete Institut von Gelsenkirchen im Bereich vorhanden, das bei der heutigen Planung der Art auch für chemische Verfahren zur Verfügung stehen würde, wobei die petrographischen Untersuchungen an solchen Instituten u.ä. nicht erforderlich, wenn ist.

585

135

bei der heutigen Pflanzenwelt...
Verfügung stehen...
ohne Injektion... nicht...
...

7.) Dr. Stach hat auf kohlenspetrographischem Gebiet zweifellos Pionierarbeit geleistet und außerordentlich viel veröffentlicht.

Stach's Versuchsvergebnisse sind in seinen Büchern "Kohlenspetrographisches Praktikum" (1928) und "Lehrbuch der Kohlenspetrographie" (1934) zusammengefasst.

Aus seinen sonstigen Veröffentlichungen sind folgende bemerkenswert:

"Die Anfertigung von Kohlenstaubpräparaten und ihre Analyse mit projizierten Mikrobildern"

(Brennstoffchemie 12, 147 (1928))

"Die praktische Bedeutung der Substitutions-Petrographie"

(Glückauf 61, 328/99 (1934))
(gemeinsam mit Lehmann)

Die Bücher von Stach enthalten weitere umfassende Literaturhinweise.

[Handwritten signature]
Linné

TITLE PAGE

3. Hydrierversuche mit Kohlen verschiedener petrographischer Zusammensetzung in Drehautoklaven.
Hydrogenation tests with coal of various petrographic compositions in the rotating autoclave.

Frame Nos. 586 - 592

Hoehn

586

197

Hydrogenation

von Stach

587

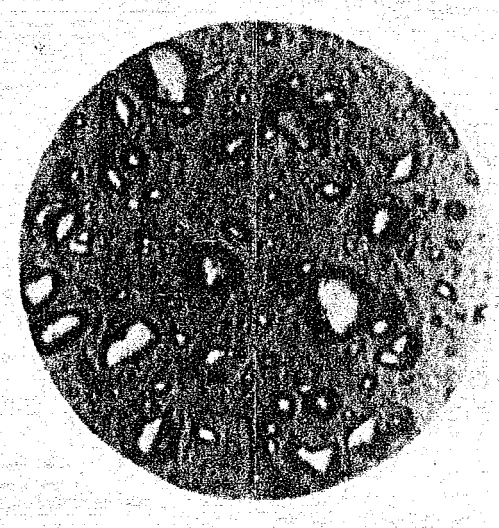
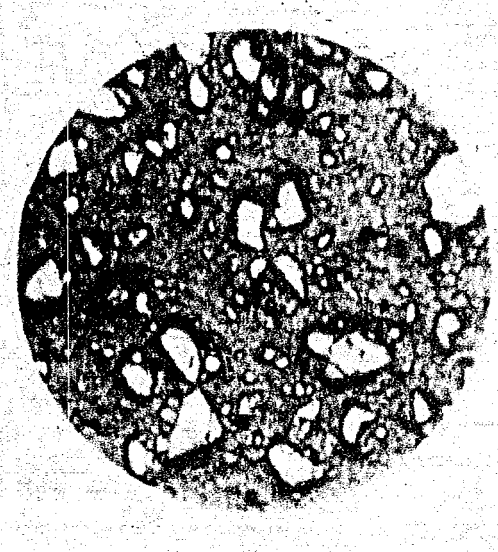
In der ersten Reihe sind die
in der zweiten Reihe sind die
in der dritten Reihe sind die
in der vierten Reihe sind die
in der fünften Reihe sind die
in der sechsten Reihe sind die
in der siebten Reihe sind die
in der achten Reihe sind die
in der neunten Reihe sind die
in der zehnten Reihe sind die

587

Date	Description	Debit	Credit	Balance
1890				
Jan 1	Balance forward			
Jan 15	...			
Jan 30	...			
Feb 1	...			
Feb 15	...			
Feb 28	...			
Mar 1	...			
Mar 15	...			
Mar 31	...			
Apr 1	...			
Apr 15	...			
Apr 30	...			
May 1	...			
May 15	...			
May 31	...			
Jun 1	...			
Jun 15	...			
Jun 30	...			
Jul 1	...			
Jul 15	...			
Jul 31	...			
Aug 1	...			
Aug 15	...			
Aug 31	...			
Sep 1	...			
Sep 15	...			
Sep 30	...			
Oct 1	...			
Oct 15	...			
Oct 31	...			
Nov 1	...			
Nov 15	...			
Nov 30	...			
Dec 1	...			
Dec 15	...			
Dec 31	...			

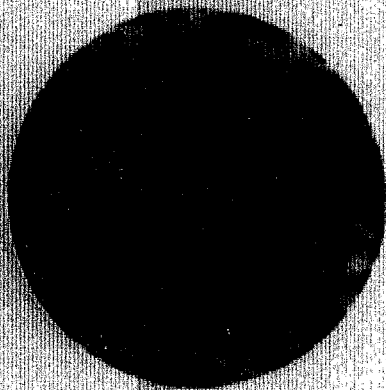
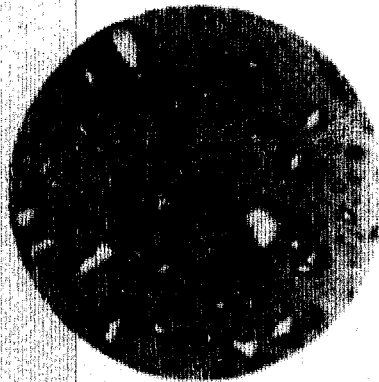
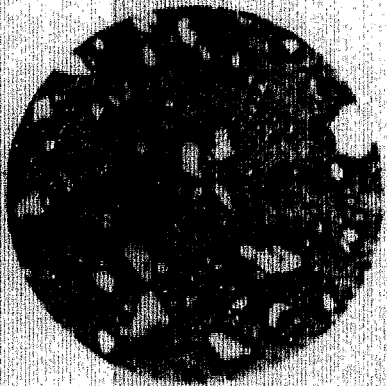
589
116

590
113



90

111

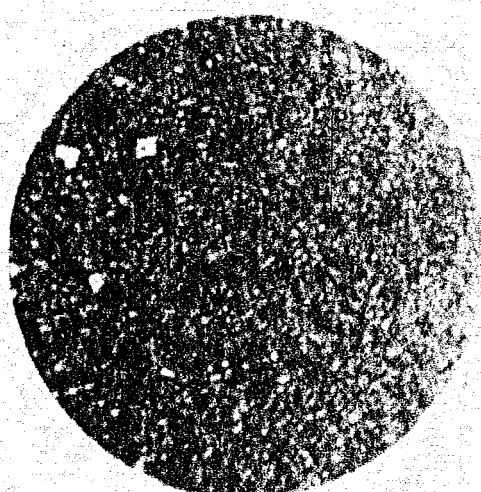
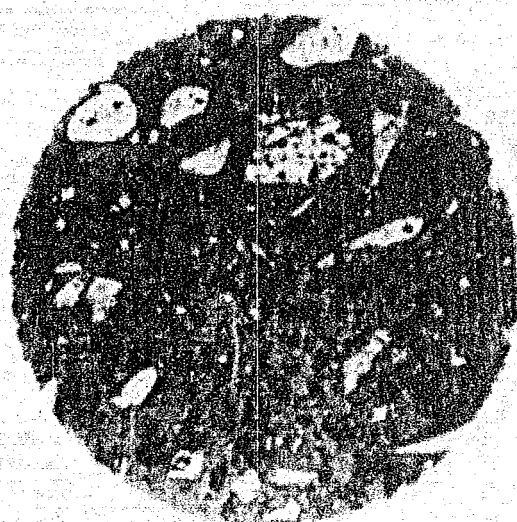
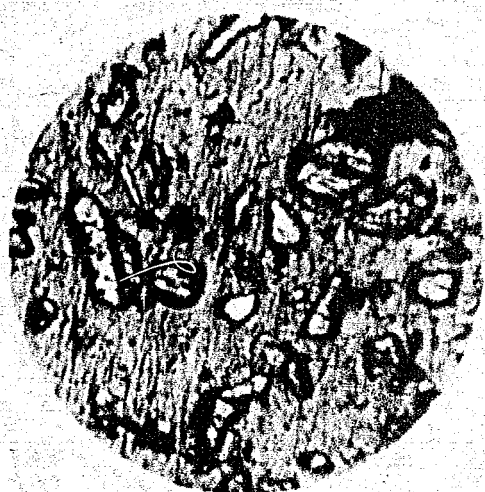




591

112

E 1011



592

Nachtrag

113

Hydrierversuche mit Gefügebasteilen aus ein- und derselben Kohle liegen nicht vor. Eine von Herrn Dr. Lehmann in ihren Gefügebasteile zerlegte Brauerkohle zeigte folgende analytische Daten:

	Glanz- kohle I	Glanz- kohle II	Matt- kohle	Faser- kohle
* Asche a.T.K.	1,45	3,79	5,71	13,11
% C a.Reinkohle	87,12	87,52	86,84	86,70
H	5,16	5,13	4,96	4,76
O	6,32	5,85	6,61	6,69
N	0,56	0,58	0,62	6,85
S flüchtig	0,84	0,92	0,97	1,00
S gesamt	0,98	0,98	1,11	1,19
H disp. a.100 g C	4,84	4,85	4,54	4,25

Hydratation
1113

Hydratversuche mit Gefügebestandteilen von ...
 Kühle liegen nicht vor. Eine von Herrn ...
 Gefügebestandteile hergestellte ...
 analytische Daten:

	Glasur- kohlen I
* Asche a.T.K.	1,45			
* C a.Reinkohle	87,12			
H	5,14			
O	3,52			
N	0,56			
S flüchtig	0,18			
S gesamt	0,86			
H disp. a. 100 g C	4,54			

O	6,52	5,85	6,61	6,69
H	0,56	0,58	0,62	0,65
S flüchtig	0,84	0,92	0,97	1,00
S gesamt	0,98	0,98	1,11	1,19
H disp. a.100 g C	4,64	4,83	4,54	4,25

TITLE PAGE

4. Untersuchung, Trennung und Hydrierung der Kohle-
 gefügestandteile (Lit.-Angaben) mit Nachtrag.
 Investigation, separation and hydrogenation of
 the structural components of coal (Lit. review)
 with supplement.

Frame Nos. 593 - 605

Hochdruckversuche
 Lu 593

114

27. 3. 1941. 1/11.

593

Untersuchung, Trennung und Hydrierung der Kohle-
 gefügestandteile (Lit.-Angaben).

Früher beschrankte man sich bei der Bewertung einer Kohle aus-
 schließlich auf die Ergebnisse der oberflächlichen Untersuchung. Es ging
 doch die verschiedenen Gefügestandteile der Kohle sind, wie bekannt,
 an Kohlenstoff, Wasserstoff und Sauerstoff enthalten, sind die
 chemische Analyse keinen Aufschluss über die Verteilung der einzelnen
 Gefügestandteile in der Kohle. In der letzten Zeit ist die Kohle jedoch
 dazu übergegangen auch petrographische Merkmale für die Charakterisier-
 tung heranzuziehen. Allerdings haben sich dabei die bisherigen
 Erwartungen nicht ganz erfüllt; trotzdem brachte die neue Untersu-
 chungsweise eine Reihe neuer Erkenntnisse. Man unterscheidet nun
 und heterogene Kohlegefügestandteile. Zu den ersteren gehören
 Nitrit (Glanzkohle) und Lignin (Pfeilkohle), zu den letzteren
 (Kattkohle). Die Kattkohlen können je nach dem Bildungsstadium
 ihrer Bildungselemente (Aurifer, die verschiedenen Pflanzenteile,
 ganz verschiedenartig zusammengesetzt sind und sind
 demgemäß auch in kohlenchemischer Hinsicht in verschiedene Gruppen
 unterteilt.

Untersuchung, Trennung und Identifizierung
bestandteile (Anf. d. 1. 1. 1950)

Früher beschränkte man sich bei der Untersuchung auf die Trennung der verschiedenen Bestandteile an Kohlenstoff, Sauerstoff, und Wasserstoff chemische Analyse keinen Aufschluss über Gefügebestandteile an der Luft, man hat dazu übergegangen auch physikalische Untersuchung heranzuziehen. Allerdings haben die Erwartungen nicht ganz erfüllt. Inzwischen wurde eine Reihe neuer Trennungsmethoden und heterogene Kohlenstoffbestandteile Nitrit (Glaukkohle) und Luft (Kohlensäure) (Matrkohle). Die Matrkohle kommt von ihrer Bildungselemente (Kohlensäure und Pflanzengewebe) ganz verschiedenartig und demgemäß auch in Kohlenstoffgehalt und ander Verhalten, während bei der Kohlenstoffwechselnde Umwandlungsprozess eine gewisse halber bedingt (Kohlensäure, Nitrit, Luft, Glaukkohle, Matrkohle).

1. Zur Untersuchung der Matrkohle
mikroskopische Verfahren angewendet (Praxis, 1938).

Die Kohle wird mit Wasser gewaschen oder auf fallendes Licht untersucht, die Untersuchung im durchfallenden Licht geschieht

Die Veranschaulichung eines Kohlenstoffteilchens auf Porzellanplatte, wobei eine Kohlenstoffteilchen unter dem Mikroskop bewertet wird. Diese Kohlenstoffteilchen sind nicht anzuwenden.

192181

Die Auslaugung der Kohle mit stark oxidiertem Wasser, durch die leichter löslichen Bestandteile entfernt werden, die schwer zersetzbaren Pflanzreste im Wasser suspendiert werden. Für diese Mazeration verwendet man gewöhnlich eine Mischung aus Calciumchlorid und Kaliumpermanganat, Oxidationsmittelpaare („Diphanel“).

Die wichtigste Methode zur Untersuchung der Kohleproben im durchfallenden Licht ist die Schiffsche Methode, bei der ein hin zur Durchsicht verarbeiteter Kohleproben im Mikroskop betrachtet wird.

Gute Resultate liefert auch die Methode mit Kaliumpermanganat nach dem Einweichen mit Flußsäure und Violation in 10%iger Lösung die Kohle mit dem Mikroskop geschritten wird. Nach dieser etwas stündlichen Methode wurden gute Resultate erhalten und noch befriedigende Resultate beim Mikroskopieren erzielt.

Da die Untersuchung der Kohle im durchfallenden Licht schwierig herzustellende Schiffsche Methode ist, die auch im dünnen Schiffsche nicht durchfallend, nicht verwendbar ist, wurde die Untersuchung der Kohle im durchfallenden Licht entwickelt (Stach, Kohlen, S. 112, 113; Brock, S. 112, 113, 114, 115, 116), wobei die Kohle nur an der Oberfläche zu werden braucht. Die folgende Atmung der Schiffsche Methode ist ein Mittel, um eine oberflächliche Veräufung des Schiffsche mit dem Mikroskop die Gefügebestandteile einzuzeichnen. Ein ähnliches Verfahren auf der Schiffsche Fläche kann auch durch die Methode der Schiffsche erzielt werden. Dieser sogenannte Kohlenreifeffekt hat den Vorteil, daß er leicht zu erzeugen und bei dem besten Erfolg zu erzielen ist. Zur Untersuchung von Kohlenstoffarten (Stach, Brennstoffchemie, S. 147; Lehrbuch der Kohlenchemie, 1935) verschiedene Methoden. Dabei wurde die Kohle durch eine Harzsäure, auch oder Druck verfertigt und dann geschliffen.

Folgende Tabelle gibt eine Übersicht über die Gefügebestandteile der Reinkohle. Zwischen Virrit, Graphit und Graphitformen häufig Übergänge vor (Lehmann, Stach, S. 112, 113, 114, 115).

Gefügebestandteil	Ursprungsmaterial	Struktur	Dünnschliff	Reliefschliff	Aussehen
Vitrit (Glanzkohle)	Humus (Land- und Sumpfpflanzen: z.B. Birke, Holz). Masse eines Verformungs- und Kohlenstoffes durch 180-982°C	Struktur fehlt; häufig, wenn vorhanden: Holzstruktur; spröde, zerfällt leicht; in kleinere Stücke.	Sunkelrot-bräune Masse	Gleichmäßiger Glanz; glatte Oberfläche, nur durch charakteristische Klüfte unterbrochen	Glanzend, muscheliger Bruch Spez. Gew. 1,272 - 1,333
Darit (Vitrinkohle)	Sporenscheiter Kalkschlammtorf. Spore (manchmal auch Vitrit) in strukturiertes geordnetes Pflanzenmaterial eingebettet (enthält mehr H ₂ als Vitrit). Aschengehalt: schwach; in weiten Bereichen, kann als bei Vitrit, da nicht mit Pflanzenmasse vermischt. Auch in Vitrit eingestreut.	Sensibler; zahlr., hart	Sporen Goldgelb und durchsichtig	bleibt gegenüber Vitrit erhalten, ist also härter als dieser	Strauchwarz-saatschwarz, matt, unebener oder muscheliger Bruch, Schichten der Grundmasse + Sporen (bzw. kleine Vitrit-Teilchen) wachsen mit Lagen von Vitrit, bilden die Vitrinkohle, dann Vitrinkohle, dann Vitrinkohle. Spez. Gew. 1,200 - 1,202

416

Bei der in der Kohle vorhandene Asche ändert sich nicht nur um Pflanzenmaterial, sondern auch um anorganische Mineralien und Gesteine, die zuweilen in inniger Verwachsung mit der Kohle auftreten. Die tonige Substanz findet sich in feinkörniger Verteilung in der Kohle. Die Faserkohle ist reichhaltiger an Aschenbestandteilen, die Glanzkohle am ascheärmsten.

Die flüchtigen Bestandteile der Kohlenbildung sind ebenfalls abhängig von der Beschaffenheit der Mutterkohle, denn die Sporen und anderen Bitumenstoffe bedingt einen größeren Anteil. Mit steigendem Bitumengehalt wird die Kohle für die Gaskohle wertvoller (Hoffmann, Glückauf 66, 933).

Die Kohlearten setzen sich ungefähr folgendermaßen aus Gefügebestandteilen zusammen:

Anthrakit	Abnehmender Inkohlungsgrad				
	Streifenkohle	Cannelekohle	Bohrende Kohle	Starkbraune Kohle, Fettkohle	Braunkohle
Streifen aus Vitrit und Darit	wenig Fusit	reiner Darit	zuerst aus Algen und nicht aus Sporen entstanden	hauptsächlich aus Vitrit	teilweise aus Darit
Zwischen den Streifen eingebettet	Gefügebestandteile deutlicher erkennbar als bei Anthrazit.	Faule Cannelekohle, Darit mit schmalen Vitrit- oder Fusitstreifen (Übergang zu Streifenkohle)			
Gefügebestandteile nur undeutlich unterscheidbar	78-98 % C ist gewöhnl. Reinkohle. Techn. Unterscheidung: Magerkohle, Fettkohle, Gaskohle, Gasflammkohle, Magerkohle bis Gasflammkohle abnehmender Inkohlungsgrad	Vitrin- oder Fusitstreifen (Übergang zu Streifenkohle) Cannelekohle bildet oft Übergang zur Gaskohle			

Zur Feststellung des Inkohlungsgrades wird die Kohleprobe im polarisierten Licht betrachtet, denn mit zunehmendem Inkohlungsgrad nehmen Anisotropieigenschaften und Reflexivvermögen ab.

Die Gasflammkohle läßt bei ihrer niedrigen Inkohlungsstufe die einzelnen Gefügebestandteile gut unterscheiden, denn sie erfährt die geringste Änderung erfahren im Vergleich zu den anderen Kohlearten.

Zur Feststellung des Inkohlungsgrades wird die Fettkohle in polarisiertem Licht betrachtet, denn mit zunehmendem Inkohlungsgrad nehmen Anisotropieeigenschaften und Reflexionsvermögen zu.

Die Gasflamkohle läßt bei ihrem niedrigen Inkohlungsgrad die einzelnen Gefügebestandteile gut unterscheidbar, die bei der geringsten Änderung erfahren im Vergleich zu den anderen Kohlenarten.

In der Gaskohle sind die Sporen, Kutikeln usw. auch noch gut erhalten, aber weniger deutlich zu erkennen als bei der Gasflamkohle.

Sehr stark ist schon die Verwitterung der bituminösen Körper in der Fettkohle, die sich darum auch wesentlich schlechter erhalten lassen.

In der Magerkohle ist die Mattkohle am unentwickeltsten ausgeprägt, weil die Inkohlung die Sporen und anderen bituminösen Körper am weitgehendsten verändert hat.

Die petrographische Zusammensetzung ändert sich von der Gasflamkohle bis zur Magerkohle. Bei der Gaskohle faßt man folgende Durchschnittswerte:

Gehalt an	Mattkohle	Glanzkohle	Faserkohle	Mineralien- und Bestandteile
Gasflamkohle	25 %	ca. 65 %	3,6 %	↑ Zunahme ↓ Abnahme
Gaskohle	25 %	↓ Zunahme	3,6 %	
Fettkohle	13 %	↓	2,3 %	
Magerkohle	7 %	ca. 90 %	2,3 %	

(Lehmann, Stach, Glückauf 66, 289).

2. Die Trennung der Gefügebestandteile der Kohlen vereinfacht sich nach verschiedenen Verfahren durchführbar. Das einfachste Ziel ist unzureichend, da Vitrit und Glanz wegen des zu geringen Härteunterschiedes bei der gewöhnlichen Zerkleinerung nicht die gleichen Korngrößen liefern. Die Zerkleinerung durch elastischer Körper und dagegen ausreichend unterschiedliche Korngrößen ergibt können. (Hoffmann, Glückauf 62, 536; Lehmann, Proc. 5, Internat. Conf. Bit. Coal 1931 Bd. II, 686). Bei elastischen Schlägen wird bei der plötzlich auftretenden Druckstoß die Elastizitätsgrenze der Glanzkohle überschritten, während die festere Mattkohle längere Zeit standhält und nur den Stößen auszuweichen sucht. Es ist in der

größeren Fraktionen die Mattkohle, in den feineren Fraktionen die Glanzkohle angereichert. Die Zähigkeit und Härte der Mattkohle wächst mit ihrem Bitumengehalt. Die Faserkohle findet sich hauptsächlich in den feinsten Zerkleinerungsfraktionen.

Da Glanz- und Mattkohle einerseits einander sehr dichtes spezifisches Gewicht haben, Faserkohle aber andererseits spezifisch schwerer ist, lassen sich auf Grund dessen Trennungen durchführen. Das Schwim- und Sink-Verfahren führt zu guten Resultaten und ist das am meisten angewendete Verfahren (Raub, Glückauf 75, 101; Güte, Glückauf 72, 738). Die Trennung wird in schwerer Lösung (in Tetrachlorkohlenstoff + Xylol bzw. Bromoform) vorgenommen. Jedoch führt der verschleimende Stoff der Mattkohle immer wieder zu größerer Unregelmäßigkeit bei der Trennung (Stach, Internationale Bergwirtschaftslehre, Technik 1926, 125).

Matt- und Glanzkohle lassen sich auch durch Verfahren ohne einwandfrei trennen. Ein Beispiel für die Trennung nach dem Schwim- und Sink-Verfahren gibt folgende Tabelle (Raub, Glückauf 75, 102).

Spez. Gew.	Schwimmender Anteil					Absetzung des Anteils
	Vitrit	Glanz	Matt	Faserkohle	Grande- und feine	
1,9	42,3	26,4	5,8	7,0	7,4	10,2
1,8	42,5	26,4	5,8	7,0	7,4	10,2
1,7	42,2	26,4	5,7	6,9	7,4	10,1
1,6	41,1	26,2	5,6	6,7	7,4	10,0
1,5	40,8	25,5	5,3	6,7	7,4	10,0
1,4	38,2	25,2	4,7	5,3	6,1	9,5

Eine Abänderung des Schwimms- und Sink-Verfahrens stellt das Schleuder-Sink-Verfahren dar, bei dem die Trennung ebenfalls in schweren Lösungen erfolgt und das Abtauchen der Teilchen durch Schleudern stark beschleunigt wird. Außerdem bewirkt das Schleudern eine schärfere Trennung der Gefügebestandteile.

Da das Schwimms- und Sink-Verfahren Ungeäußertes liefert infolge des Auftretens von Grenzflächenkräften von Flüssigkeiten und anhaftenden Luftblaschen, hat man statt der Flüssigkeiten Luft zu verwenden versucht. Die Kohle wird mit Luft aufgeschwemmt und die kleineren Körner mit dem Luftstrom fortgeführt. Jedoch führt die Windsichtung nicht zu dem gewünschten Ziel.

Schließlich lassen sich die Gefügebestandteile auf Grund ihrer verschiedenen elektrischen Leitfähigkeit voneinander trennen (Stach, Internationale Bergwirtschaft und Bergtechnik 1930, 289). Diese elektrostatische Kohlenbestimmung kann jedoch nur auf Paserkohle angewendet werden. Die Leitfähigkeit der Paserkohle ist größer als die der anderen Bestandteile, so daß bei Anlegen eines elektrischen Feldes die Paserkohle herausgewogen wird und mittels eines Luftstromes entfernt werden kann.

Alle diese Trennungsmethoden führen nur zu einer Abreicherung einzelner Gefügebestandteile, niemals ist die Trennung vollkommen.

Nach Hoffmann (Glückauf 66, 529) ist für die Verkokung am besten die Glanzkohle geeignet, für eine Hydrierung, Verpeilung und Schwelung die Mattkohle und für die Kohlenstaubfeuerung die Paserkohle. Für die Hydrierung und Verkokung ist die Paserkohle hinderlich. Nach Kühlwein (Glückauf 70, 994) soll die Hydratkohle frei von Fusit und viel Opakmasse führendes Durit sein, während an Probitumen reiche Durite erwünscht sind. Die Duritzzusammensetzung läßt sich am Gasgehalt erkennen. Bei starkem Anteil der Opakmasse an der Duritzzusammensetzung liegt der Gasgehalt unter dem mittleren Gehalt an Probitumen erheblich über dem für zureichenden Fließvermögen.

3. Hydrierung.

Storob und Mitarbeiter untersuchten die Hydrierung der einzelnen Gefügebestandteile von Streifenkohle.

Die Hydrierung wurde bei 200° Anfangstemperatur und 450° Reaktions-temperatur, bei 7 atm in Tetralin und in Voge-Karl vornehmlich während 3 Stunden vorgenommen.

Hydrierung von Anthraxylon¹⁾ (Ind. Eng. Chem., 31, 1919, 1001)

Alle Proben, die weniger als 80% C enthalten, wurden bei guter Ausbeute hydriert. Alle Anthraxylone haben bessere Resultate als die Schieferkohlen (splint coal) gleichen C-Gehalte. Die durchsichtigen Bestandteile verursachen Schwierigkeiten bei der Hydrierung, während die Sporen, Kutikeln und der durchsichtige Anteil gut hydrierbar ist. Infolgedessen sind die Kohlen mit hohem Inkohlungsgrad keine, die reichlich sporen- und harzhaltigen dagegen gute Hydrierkohlen. Diese Anthraxylone von geringem Inkohlungsgrad geben Hydrierzusätzen von 95-99%. Die erhaltenen Teere haben höheren H- und C-Gehalt als die Originalkohle; das C/H-Verhältnis ist jedoch geringer. Der Rückstand ist nicht opak im Gegensatz zu dem des Rückstands der Schieferkohle (Matkohle).

Hydrierung von Attritus¹⁾ (Mattronell (Ind. Eng. Chem.), 31, 1919, 1001)

Der durchsichtige Attritus verhält sich bei der Hydrierung ähnlich wie Anthraxylon mit geringem C-Gehalt (geringer Inkohlungsgrad). Keine Sporen und Harze sind vorhanden, die die Hydrierung behindern. Ähnlich verhalten sich Polen und andere Kohlenarten.

1) Die englische Bezeichnung für die Kohlenart Anthraxylon entspricht nicht dem deutschen Begriff Streifenkohle oder Vitrit, scheint ihr aber nahe zu kommen. Sie fällt mit dem deutschen Mattkohle oder nicht opaken Mattkohle (Splint coal) zusammen. Der deutsche Attritus, das mehr eine Bezeichnung für einen Inkohlungsgrad ist, die entweder durchsichtig (geringer Inkohlungsgrad) oder opak (hoher Inkohlungsgrad) sein kann. Die englische Bezeichnung für die deutschen Faserkohle oder Fasit. Die englischen Bezeichnungen für die deutschen Schieferkohle (splint coal) und die deutschen Splintkohlen setzen sich aus folgenden Bezeichnungen zusammen: Splint (hoher Inkohlungsgrad), Anthraxylon (hoher Inkohlungsgrad), Attritus (geringer Inkohlungsgrad), Polen (geringer Inkohlungsgrad).

Der undurchsichtige Attritus gibt dagegen schlechte Resultate, die schlechtesten Ausbeuten bei der Hydrierung. Auf Grund der Undurchsichtigkeit und des hohen C/H-Verhältnisses, das sich annähernd dem des Splintkohles nähert, konnte man erwarten, wenn die Hydrierausbeute beträgt nur 60%. Von der opaken Masse werden 20-30% als nicht hydrierbar zurückgehalten. Der Inkohlungsgrad ist nicht direkt proportional der undurchsichtigen Masse. Der undurchsichtige Attritus entspricht nicht der Masse, die die charakteristische faserige Struktur, auch wenn sie durch die Hydrierung beider Kohlenbestandteile voneinander getrennt werden.

Die erhaltenen Teere sind visköser als die der Splintkohle. Das C/H-Verhältnis ist die gleiche, das H-Verhältnis ist jedoch höher. Die Teere wurden bei der Hydrierung von Anthraxylon erhalten, hatten aber ein C/H-Verhältnis, das niedriger als das der Splintkohle ist. Das C/H-Verhältnis der Splintkohle ist niedriger als das der Originalkohle.

Hydrierung von Laccin (Ind. Eng. Chem., 31, 1919)

Erstaunlicherweise ist die Hydrierung der Laccin Kohle, die sich vor sich als erwartet, bei 200° C bei 7 atm in Tetralin während 3 Stunden von 25% erhalten.

Wie weit die Hydrierung geht, hängt von der Menge des C- und H-Gehalt, dem C/H-Verhältnis und eventuell von der Menge flüchtiger Bestandteile ab.

Die Hydrierung der Laccin Kohle ist die schwierigste, die man leicht, dann aber viel rascher als die der Splintkohle, die erhaltenen Teere ein C/H-Verhältnis haben, das niedriger als das der Splintkohle ist. Der undurchsichtige Anteil der Laccin Kohle ist niedriger als das der Splintkohle. Der Rückstand enthält nur 11% Kohlenstoff.

Da der C-Gehalt einer Kohle ein Maß für die Menge des Kohlenstoffes ist, die sich bei der Hydrierung abspalten kann, ist es zu erwarten, dass eine Kohle aus dem Grund der Undurchsichtigkeit gut hydrierbar ist, das in die Bestandteile zerfällt, die sich bei der Hydrierung abspalten. Anthraxylon, das in der Regel als Splintkohle bezeichnet wird, ist eine heterogene Schieferkohle (splint coal), die aus Splintkohle und

In der C-Gehalt einer Probe, die sich aus einem
steht, ist wie ein...
einer Kohle aus der C-Gehalt...
das für die...
Anzahl...
heterogenen...
besser werden.

bei denen der C-Gehalt ein mittlerer...
anderen bituminösen Bestandteilen...
Gehalt an opaker Masse oder...
C/H-Verhältnis und dem...
massen petrographische...
Es kann aber als...
C/H-Verhältnis und die...
der Undurchsichtigkeit...
wird auch noch...
besser werden.

Die Eigenschaften der Hydratproben...
sammelmateriale ab. Es ist...
je nach Sporen und Harzen...
Ausbeute...

Die Hydratierung einer...
Chem. 22, 73; vgl. auch...
Zusammensetzung

Nr. der Probe	Anthrazylon (Glauzkohle) %	Attritus (Matzkohle)		Faserkohle %	aus dem... %
		durchsichtig %	undurchsichtig %		
1	24	37	34	3	11
2	13	52	31	2	10
3	3	35	60	1	17
4	17	50	31	2	16
5	9	38	51	2	17
6	8	41	42	1	11
7	8	45	40	1	14
8	13	32	50	5	11

1) Es wird angenommen, dass alles außer der...
gebauten Faserkohle hydriert wurden.

ergab vergleichsweise niedrigere...
stärkten, daß die Schieferkohle...
geeignet sind, da der charakteristische...
sind. Enthält die Schieferkohle...
Massen, so wird auch die...
in Gase, Flüssigkeiten und...
Ausbeute ist geringer als...
(bright coal), Sporen, Harzen...
erhalten wurde. Das C/H-Verhältnis...
war immer niedriger als...
tional. Das C/H-Verhältnis...
höher als in der...
aus der Faserkohlehydrierung...
finden sich keine Sporen...
diese sind alle hydriert worden.

Deutsche Forscher stellten...
fast, daß sich Matzkohle...
Da sie jedoch alle...
und anderen bituminösen...
Inkohle, gerade besser...
das viel undurchsichtige...
vergeschrittene Substanz...
Diskrepanz nur eine Folge...
für die Kohlegefäß...

Handwritten signature or note

125

Nachtrag zu der Lit.-Zusammenstellung „Untersuchung, Trennung
und Hydrierung der Kohlegefügebestandteile“ vom 23.9.41.

Hoffmann, Kühlwein (Glückauf 71, 625) geben chemische Analysen einiger geklaubter Gefügebestandteile von Kohlen bestimmter Seagruben, die in folgender Tabelle zusammengestellt sind. Außerdem enthält die Tabelle Teerausbeuten der Gefügebestandteile der Kohlen aus den gleichen Gruben.

Es geht daraus hervor, das immer nur ein Gefügebestandteil einer Kohle mit einem anderen Gefügebestandteil derselben Kohle verglichen werden darf. Dann enthält in den meisten Fällen der Durit mehr Kohlenstoff und Wasserstoff als der Vitrit, aber weniger Sauerstoff.

Die Teerausbeuten sind durchweg bei der Mattkohle höher als bei der Glanzkohle, was mit dem höheren Gehalt der Durite an Probitanen zusammenhängt. Außerdem ist die Teerausbeute abhängig von der Härte.

1 Tabelle.

Grube	Elementaranalyse										
	C	H	O	N	S	W/100	W/100	W/100	W/100	W/100	W/100
	%	%	%	%	%	%	%	%	%	%	%
1	82,42	5,22	10,69	1,38	0,32	6,31	84,53	6,41	7,10	0,94	0,1
2	83,77	5,62	8,98	0,96	0,67	6,72	84,09	6,24	7,09	1,17	0,1
3	84,55	5,13	8,44	0,99	0,69	6,07	84,76	5,75	6,38	1,21	0,1
4	84,93	5,31	8,38	0,88	0,50	6,27	84,29	5,97	6,69	1,17	0,1
5	85,30	4,95	7,76	1,13	0,96	6,8	85,87	4,93	6,35	1,22	0,1
6	85,31	5,47	7,64	0,90	0,50	6,41	86,08	5,06	6,41	1,21	0,1
7	85,57	5,28	7,05	1,33	0,76	6,10	87,37	5,57	6,10	1,20	0,1
8	86,01	4,99	7,05	1,36	0,90	6,9	88,07	5,30	6,73	1,13	0,1
9	86,08	5,25	7,00	0,74	0,71	6,12	87,07	5,60	7,09	1,04	0,1
10	87,24	5,01	6,28	0,76	0,71	5,75	88,17	5,18	6,1	1,1	0,1
11	87,28	5,23	5,29	1,44	0,71	6,0					
12	87,97	5,34	7,07	1,06	0,50	6,27	88,36	5,04	6,73	1,13	0,1
Mittel	85,54	5,23	7,47	1,07	0,75	6,18	85,33	5,71	6,73	1,13	0,1

- 1) bei 550°C nach Fischer in einem kleinen, durch einen Korkstopfen verschlossenen Gefäß.
- 2) bei 900°C nach Dumas, bestillt in einem kleinen Gefäß.

O	H	S	E H/ 100G	Schwelen		Verflüchtigung		Zusammensetzung					
				0,5	1000	0,5	1000	C	H	N	S		
				mm	g/cm ²	mm	g/cm ²						
85	0,84	0,39	7,68	14,93	18,97	7,13	8,1	77,95	11,11	11,6			
93	1,17	0,53	7,46	12,57	12,80	7,19	8,24	22,92	22,15	13,08			
	1,21	0,68	7,07	13,31	13,93	8,91	8,88	26,07	27,10	16,10	16,07		
	1,17	0,52	7,04	12,69	14,19	6,84	6,17	22,14	26,13	13,03	17,71		
35	1,30	0,45	5,75	12,39	15,15	6,95	7,04	16,13	18,48	6,18	11,00		
84	1,17	0,71	6,04	12,01	12,66	6,57	6,34	16,14	15,15	10,18	11,1		
18	1,29	0,47	6,52	11,96	12,85	6,77	6,55	20,13	20,15	11,1	11,1		
27	1,35	0,39	6,15	11,96	12,63	6,30	6,12	15,62	16,17	14,14	11,1		
89	0,94	0,49	6,64	11,13	12,76	7,08	7,07	18,17	18,14	11,1	11,1		
50	1,11	0,49	6,22	12,70	13,10	6,60	6,12	18,17	18,17	11,1	11,1		
	--	--	--	11,1	11,1	6,1	6,1	--	--	--	--		
77	1,12	0,45	6,58	11,1	11,77	6,1	6,1	18,17	18,1	11,1	11,1		
55	1,15	0,51	6,67										

Min.

TITLE PAGE

5. Über das Verhalten der Gefügebestandteile von Steinkohle bei der Extraktion, Hydrierung, Verkokung, Verschwelung und Oxydation.
 The behavior of the structural components of bituminous coal in extraction, hydrogenation, coking, low temperature carbonisation and oxydation.

Frame Nos. 606 - 61X

Über das Verhalten der Gefügebestandteile von
Steinkohle bei der Extraktion, Hydrierung, Ver-
kokung, Verschwelung und Oxydation.

(Auszug aus einigen früheren Arbeiten aus dem K.W.I. für
Kohlenforschung in Mülheim-Ruhr)

Zusammenfassung:

- 1.) Die Mattkohle aus einer Ruhrfettkohle gibt bei der drucklosen Extraktion mit verschiedenen Lösungsmitteln 60-70 % der Extraktmenge, die aus der Glanzkohle derselben Kohle extrahierbar ist. Bei der Benzoldruckextraktion sind die Unterschiede geringer (90 %).
- 2.) Bei der Hydrierung unter sehr milden Bedingungen (215°C, 180 atm H₂) wurde Mattkohle zu 10 %, Glanzkohle zu 15,3 % in benzollösliche Produkte übergeführt.
- 3.) Mattkohle hat ein sehr geringes, Glanzkohle ein sehr starkes Blähvermögen. Durch Zusatz von Mattkohle zur Glanzkohle wird das Blähvermögen wesentlich stärker herabgesetzt als der Mischungsregel entspricht.
- 4.) Das verschiedene Verhalten von Glanz- und Mattkohle bei der Verkokung und Verschwelung wird im wesentlichen durch die unlösliche Restkohle bestimmt, während das lösliche Bitumen von Glanz- und Mattkohle ähnliche Verkokungseigenschaften bewirkt.
- 5.) Glanzkohle wird schneller oxydiert als Mattkohle, und sie nimmt auch mehr Sauerstoff auf als Mattkohle.

195/19

Die meisten Versuche wurden mit einer Ruhrfettkohle der Zeche Matthias Stinnes ausgeführt, die folgende Zusammensetzung hatte:

Elementaranalyse:	Analyse Mülheim	Zum Vergleich: Stinnes-Kohle K 1068	
		Analysen Lu	
* Flüchtige	-	29,16	29,91
* C	85,84	87,70	87,12
* H	4,63	5,16	5,29
* O	7,93	3,80	4,85
* N	-	2,33	1,81
* S	-	1,03	0,93

1.) Extraktion. 1)

Für die Extraktion wurden die Kohleproben jeweils in einer Vakuumpugelmühle μ -fein gemahlen und beim Siedepunkt der Lösungsmittel extrahiert.

Extraktion der Gefügebestandteile.

Aus Ruhrfettkohle von Zeche Matthias Stinnes wurden Proben der Gefügebestandteile von Hand ausgekläubt. Die petrographische Zusammensetzung der drei Proben ist in folgender Tabelle zusammengestellt:

Probe	Glanz- kohle %	Mat- tkohle %	Faser- kohle %	Berge %
Glanzkohle	92	4	2,5	1,5
Mattkohle	18	80	2	-
Faserkohle	19	3	73	9

Die zur μ -Feinheit gemahlene Gefügebestandteile ergaben bei der Extraktion mit verschiedenen Lösungsmitteln folgende Werte:

Extraktion der Gefügebestandteile.

Aus Ruhrfettkohle von Zeche Mathias Stinnes wurden Proben der Gefügebestandteile von Hand ausgeklaut. Die petrographische Zusammensetzung der drei Proben ist in folgender Tabelle zusammengestellt:

Probe	Glanz- kohle %	Matt- kohle %	Faser- kohle %	Berge %
Glanzkohle	92	4	2,5	1,5
Mattkohle	18	80	2	-
Faserkohle	15	3	73	9

Die zur μ -Feinheit gemahlene Gefügebestandteile ergaben bei der Extraktion mit verschiedenen Lösungsmitteln folgende Werte:

Lösungsmittel	Streifen- kohle	Glanz- kohle	Matt- kohle	Faser- kohle
1) Trichloräthylen	10,6	12,1	7,5	2,9
2) Benzol	8,1	8,2	4,8	2,5
3) Benzol unter Druck	6,9	9,3	6,6	-
4) Schwefelkohlen- stoff	7,5	9,0	6,3	3,2
5) Benzol nach 4.	2,0	0,3	-	1,4
6) Summe von 4. u. 5.	9,5	9,3	6,3	4,6

Diese Zahlen lassen erkennen, dass die Extraktausbeuten unabhängig vom Lösungsmittel von der Glanzkohle über die Mattkohle zur Faserkohle abnehmen.

2) Hydrierung.²⁾

Die μ -fein gemahlene Kohlenproben wurden in Gegenwart eines Molybdänkontaktes in Benzol suspendiert in einem Schüttelautoklaven unter Wasserstoffdruck auf Temperaturen unterhalb des Zersetzungspunktes der Kohle erhitzt. Das Reaktionsgemisch wurde dann unter Normaldruck mit Benzol extrahiert. Es gelingt auf diese Weise, bei genügend langer Hydrierdauer bei Temperaturen zwischen 200 bis 285°C die Steinkohle zum größten Teil in benzollösliche Produkte überzuführen.

Glanzkohle und Mattkohle (aus der Stinneskohle ausgeklaut) wurden in dieser Weise der Hydrierung unterworfen, und zwar je 30 Stunden bei 215°C und 180 at Wasserstoffdruck. Aus der Glanzkohle wurden unter diesen Bedingungen 15,8 %, aus der Mattkohle nur 10,0 % Extrakt erhalten.

3.) Verkokung und Verschwelung.³⁾

Der Einfluss des Mischungsverhältnisses von Glanz- und Mattkohle auf das Blähvermögen der Kohle bei der Verkokung geht aus folgenden Zahlen hervor.

Kohle	Mischungsverhältnis		Blähgrad nach Lanzarin- Zef.	Blähgrad berechnet	Faktor f = Ab- weichung v.d. Mi- schungs- regel
	% Glanz	% Matt			
Zeche Mathias Stinnes	-	100	1,8	-	-
A - Kohle	50	50	2,0	3,5	0,57
	60	40	3,5	11,0	0,41
	65	35	4,2	11,0	0,38
	70	30	6,5	12,8	0,51
	75	25	9,0	13,4	0,68
	80	20	9,2	17,5	0,73
	85	15	11,0	18,7	0,78
	100	-	17,2	-	-

Alle Blähgrade von Mischungen aus Glanz- und Mattkohle liegen stark unterhalb der Werte, die der Mischungsregel entsprechen, und die in den Schaubildern auf den eingezzeichneten Jahrgängen liegen müssten. Die Abweichung von der Mischungsregel ist bei etwa gleichen Teilen Glanz- und Mattkohle am größten. Man sieht auch, dass die in der ersten Mitteilung über μ -Kohlen beschriebene Mischungsregel das μ -fein gemahlene Stinneskohle

2.3. Verteilung und Versteigerung

Der Einfluss des Mischungsverhältnisses von Glanz- und Mattkohle auf das Kinnvermögen der Kohle bei der Versteigerung geht aus folgenden Zahlen hervor:

Kohle	Mischungsverhältnis		Kinnvermögen Glanzkohle pro T.	Kinnvermögen Mattkohle pro T.	Verhältnis Kinnvermögen Glanzkohle zu Mattkohle
	Glanz	Matt			
Zeche Matthias Stinner	-	100	100	100	100
AA - Istis	50	50	100	100	100
	60	40	100	100	100
	55	45	100	100	100
	70	30	100	100	100
	75	25	100	100	100
	80	20	100	100	100
85	15	100	100	100	100
90	10	100	100	100	100
95	5	100	100	100	100
100	0	100	100	100	100

Die obigen Diagramme von Mischungsverhältnissen und Kinnvermögen liegen stark unterhalb der Werte, die aus den Mischungsverhältnissen zu erwarten sind, und die in den Schenkelbildern auf den eingetragenen Diagrammen liegen müssten. Die Abweichung von der Mischungsregel hat sich etwa gleichen Teilen Glanz- und Mattkohle an gegenüber. Das zeigt auch, dass die in der ersten Mitteilung über die Kohlen behandelte Annahme, dass die AA - fein gemahlene Streifenkohle weniger leicht als Glanzkohle bei der Feinkohle der Zeche Matthias Stinner verteilt werden würde, bei einer anderen Feinkohle (Zeche Matthias) zugegen nicht auftritt. Die Abweichung von der Mischungsregel lässt sich durch einen Faktor ausdrücken:

$$f = \frac{V_{\text{gefunden}}}{V_{\text{berechnet}}}$$

Hierin bedeutet V gefunden das bei der Versteigerung erhaltene Kinnvermögen und V berechnet das nach der Mischungsregel berechnete Kinnvermögen $V_{\text{ber.}} = \frac{80 \cdot \text{Glanz} + 20 \cdot \text{Matt}}{100}$, wobei 80 und 20 den Prozentanteil der Mischung ausdrückt. Die Tatsache, dass dieser Wert geringer als der Mischungsregel entspricht, findet ihren Ausdruck darin, dass f stets kleiner als 1 ist.

aus folgenden Zahlen hervor.

K o h l e	Mischungsverhältnis		Blähgrad nach Lambris gef.	Blähgrad berechnet	Faktor f = Abweichung v.d. Mischungsregel
	% Glanz	% Matt			
Zechen Mathias Stinnes	-	100	1,8	-	-
A - Kohle	50	50	3,0	4,5	0,67
	60	40	4,5	11,0	0,41
	65	35	4,5	11,0	0,41
	70	30	6,5	17,6	0,37
	75	25	9,0	23,4	0,38
	80	20	9,5	17,6	0,54
	85	15	11,0	14,7	0,75
	100	-	17,2	-	-

Alle Blähgrade von Mischungen aus Glanz- und Mattkohle liegen stark unterhalb der Werte, die der Mischungsregel entsprechen, und die in den Schaubildern auf den eingezeichneten Geraden liegen müssten. Die Abweichung von der Mischungsregel ist bei etwa gleichen Teilen Glanz- und Mattkohle am größten. Man sieht auch, dass die in der ersten Mitteilung über A-Kohlen beobachtete Erscheinung, dass A-fein gemahlene Streifenkohle weniger bläht als grobkörnige bei der Fettkohle der Zechen Mathias Stinnes deutlich vorhanden ist, bei einer anderen Fettkohle (Zechen Westfalen) dagegen nicht eintritt. Die Abweichung von der Mischungsregel lässt sich durch einen Faktor ausdrücken:

$$f = \frac{V_{\text{gefunden}}}{V_{\text{berechnet}}}$$

Hierin bedeutet V gefunden das bei der Lambris Probe gefundene Koksvolumen und V berechnet das nach der Mischungsregel berechnete Koksvolumen $V_{\text{ber.}} = \frac{aV_{\text{Glanz}} + bV_{\text{Matt}}}{100}$, wobei a und b den Prozentanteil der Mischung ausdrückt. Die Tatsache, dass schon ein geringer Zusatz von Mattkohle das Blähvermögen stark herabsetzt als der Mischungsregel entspricht, findet ihren Ausdruck darin, dass f stets kleiner als 1 ist.

Diese Erscheinung hat Ähnlichkeit mit der Schmelzpunktniedrigung, die bei Mischungen zweier Substanzen im allgemeinen eintritt. Die Verminderung des Blähvermögens dürfte darauf beruhen, dass in dem Temperaturgebiet, in dem bei reiner Glanzkohle die geblähte Schmelze erstarrt, ein Glanz-Mattkohlegemisch noch so weich ist, dass die Gasblasen platzen und infolgedessen ein weniger geblähter Koks gebildet wird.

Wird der Kohle das Bitumen durch Extraktion entzogen, so nimmt der Blähgrad der Kohle wie folgt ab:

Blähgrade von benzolextrahierter Fettkohle.

Extrahiertes Bitumen in Gew.% der Kohle	Koksvolumen d. extrahierten Kohle nach Lambris in cem	Extrahiertes Bitumen in Gew. Proz. der Kohle	Koksvolumen d. extrahierten Kohle nach Lambris in cem
0	10,9	3,5	8,7
1,6	9,9	5,3	4,8
2,6	9,1	6,8	4,7
3,9	7,1	7,7	3,1
4,0	6,1	7,8	2,0
		8,5	1,5

Reine Glanzkohle verhält sich bei der Durchführung solcher Versuchsreihen ganz ähnlich wie Streifenkohle. Bei Mattkohle macht sich ein Nachlassen der Backfähigkeit erst stark bemerkbar, wenn mehr als etwa 3 % Bitumen extrahiert sind.

Wird der vollständig extrahierten Kohle das Bitumen wieder zugesetzt, so wird das Back- und Blähvermögen der Kohle wieder hergestellt.

Art der Kohle	Koksvolumen in cem nach Lambris	
	Zechen Stinnes	Zechen Westfalen
Nicht extrahierte Glanzkohle	12,8	15,7
Nicht extrahierte Mattkohle	1,8	2,5
Extrahierte Glanzkohle + Bitumen aus Glanzkohle	12,4	14,2
Extrahierte Glanzkohle + Bitumen aus Mattkohle	9,1	11,6
Extrahierte Mattkohle + Bitumen aus Glanzkohle	2,0	1,7
Extrahierte Mattkohle + Bitumen aus Mattkohle	2,0	2,4

Art der Kohle	Koksvolumen in cem nach L a m b r i a	
	Zechen Stinnes	Zechen Westfalen
Nicht extrahierte Glanzkohle	12,8	15,7
Nicht extrahierte Mattkohle	1,8	2,5
Extrahierte Glanzkohle + Bitumen aus Glanzkohle	12,4	14,2
Extrahierte Glanzkohle + Bitumen aus Mattkohle	9,1	11,6
Extrahierte Mattkohle + Bitumen aus Glanzkohle	2,0	1,7
Extrahierte Mattkohle + Bitumen aus Mattkohle	2,0	2,4

Die Bitumina aus Glanzkohle bewirkt etwas stärkeres Blähvermögen als Bitumen aus Mattkohle. Die Verkokungseigenschaften werden aber im wesentlichen durch die Eigenschaften der unblählichen Restkohle bestimmt.

4) Oxydation.⁴⁾

Zur Orientierung darüber, wie gross die Unterschiede in der Oxydierbarkeit verschiedener Gefügebestandteile einer Kohle sein können, wurden die folgenden Versuche mit ausgekläubter Glanz- und Mattkohle der Zeche Mathias Stinnes ausgeführt.

Je 7 Glanz- und Mattkohle, die in der Vakuumkugelmühle gemahlen und wie alle in dieser Arbeit verwendeten Kohlenproben zum Schutze gegen Oxydation oder sonstige Veränderung an der Luft in Glasflaschen mit gut eingeschliffenen Glasstopfen aufbewahrt worden waren, wurden in einer Kristallisierchale im elektrischen Trockenschrank bei 110° an der Luft oxydiert. Im Laufe von sechs Wochen wurde alle zwei bis drei Tage das Gewicht der Kohlen auf der analytischen Waage bestimmt, und fünfmal wurden Proben von etwa 0,7 g zur Bestimmung der Heizwerte entnommen. Die Ergebnisse sind in den folgenden Zahlentafeln wiedergegeben.

Heizwerte oxydierter Glanzkohle und Mattkohle,
bezogen auf ursprüngliche (nicht oxydierte) Kohle.

Oxydationsdauer bei 110° in Tagen	Glanzkohle		Mattkohle	
	Heizwert in WE/g	%	Heizwert in WE/g	%
0	8437	100,0	8300	100,0
1,6	7775	92,0	7905	93,5
13,3	6870	81,5	7110	85,9
22,3	6740	79,8	6985	84,3
42,0	6650	78,9	6910	83,2

Gewichtszunahme der Gefügebestandteile während der
Oxydation im Trockenschrank bezogen auf nicht oxydierte Kohle.

Oxydationsdauer in Tagen	Gewichtszunahme in % bei	
	Glanzkohle	Mattkohle
0 ^{x)}	0,00	0,00
0,6	1,20	0,80
1	1,60	1,20
1,6 ^{x)}	2,30	1,80
2,3	2,70	2,10
4,4	4,20	3,30
8,4	5,20	4,00
11,3	5,85	4,70
13,3 ^{x)}	5,70	4,75
15,3	6,10	5,00
17,3	6,10	4,97
20,3	6,20	5,10
22,3 ^{x)}	6,40	5,25
24,0	6,90	5,20
27,0	6,80	5,70
30,2	6,80	5,80
42,0 ^{x)}	7,20	6,00

x) Nach diesen Zeitabschnitten wurden Heizwertbestimmungen ausgeführt.

Man sieht aus diesen Zahlen, dass beide untersuchten Gefügebestandteile an der Luft bei 110° ebenso wie die oben erwähnte Streifenkohle beträchtliche Mengen Sauerstoff aufnehmen. Dabei erfahren die Kohlen starke Gewichtszunahmen, die nach 4 Tagen etwa 3 bis 4 Gew.-%, nach 40 Tagen etwa 6-7 % betragen. In Übereinstimmung mit älteren Beobachtungen an englischen Kohlen zeigte sich, dass Glanzkohle schneller und mehr Sauerstoff aufnimmt als Mattkohle.

Entsprechend der starken Gewichtszunahme sinkt bei der Oxydation der Heizwert der Gefügebestandteile. Der Abfall des Heizwertes, bezogen auf den Heizwert der ursprünglichen, nicht oxydierten Kohle, erreicht bei Glanzkohle in 42 Tagen 21 %, bei Mattkohle 17 %. Während der ganzen Versuchsdauer ist der Wert des in % ausgedrückten Heizwertverlustes immer etwa zwei- bis dreimal so gross wie die prozentuale Gewichtszunahme der Kohle. Die in Heizwertabnahme und Gewichtszunahme zum Ausdruck kommende Oxydation geht zu Beginn schneller vor sich als im weiteren Verlauf. Sie ist auch nach Wochen noch nicht beendet.

- 1) Brennstoffchemie 13, S. 364-370 (1932)
- 2) Brennstoffchemie 14, S. 181-184 (1933)
- 3) Brennstoffchemie 14, S. 445-450 (1933)
- 4) Angewandte Chemie 46, 495 (1933)

TITLE PAGE

6. Protokoll über den Besuch Prof. Stach am 29.9.41
mit zusammenfassenden Bericht über die Besprechung.
Protocol on the visit by Prof. Stach at
Ludwigshafen on 29 September 1941 and summary
of the conference.

Frame Nos. 614 - 619

Hochdruckversuche
Lu 558

614

29.9.1941. W/Pf.

133

Protokoll über den Besuch Prof. Stach am 29.9.41.

Anwesend: H. Prof. Stach, Reichsstelle für Kohlenforschung, Berlin
H. Dr. Pier H. Dr. Froehner
Frl. Dr. Höring " v. Müffling
H. Dr. Boente " Hank
" Lemme " v. Hartmann
" Donath " Graßl
" Schiffmann " v. Föner
" Meier " Petere
" Nonnenmacher Frl. Dr. Heubahn
" Pfirrmann H. Dr. Kremser (Oberschlesien)

Nach einigen einleitenden Worten H. Dr. Pier, gab Prof. Stach einige Erläuterungen zu den Eigenschaften der Kohlen. Die Eigenschaften der Kohlen sind abhängig vom Inkohlungsgrad. Mit wachsendem Matrkohlengehalt steigt der Gehalt an flüchtigen Bestandteilen was allerdings nur für Kohlen gilt, die über den Fettkohlen liegen. Prof. Stach ist der Meinung, daß es mit Rücksicht auf die Hydrierbarkeit der Kohle eine obere und untere Grenze im Gehalt an flüchtigen Bestandteilen gibt. Kohlen, die weniger als 25% Flüchtiges enthalten, sollten nicht mehr gut hydrierbar sein. H. Dr. Pier und H. Dr. Donath erklären, daß dies nicht in dem ausgesprochenen Maße der Fall ist. Entgegen der Anschauung von Prof. Stach lassen sich Kohlen mit geringerem Gehalt als 25% Flüchtiges noch hydrieren. Kohlen mit 35% Flüchtigen sind allerdings am besten geeignet, außerdem ist es eine Kostenfrage. Prof. Stach faßt noch hinzu, daß Fettkohlen, die ca. 20% Flüchtiges enthalten und bei denen die Sporen vielleicht durch explosionsartige Zerstörung der Bitumenträger schlecht ausgebildet sind, für die Hydrierung nicht so gut geeignet waren. Herr Dr. Pier wendet darauf hin, daß es uns nicht an Hydrierkohlen fehlt und erkundigt sich nach dem Unterschied zwischen Saar-, Ruhr- und schlesischen Kohlen. Prof. Stach bedauert, daß die petrographischen Unterschiede nicht genügend geklärt sind, um diese Frage zu beantworten. An der Saar findet sich eine sehr
[Darunter können sich die
Verhältnisse auch umkehren.

193001

Besonders geeignet sind nach H. Dr. Peters Angaben die Kohlen des
Flöz Bismarck und Braunsert. Von der Bismarck wahrscheinlich nicht
auf die getragene Förderung der Flöz einzuwirken wird, berichtet
Dr. Kremser vor, Kohlen die in größerer Packungsdichte in die
Verkokung zu schicken und wies darüber in die Hydratation.
Hr. Dr. v. Hartmann stellt fest, dass mit Hilfe der Formel von
Fischer es bisher nicht möglich war, Schlüsse auf die Hydratation
keit der Kohle zu ziehen. Prof. Stach weist auf, dass diese Formel
nicht auf Grund petrographischer Untersuchungen aufgestellt wurde.
Der Gehalt an flüchtigen Bestandteilen ist abhängig von Kohlen-
gehalt bei gleichem Inkohlengehalt.

Die Entwicklung in der Elektrodenherstellung für Alkalibatterien
ging nach Angaben von Dr. Peters von Aschenscheidt zum Anthracit.
Prof. Stach spricht über ein Verfahren zur oberflächlichen Trapp-
tierung der Kohlelektroden unter Anwendung hoher Temperaturen, wobei
bei gleichzeitiger Entschlackung im Inneren der Kohlebestand-
teile eintritt. Für die Herstellung von Elektroden kommt eine weiche-
arme anthrazitische Kohle in Frage. Die Kohle enthält

nur 0,5 % Asche, die nur aus Feinbestandteilen besteht. In der
dieser Richtung können von Prof. Stach Untersuchungen gemacht
werden.

H. Dr. Lösser erwidert auf die Frage nach einer technischen Methode
zur Trennung von Metall- und Plankkohle. Die Lössersche Methode
des elastischen Schlags ist nach Prof. Stach bekannt die einzige
technische Methode, führt jedoch nicht zum Erfolg und ist
dabei in Anbetracht der geringen Nutzen wahrscheinlich unkon-
spielig. Eine gute Methode zur Entfernung der Asche ist die
Säurebehandlung der Kohle oder eine Extraktion der Asche, das
aber wieder unserem Verfahren zur Asche/Abfallanalyse nahe kommt.
Prof. Stach erwidert auf die Frage nach störenden Bestand-
teilen in der Kohle Säurebestandteile und Asche. H. Dr. Peters
und H. Dr. v. Hartmann bemerken, dass sich gewisse Schwefelverbindungen,
die durch den O_2 -Gehalt der Kohle bedingt sind, durch diese Ver-
bedingungen beheben lassen. Prof. Stach erklärt, dass die
Hydratation entgaste Kohle meist nur durch Verweilen wird.
H. Dr. v. Hartmann bemerkt, dass eine Entgasung Aschekohle
und darüber auch Kohle mit 1,5 bis 2,5 % Asche möglich wird.

Es kommt die Sprache auf den Grund für die Aschebildung.
Prof. Stach erklärt, dass aus dem Aschebestandteil der Kohle ein
den Nitrogenkörper gebildet werden. Dr. Peters weist darauf
hin, dass die Aschebestandteile der Kohle auch abhängig von der
Porosität der Kohle. Der große Gehalt an flüchtigen Bestand-
teilen ist durch die Entstehung von Kohlen, erklärt Prof. Stach.
Oberschleier Kohle und unter Kohle sind gewisse Aschebestandteile
zwischen der Kohle und Wasserstoff. Prof. Stach erklärt, dass
Säurekohle ist eine Reihe von Wasserstoff, die eine Säure auf
standen ist. Dr. Peters weist auf den Grund für die Aschebildung
Kohle hin. Prof. Stach erklärt, dass die Aschebestandteile
scheinlich aus Wasserstoffbestandteilen bestehen und die Aschebestandteile
Aufbereitung der Kohle zur Asche. H. Dr. Peters erklärt,
nimmt zur Kenntnis, dass der Calcium bei der Aschebestandteile
störend ist. H. Dr. v. Hartmann erklärt, dass der Aschebestandteil
Kohle sehr unterschiedlich ist, was durch die Aschebestandteile
macht. Die Aschebestandteile sind die Aschebestandteile, die
Al-Cryde sind praktisch nicht.

H. Dr. Pier hat wieder von der Aschebestandteile
Prof. Stach fragt nach.

Für die Hydratation geeignete Kohlen sind die von Prof. Stach
und Plankkohlen, letztere allerdings etwas weniger. Als
störender Bestandteil tritt die Asche auf. Die Aschebestandteile sind in der
Lage, aber die Verteilung der Asche von der Kohle, oder in der
Aschebestandteilen, etwas von der Kohle, darüber ist nicht
sich die Kohle entgasen lässt. Außerdem gibt die Aschebestandteile
Analyse der Aschebestandteile eine größere Sicherheit in der
Auswahl der Kohlebestandteile. H. Dr. Peters erklärt, dass die Aschebestandteile
über Aschebestandteile von Kohle, die Aschebestandteile, aber
Herstellung von Kohle, reparieren, die Aschebestandteile
hochwertigen Mischung als Aschebestandteile und Aschebestandteile
bei 200-facher Vergrößerung der Kohlebestandteile, wobei die
Diskrepanz zwischen Stach und Karlweit betragen kann. H. Dr. v. Hartmann
Lut- und Plankkohle schließt die Aschebestandteile, die Aschebestandteile
H. Dr. Pier darauf geantwortet hat, von der Aschebestandteile zu
veröffentlichen, was H. Dr. Peters auch verspricht.

H. Prof. Stach berichtet über die Aschebestandteile der Kohle
fertigen Kohlebestandteile, die er 2. Teil, nach der Asche
und wertvolle Hinweise für die Aschebestandteile, Aschebestandteile
konstruktiver Aschebestandteile. H. Dr. Peters erklärt, dass die Aschebestandteile
eine Aschebestandteile, die Aschebestandteile.

H. Dr. Fier über die ...
Prof. Stoll ...

Für die Hygiene ...
und Flammkuchen, letztere ...
stehender Bestandteil ...
lage über die Verteilung ...
Belegten antworten ...
sich die Küche ...
Analyse der ...
auswahl der ...
Dr. Fier ...
Herstellung von ...
kohlensäurehaltigen ...
bei ...
Diskrepanz ...
Met- und ...
Dr. Fier ...
veröffentlicht, ...

Dr. Prof. Stoll ...
fertigen Kohlendioxid ...
und gas ...
Kohlensäure ...
Stoll ...

Ursprünglicher Zustand vor der Veresterung ist in der
lage über die Verteilung der Asche (etwa in Klüften) oder in
aufgestandenen, etwas abgewinkelten und darüber hinaus weit
sich die Kohle aufschneidet. Infolge der Abt. wird durch petrographische
Analyse der verfestigten Schichten eine größere Sicherheit in der
Auswahl der Hydrokohlentypen. Diese Asche wird in der Veresterung
über ein Schiefer von Petroläther und nach einer Veresterung durch
Herstellung von Schieferpräparaten nach einem der üblichen
chemischen Verfahren als Glaspräparat und nach dem Verfahren der Schiefer
bei 200-facher Vergrößerung in Mikroskopie sowie durch die
Mikroanalyse zwischen Stahl und Kohle nach dem Verfahren von
Mat. und Glas Kohle schließt die Beschreibung dieser Kohle in
Dr. H. über die Asche mit, von der das Präparat nach dem
veröffentlicht, und in Prof. Stach veröffentlicht.

Dr. Prof. Stach dankte für die Einladung zur
fertigen Kohlenreliefschiffe, die er mit dem Titel "Die Kohle
und die wertvolle Hinweise zur Kohlenreliefschiffe auf der Kohlenreliefschiffe
Kohlenreliefschiffe. Das Kohlenreliefschiffe in der Kohlenreliefschiffe
eine Kohlenreliefschiffe." veröffentlicht.

Hochdruckversuche
Lu 558

100

Dr. H. H. H. H.

027

Zusammenfassender Bericht über die Besprechung
anlässlich des Besuchs von Prof. Stach am 21. April

Prof. Stach gab kurze Erläuterungen über sein Arbeitsgebiet
auf Grund derer wir Hinweise geben konnten, wie er seine Erfahrungen
auf dem Gebiet der Kohlepetrographie für die Kohlenhydrogenation aus-
einsetzen kann.

Als erstrebenswertes Ziel deutete sich Prof. Stach die Anfertigung
einer sogen. Flözkarte. Diese Karte soll für jeden Flöz Angaben
über die petrographische Zusammensetzung, Art und Verteilung der
Asche, weitere in diesem Zusammenhang interessierende geologische
Gesichtspunkte sowie chemische Elementaranalyse und technische Ver-
wendungsmöglichkeiten der Kohle enthalten. Diese Karte soll einen
Überblick geben, welche Kohlen für die Hydrokohlentypen Veresterung
und Schwelung geeignet sind und welche Flöze von vornherein aus-
scheiden. Hierbei liegt es fern, ob der Kern der Kohle geeignet ist,
die jeweils für geeignet befundenen Flöze in gewünschter Reichhalt
und Menge zu liefern.

Auch bei der Entscheidung der Kohlenhydrogenation plant Prof. Stach
durch seine Untersuchungen mitteilen sein zu können.

Prof. Stach gab zuletzt noch einige wertvolle Hinweise über
neuere Methoden zur Anfertigung von Kohlenreliefschiffen, die wir schon seit Jahren nach dem
Kohlenreliefschiffe, die wir schon seit Jahren nach dem
Methode durchführen.

TITLE PAGE

III. Reports and papers on various hydrogenation topics
* from files of Dr. Hupfer (Ludwigshafen).
Note: Other material from this collection will also
be found in Reel No. LF-27, frames 1-372
and 403-434

TITLE PAGE

III. Reports and papers on various hydrogenation topics
from files of Dr. Hupfer (Ludwigshefen).
* Note: Other material from this collection will also
be found in Reel No. LF-27, frames 1 - 373
and 403 - 538

TITLE PAGE

High-pressure ovens:

1. Versuche von Bergius in liegenden Ofen.
Experiments by Bergius in horizontal ovens.

Frame Nos. 620 - 626